

es la distancia que se encuentra la articulación de la base con respecto al origen del sistema fijo $\Sigma_0(x_0, y_0, z_0)$; l_2 y l_3 son las longitudes de los eslabones del hombro y codo, respectivamente.

Las matrices de transformaciones homogéneas para la configuración antropomórfica adquieren la siguiente forma:

$$H_0^1 = \begin{bmatrix} H_{R_{z_0}}(q_1) & H_{T_{z_0}}(l_1 + \beta_1) & H_{T_{x_0}}(0) & H_{R_{x_0}}(\pi/2) \\ \cos(q_1) & 0 & \sin(q_1) & 0 \\ \sin(q_1) & 0 & -\cos(q_1) & 0 \\ 0 & 1 & 0 & l_1 + \beta_1 \\ 0 & 0 & 0 & 1 \end{bmatrix} \quad (5.19)$$

$$= \begin{bmatrix} \cos(q_1) & 0 & \sin(q_1) & 0 \\ \sin(q_1) & 0 & -\cos(q_1) & 0 \\ 0 & 1 & 0 & l_1 + \beta_1 \\ 0 & 0 & 0 & 1 \end{bmatrix} \quad (5.20)$$

$$H_1^2 = \begin{bmatrix} H_{R_{z_1}}(q_2) & H_{T_{z_1}}(\beta_2) & H_{T_{x_1}}(l_2) & H_{R_{x_1}}(0) \\ \cos(q_2) & -\sin(q_2) & 0 & l_2 \cos(q_2) \\ \sin(q_2) & \cos(q_2) & 0 & l_2 \sin(q_2) \\ 0 & 0 & 1 & \beta_2 \\ 0 & 0 & 0 & 1 \end{bmatrix} \quad (5.21)$$

$$= \begin{bmatrix} \cos(q_2) & -\sin(q_2) & 0 & l_2 \cos(q_2) \\ \sin(q_2) & \cos(q_2) & 0 & l_2 \sin(q_2) \\ 0 & 0 & 1 & \beta_2 \\ 0 & 0 & 0 & 1 \end{bmatrix} \quad (5.22)$$

$$H_2^3 = \begin{bmatrix} H_{R_{z_2}}(q_3) & H_{T_{z_2}}(\beta_3) & H_{T_{x_2}}(l_3) & H_{R_{x_2}}(0) \\ \cos(q_3) & -\sin(q_3) & 0 & l_3 \cos(q_3) \\ \sin(q_3) & \cos(q_3) & 0 & l_3 \sin(q_3) \\ 0 & 0 & 1 & \beta_3 \\ 0 & 0 & 0 & 1 \end{bmatrix} \quad (5.23)$$

$$= \begin{bmatrix} \cos(q_3) & -\sin(q_3) & 0 & l_3 \cos(q_3) \\ \sin(q_3) & \cos(q_3) & 0 & l_3 \sin(q_3) \\ 0 & 0 & 1 & \beta_3 \\ 0 & 0 & 0 & 1 \end{bmatrix} \quad (5.24)$$

Por lo tanto, la matriz homogénea del robot antropomórfico de 3 gdl moviéndose en su espacio tridimensional es:

$$H_0^3 = H_0^1 H_1^2 H_2^3 \quad (5.25)$$

$$= \begin{bmatrix} \cos(q_1) \cos(q_2 + q_3) & -\cos(q_1) \sin(q_2 + q_3) & \sin(q_1) & [\beta_2 + \beta_3] \sin(q_1) + \cos(q_1) [l_2 \cos(q_2) + l_3 \cos(q_2 + q_3)] \\ \sin(q_1) \cos(q_2 + q_3) & -\sin(q_1) \sin(q_2 + q_3) & -\cos(q_1) & -[\beta_2 + \beta_3] \cos(q_1) + \sin(q_1) [l_2 \cos(q_2) + l_3 \cos(q_2 + q_3)] \\ \sin(q_2 + q_3) & \cos(q_2 + q_3) & 0 & l_1 + \beta_1 + l_2 \sin(q_2) + l_3 \sin(q_2 + q_3) \\ 0 & 0 & 0 & 1 \end{bmatrix}$$

Las coordenadas cartesianas del extremo final del robot manipulador antropomórfico de 3 gdl se encuentran relacionadas con las coordenadas articulares de la siguiente forma:

$$\begin{bmatrix} x_0 \\ y_0 \\ z_0 \end{bmatrix} = \begin{bmatrix} [\beta_2 + \beta_3] \sin(q_1) + \cos(q_1) [l_2 \cos(q_2) + l_3 \cos(q_2 + q_3)] \\ -[\beta_2 + \beta_3] \cos(q_1) + \sin(q_1) [l_2 \cos(q_2) + l_3 \cos(q_2 + q_3)] \\ l_1 + \beta_1 + l_2 \sin(q_2) + l_3 \sin(q_2 + q_3) \end{bmatrix} \quad (5.26)$$

Cinemática inversa

La cinemática inversa del robot antropomórfico de 3 gdl consiste en obtener las posiciones articulares en función de las coordenadas cartesianas de la ecuación (5.26). Una forma para resolver dicho planteamiento es utilizar el método geométrico, con esta intención considere la proyección de los eslabones del hombro y del codo sobre el plano $x_0 - y_0$ (ver figura 5.8); dicha proyección se amplía en la figura 5.9 para llevar a cabo el análisis geométrico correspondiente a la variable q_1 .

Observe que existe proyección geométrica sobre el plano $x_0 - y_0$ de los parámetros β_2 y β_3 de los servomotores, debido a que los ejes z_1 y z_2 quedan paralelos a dicho plano, lo que no sucede para los casos del péndulo y robot de 2 gdl.

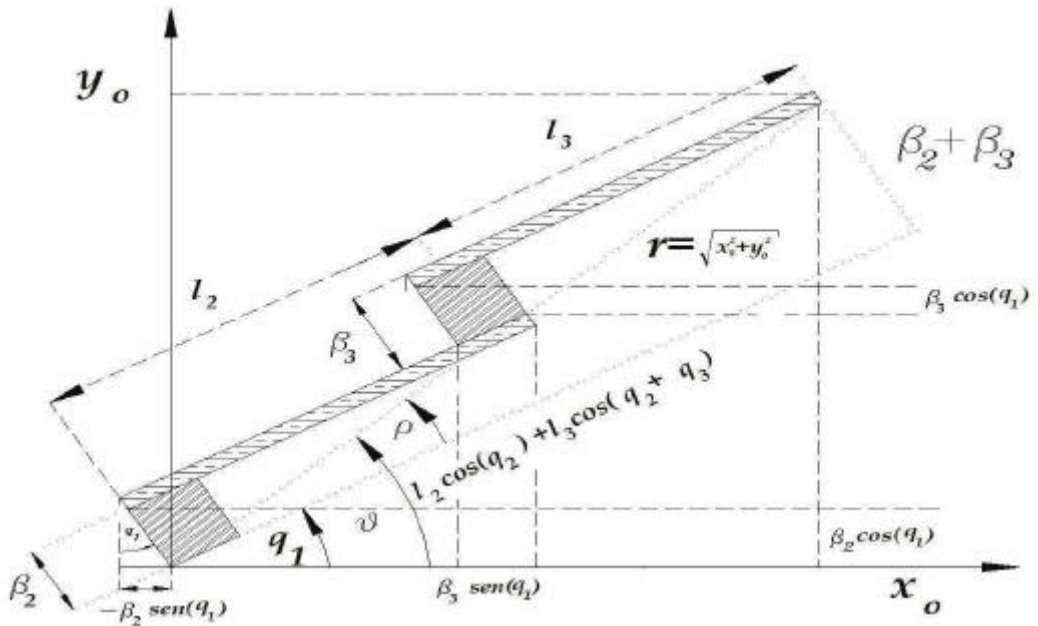


Figura 5.9 Método geométrico de la cinemática inversa 3 gdl para obtener q_1 .

De la figura 5.9 tenemos que $\vartheta = \rho + q_1 \Rightarrow q_1 = \vartheta - \rho$. Observe que el ángulo ϑ se obtiene en función de las coordenadas cartesianas (x_0, y_0) satisface $\vartheta = \text{atan} \frac{y_0}{x_0}$. Además, tomando en cuenta el triángulo con línea punteada, el ángulo ρ queda en función del cateto opuesto (formado por el ancho de los servomotores $\beta_2 + \beta_3$) y el cateto adyacente formado por la diferencia de la hipotenusa ($r = \sqrt{x_0^2 + y_0^2}$) y del

cateto opuesto obtiene la siguiente forma:

$$\rho = \text{atan} \left(\frac{\beta_2 + \beta_3}{x_{20} + y_0^2 - (\beta_2 + \beta_3)^2} \right)$$

Por lo tanto, la variable articular q_1 adquiere la siguiente estructura:

$$q_1 = \vartheta - \rho = \text{atan} \frac{y_0}{x_{20} + y_0^2 - (\beta_2 + \beta_3)^2} - \text{atan} \left(\frac{\beta_2 + \beta_3}{x_{20} + y_0^2 - (\beta_2 + \beta_3)^2} \right) \quad (5.27)$$

Para obtener la variable articular q_3 considérese como referencia el ángulo ϑ del triángulo formado por el cateto adyacente $l_2 + l_3 \cos(q_3)$, cateto opuesto $l_3 \sin(q_3)$ y por la hipotenusa $\sqrt{x_{20}^2 + y_0^2 + z_0^2}$ (ver figura 5.10). Es importante recalcar que los ángulos ϑ y q_2 se miden en dirección positiva con respecto al plano horizontal $x_0 - y_0$ hacia el eje z_0 .

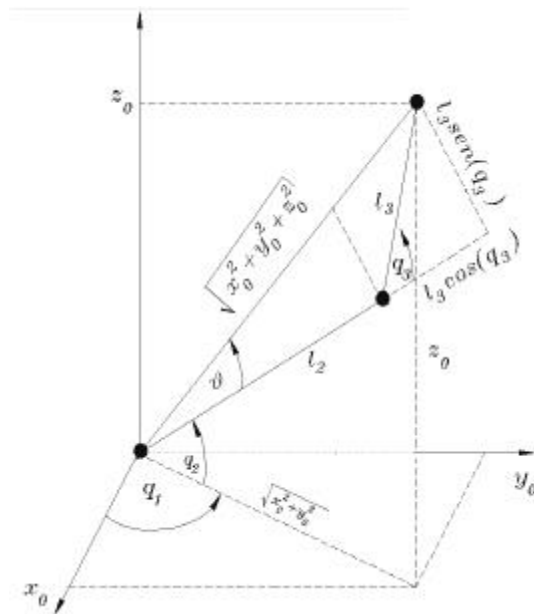


Figura 5.10 Método geométrico para obtener q_2 y q_3 de la cinemática inversa 3 gdl.

Empleando el teorema de Pitágoras se obtiene una posible solución para q_3 en términos de la función arco-tangente:

$$x_{20} + y_0^2 + z_0^2 = [l_2 + l_3 \cos(q_3)]^2 + l_3^2 \sin^2(q_3)$$

$$\begin{aligned}
 &= l_2 + l_3 [\cos^{-1}(q_3) + \sin^{-1}(q_3)] + 2l_2l_3 \cos(q_3) \\
 &= l_2 + l_3 + 2l_2l_3 \cos(q_3) \\
 \cos(q_3) &= \frac{x_{20}^2 + y_0^2 + z_0^2 - l_2^2 - l_3^2}{2l_2l_3} \\
 q_3 &= \text{atan} \left(\frac{\sqrt{\frac{x_{20}^2 + y_0^2 + z_0^2 - l_2^2 - l_3^2}{2l_2l_3}}}{\frac{x_{20}^2 + y_0^2 + z_0^2 - l_2^2 - l_3^2}{2l_2l_3}} \right)
 \end{aligned}$$

En referencia a la figura 5.10, obsérvese que el triángulo formado por los lados $x_{20} + y_0$, z_0 y la hipotenusa $\sqrt{x_{20}^2 + y_0^2 + z_0^2}$, tomando en cuenta que la tangente de los ángulos $\vartheta + q_2$ satisface: $\tan(\vartheta + q_2) = \frac{z_0}{x_{20} + y_0}$, además $\tan(\vartheta) = \frac{\sin(q_3)}{l_2 + l_3 \cos(q_3)}$, usando identidades trigonométricas de la función tangente se obtiene:

$$\tan(\vartheta + q_2) = \frac{\tan(q_2) + \tan(\vartheta)}{1 - \tan(q_2)\tan(\vartheta)} = \frac{z_0}{x_{20} + y_0}$$

Realizando sencillos pasos algebraicos, para determinar la función tangente de q_2 :

$$\begin{aligned}
 \tan(q_2) + \frac{\tan(q_2)\tan(\vartheta)}{1 - \tan(q_2)\tan(\vartheta)} &= \frac{z_0}{x_{20} + y_0} \\
 \tan(q_2) &= \frac{z_0}{x_{20} + y_0} \frac{1 - \tan(q_2)\tan(\vartheta)}{1 + \tan(q_2)\tan(\vartheta)} \\
 \tan(q_2) &= \frac{z_0}{x_{20} + y_0} \frac{1 - \frac{\sin(q_3)}{l_2 + l_3 \cos(q_3)}}{1 + \frac{\sin(q_3)}{l_2 + l_3 \cos(q_3)}} \\
 &= \frac{z_0}{x_{20} + y_0} \frac{[l_2 + l_3 \cos(q_3)]z_0 - l_3 \sin(q_3)}{[l_2 + l_3 \cos(q_3)]z_0 + l_3 \sin(q_3)}
 \end{aligned}$$

Por lo tanto, la cinemática inversa que relaciona las coordenadas articulares q_1, q_2, q_3 en función de las coordenadas cartesianas x_0, y_0, z_0 del extremo final de un robot

antropomórfico de 3 gdl que se mueve en su espacio tridimensional, considerando el espesor de los servomotores tiene la siguiente forma:

$$q_1 = \operatorname{atan} \frac{y_0}{x_{20} + y_0^2 - (\beta_2 + \beta_3)^2} \quad (5.28)$$

$$q_2 = \operatorname{atan} \frac{[l_2 + l_3 \cos(q_3)] z_0 - l_3 \operatorname{sen}(q_3) \sqrt{x_{20}^2 + y_0^2}}{x_{20} + y_0^2 [l_2 + l_3 \cos(q_3)] + z_0 l_3 \operatorname{sen}(q_3)} \quad (5.29)$$

$$\left(\frac{(2l_2l_3)^2 x_{20}^2 + y_0^2 + z_0^2 - l_2^2 - l_3^2}{(2l_2l_3)^2 x_{20}^2 + y_0^2 + z_0^2 - l_2^2 - l_3^2} \right) \quad (5.30)$$

El jacobiano de un robot antropomórfico de tres grados de libertad está dado por:

$$J(\mathbf{q}) = \begin{bmatrix} j_{11} & j_{12} & j_{13} \\ j_{21} & j_{22} & j_{23} \\ j_{31} & j_{32} & j_{33} \end{bmatrix} \quad (5.31)$$

$$j_{11} = [\beta_2 + \beta_3] \cos(q_1) - \operatorname{sen}(q_1) [l_2 \cos(q_2) + l_3 \cos(q_2 + q_3)]$$

$$j_{12} = -\cos(q_1) [l_2 \operatorname{sen}(q_2) + l_3 \operatorname{sen}(q_2 + q_3)]$$

$$j_{13} = -l_3 \cos(q_1) \operatorname{sen}(q_2 + q_3)$$

$$j_{21} = [\beta_2 + \beta_3] \operatorname{sen}(q_1) + \cos(q_1) [l_2 \cos(q_2) + l_3 \cos(q_2 + q_3)]$$

$$j_{22} = -\operatorname{sen}(q_1) [l_2 \operatorname{sen}(q_2) + l_3 \operatorname{sen}(q_2 + q_3)]$$

$$j_{23} = -l_3 \operatorname{sen}(q_1) \operatorname{sen}(q_2 + q_3)$$

$$j_{31} = 0, \quad j_{32} = l_2 \cos(q_2) + l_3 \cos(q_2 + q_3), \quad j_{33} = l_3 \cos(q_2 + q_3)$$

Jacobiano del brazo robot de 3 gdl

El determinante del jacobiano del brazo robot de 3 gdl está dado por:

$$\det[J(\mathbf{q})] = -l_2 l_3 \cos(q_2) \operatorname{sen}(q_3) - l_2 l_3 \operatorname{sen}(q_2) \cos(q_3)^2 - l_2 l_3 \cos(q_2) \operatorname{sen}(q_3) \cos(q_3) + l_2 l_3 \operatorname{sen}(q_2) \quad (5.32)$$

existen un número infinito de configuraciones singulares para $q_2 = 0 \pm n\pi$ y $q_3 = 0 \pm n\pi$. Sin embargo, el ángulo q_1 no interviene con los puntos singulares.

Función transformación homogénea del robot antropomórfico de 3 gdl H_0 ³

La función transformación homogénea H_0^3 del robot antropomórfico de 3 gdl tiene la siguiente sintaxis:

$$H_0^3 = H_r3gdl()$$



esta función retorna H_0^3 la matriz de transformación homogénea del brazo robot con articulaciones rotacionales de 3 gdl. El código en lenguaje **MATLAB** de la función transformación homogénea H_0^3 del robot de 3 gdl está en el cuadro 5.9.



Código Fuente 5.9 H_r3gdl.m

%MATLAB Aplicado a Robótica y Mecatrónica.

%Editorial Alfaomega, Fernando Reyes Cortés.

%Capítulo 5 Cinemática directa cartesiana.

H_r3gdl.m

```

1 function H=H_r3gdl()
2     syms q1 q2 q3 beta1 beta2 beta3 l1 l2 l3 alpha1 alpha2 alpha3 real
3     disp('Parámetros Denavit-Hartenberg del robot planar vertical de 3 gdl')
4     disp([' l alpha d q'])
5     dh=[l1, pi/2, l1+beta1, q1; l2, 0, beta2, q2; l3, 0, beta3, q3]; disp(dh)
6     %  $H_0^1 = H_{Rz_0}(q_1)H_{Tx_0}(l_1 + \beta_1)H_{Tx_0}(0)H_{Rx_0}(\pi/2)$ 
7     H10=simplify(HRz(q1)*HTz(l1+beta1)*HTx(0)*HRx(pi/2));
8     %  $H_1^2 = H_{Rz_1}(q_2)H_{Tx_1}(\beta_2)H_{Tx_1}(l_2)H_{Rx_1}(0)$ 
9     H21=simplify(HRz(q2)*HTz(beta2)*HTx(l2)*HRx(0)) ;
10    %  $H_2^3 = H_{Rz_2}(q_3)H_{Tx_2}(\beta_3)H_{Tx_2}(l_3)H_{Rx_2}(0)$ 
11    H32=simplify(HRz(q3)*HTz(beta3)*HTx(l3)*HRx(0));
12    H30=simplify(H10*H21*H32,3); %  $H_0^3 = H_0^1 H_1^2 H_2^3$ 
13    [R30, cinemat_r3gdl, cero, c]=H_DH(H30); %  $R_{30}, \mathbf{f}_R(q_1, q_2, q_3)$ 
14    H=[R30, cinemat_r3gdl;
15        cero, c];
16 end

```

Función cinemática directa del brazo robot de 3 gdl

La función de cinemática directa para las coordenadas cartesianas del extremo final del brazo robot de 3 gdl se encuentra dada por:

if

$$[x_0, y_0, z_0] = \text{cinematica_r3gdl}(\beta_1, l_1, q_1, \beta_2, l_2, q_2, \beta_3, l_3, q_3)$$

donde l_1 es la distancia sobre el eje z_0 donde se encuentra localizado el servomotor de la articulación de la base; l_2, l_3 son las longitudes del hombro y codo, respectivamente; Ancho de los servomotores $\beta_1, \beta_2, \beta_3$; q_1, q_2, q_3 son las posiciones articulares. Esta función retorna las coordenadas cartesianas (x_0, y_0, z_0) .



Código Fuente 5.10 cinematica_r3gdl.m

%MATLAB Aplicado a Robótica y Mecatrónica.

%Editorial Alfaomega, Fernando Reyes Cortés.

%Capítulo 5 Cinemática directa cartesiana.

cinematica_r3gdl.m

```

1 function [x0, y0, z0]=cinematica_r3gdl(beta1,l1,q1,beta2,l2,q2,beta3,l3,q3)
2     dato1=whos('beta1'); dato2=whos('l1'); dato3=whos('q1');
3     dato4=whos('beta2'); dato5=whos('l2'); dato6=whos('q2');
4     dato7=whos('beta3'); dato8=whos('l3'); dato9=whos('q3');
5     v1=strcmp(dato1.class,'sym');v2=strcmp(dato2.class,'sym');
6     v3=strcmp(dato3.class,'sym');v4=strcmp(dato4.class,'sym');
7     v5=strcmp(dato5.class,'sym');v6=strcmp(dato6.class,'sym');
8     v7=strcmp(dato7.class,'sym');v8=strcmp(dato8.class,'sym');
9     v9=strcmp(dato9.class,'sym'); digits(3);
10    if (v1 & v2 & v3 & v4 & v5 & v6 & v7 & v8 & v9) %caso simbólico
11        x0=simplify(vpa((beta2+beta3)*sin(q1)+cos(q1)*(l3*cos(q2 + q3) + l2*cos(q2)),3));
12        y0=simplify(vpa(-(beta2+beta3)*cos(q1)+sin(q1)*(l3*cos(q2 + q3) + l2*cos(q2)),3));
13        z0=simplify(vpa(l1 +beta1+ l3*sin(q2 + q3) + l2*sin(q2) ,3));
14        x0=vpa(x0); y0=vpa(y0);
15    else %caso numérico
16        x0=(beta2+beta3)*sin(q1)+cos(q1).*(l3*cos(q2 + q3) + l2*cos(q2));
17        y0=-(beta2+beta3)*cos(q1)+sin(q1).*(l3*cos(q2 + q3) + l2*cos(q2));
18        z0=l1 +beta1+ l3*sin(q2 + q3) + l2*sin(q2);
19    end
20 end

```

Función cinemática inversa del brazo robot de 3 gdl

La función de cinemática inversa del brazo robot de 3 gdl tiene la siguiente forma sintáctica:

$$[q_1, q_2, q_3] = \text{cinv_r3gdl}(\beta_2, \beta_3, l_2, l_3, x_0, y_0, z_0)$$



donde los argumentos de entrada son los parámetros geométricos del robot $\beta_1, \beta_2, \beta_3$ representan espesor de los servomotores de la base, hombro y codo, respectivamente; l_1 es la distancia sobre el eje z_0 donde se ubica la articulación de la base; l_2 y l_3 longitudes del hombro y codo, respectivamente. Las coordenadas cartesianas del extremo final del robot x_0, y_0, z_0 se encuentran expresadas en el sistema $\Sigma_0(x_0, y_0, z_0)$. Esta función retorna las coordenadas articulares (q_1, q_2, q_3) de la base, hombro y codo, respectivamente.



Código Fuente 5.11 `cinv_r3gdl.m`

%MATLAB Aplicado a Robótica y Mecatrónica.

%Editorial Alfaomega, Fernando Reyes Cortés.

%Capítulo 5 Cinemática directa cartesiana.

`cinv_r3gdl.m`

```

1 function [q1, q2, q3]=cinv_r3gdl(beta2,beta3,l2,l3,x0,y0,z0)
2     v1=sqrt(x0.*x0+y0.*y0-(beta2+beta3)^2);
3     %articulación de la base q1
4     q1=atan(y0./x0)-atan((beta2+beta3)./v1);
5     c3=(x0.*x0+y0.*y0+z0.*z0-l2^2-l3^2)./(2*l2*l3);
6     s3=sqrt(1-c3.*c3);
7     %articulación del codo q3
8     q3=atan(s3./c3);
9     2=(z.*(l2+l3.*c3)-l3*s3.*sqrt(x0.*x0+y0.*y0))./(x0.*x0+y0.*y0+z0.*z0);
10    2=((l2+l3.*c3).*sqrt(x0.*x0+y0.*y0)+l3*s3.*z)./(x0.*x0+y0.*y0+z0.*z0);
11    q2=atan(s2./c2);%articulación del hombro
12 end

```

♣♣♣ Ejemplo 5.3

Diseñar un programa en lenguaje **MATLAB** que permita desplegar en forma simbólica los parámetros DH, cinemática cartesiana y el jacobiano del robot antropomórfico de 3 gdl. Asimismo programar una aplicación donde el extremo final del robot trace trayectorias circulares sobre el eje z_0 .

Solución

El programa 5.12 presenta el código fuente en lenguaje **MATLAB** que despliega en forma simbólica los parámetros DH, cinemática cartesiana, matriz jacobiana y su determinante (ver líneas 6 a la 16).

De la línea 23 a la 25 se encuentra la implementación de la trayectoria circular con barrido de 1 mm sobre el eje z_0 : $[x \ y \ z]^T = [x_c + r \sin(t) \ y_c + r \cos(t) \ t]$, siendo x_c, y_c el centro del círculo, r es el radio, t es la evolución del tiempo. En la línea 26 la trayectoria circular es convertida a coordenadas articulares usando la cinemática inversa y en la línea 27 se obtiene las coordenadas que el extremo final del robot traza como se muestra en la figura 5.11.

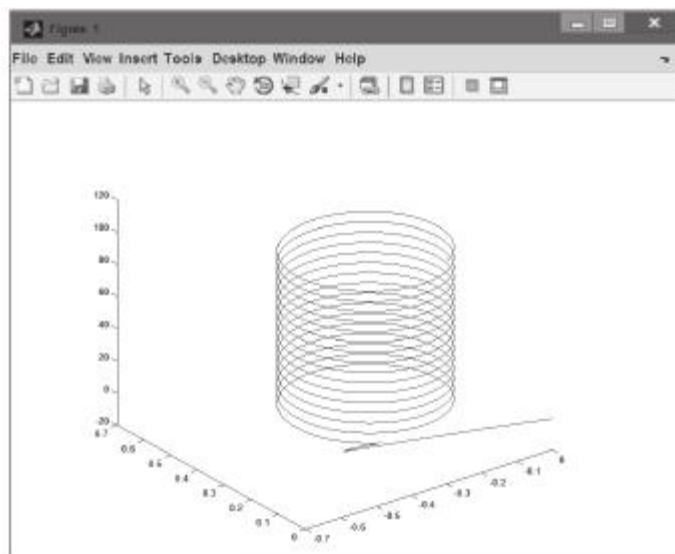


Figura 5.11 Trazo que realiza el extremo final del brazo robot de 3 gdl.



Código Fuente 5.12 cap5_r3gdl.m

%MATLAB Aplicado a Robótica y Mecatrónica.

%Editorial Alfaomega, Fernando Reyes Cortés.

%Capítulo 5 Cinemática directa cartesiana.

cap5_r3gdl.m

```

1  clc;
2  clear all;
3  close all;
4  format short
5  syms q1 q2 q3 beta1 beta2 beta3 l1 l2 l3 alpha1 alpha2 alpha3 real
6  H30=H_r3gdl() ;
7  disp('Transformación homogénea del robot antropomórfico de 3 gdl');
8  disp(H30);
9  [R30, cinemat_r3gdl,cero, c]=H_DH(H30) ;
10 disp('Matriz de rotación');
11 disp(R30);
12 disp('cinemática directa');
13 disp(cinemat_r3gdl);
14 [x0, y0,z0]= cinematica_r3gdl(beta1,l1,q1,beta2,l2,q2,beta3,l3,q3); disp([x0; y0;z0])
15 jac_r3gdl=jacobian([x0; y0;z0], [q1;q2;q3])
16 det_r3gdl=simplify(vpa(det(jac_r3gdl),3))
17 %ejemplo numérico
18 l1=0; l2=0.45; l3=0.45;
19 t=0:0.001:100;
20 xc=0.3; yc=-0.3; r=0.20;
21 beta1=0.12; beta2=0.01; beta3=0.01;
22 q1=[]; q2=[]; q3=[];
23 x=xc+r*sin(t) ;
24 y=yc+r*cos(t);
25 z=t;
26 [q1, q2, q3]=cinv_r3gdl(beta2,beta3,l2,l3,x,y,z);
27 [x0, y0,z0]=cinematica_r3gdl(beta1,l1,q1,beta2,l2,q2,beta3,l3,q3);
28 plot3(x0,y0,z0)

```

5.3 Configuración SCARA (RRP)

La configuración **SCARA** (Selective Compliance Assembly Robot Arm) representa una geometría especial de robots industriales; es un brazo planar antropomórfico con dos articulaciones rotacionales y la tercera articulación es prismática o lineal para manipular objetos. La figura 5.12 muestra un ejemplo de un robot industrial en la configuración SCARA. Esta configuración aprovecha las ventajas que proporciona el brazo robot antropomórfico de 2 gdl moviéndose en el plano horizontal; en este caso la energía potencial es constante (par gravitacional cero), la estructura mecánica es de alta rigidez para soportar cargas en forma vertical y para control de fuerza. La configuración SCARA es adecuada para tareas de ensamble con pequeños objetos.



Figura 5.12 Robot KR 10 SCARA R600 (Compañía KUKA).

Cinemática directa cartesiana

El espacio de trabajo del robot SCARA es un cilindro que se describe en la figura 5.13, el radio del cilindro es igual a la suma de las longitudes de los eslabones de las articulaciones rotacionales $l_2 + l_3$. El origen del sistema de referencia fijo $\Sigma_0(x_0, y_0, z_0)$ se coloca rígidamente en el piso, de tal forma que sobre el eje z_0 la articulación de la base del robot queda a una distancia l_1 más el ancho del servomotor y espesor de la barra metálica representado por β_1 . El eje de rotación de la primera articulación rotacional q_1 (base) coincide con el eje z_0 . El sistema de referencia $\Sigma_1(x_1, y_1, z_1)$ se encuentra colocado rígidamente en el extremo final del primer eslabón, donde se intercepta al eje de rotación de la segunda articulación rotacional q_2 con el eje x_0 ; las coordenadas del origen del sistema $\Sigma_1(x_1, y_1, z_1)$ con respecto

a $\Sigma_0(x_0, y_0, z_0)$ son $[l_2 \cos(q_1) \quad l_2 \sin(q_1), l_1 + \beta_1]^T$. Cuando $q_1 = 0$ significa que el plano $x_1 - y_1$ mantiene una rotación con referencia al plano fijo $x_0 - y_0$, entonces la matriz $R_{10} = R_{z_0}(q_1)$ describe la rotación del sistema $\Sigma_1(x_1, y_1, z_1)$ con respecto al sistema fijo $\Sigma_0(x_0, y_0, z_0)$. Los ejes z_0 y z_1 son paralelos entre sí y mantienen la misma dirección, por lo tanto el ángulo que existe entre ellos es $\alpha_1 = 0$. El sistema de referencia $\Sigma_1(x_1, y_1, z_1)$ mide la variable articular q_2 alrededor del eje z_1 . El plano $x_1 - y_1$ tiene una rotación por un ángulo q_1 con respecto al plano $x_0 - y_0$.

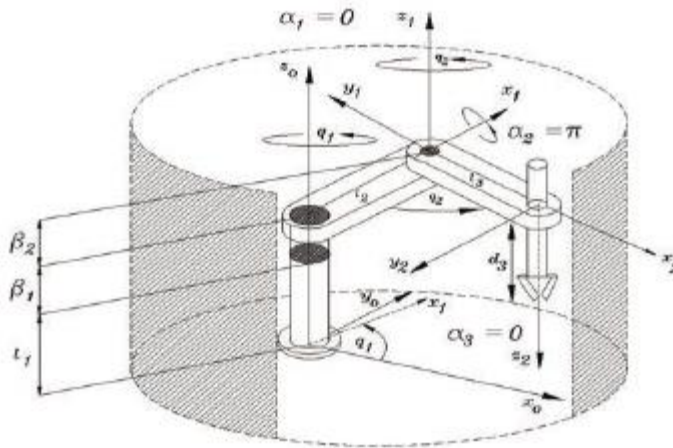


Figura 5.13 Espacio de trabajo del robot SCARA.

El sistema de referencia $\Sigma_2(x_2, y_2, z_2)$ se coloca en la parte final del segundo eslabón, justo en la intersección del eje x_1 con el desplazamiento lineal d_3 . Las coordenadas del origen del sistema $\Sigma_2(x_2, y_2, z_2)$ con respecto a $\Sigma_1(x_1, y_1, z_1)$ son $[l_3 \cos(q_2) \quad l_3 \sin(q_2) \quad l_1 + \beta_1 + \beta_2]^T$, siendo β_2 el ancho del segundo servomotor más el espesor de la segunda barra metálica. El ángulo que hay entre los ejes x_1 y x_2 es q_2 . Cuando $q_2 = 0$ se encuentran alineados dichos ejes, para el caso donde $q_2 = 0$, la rotación que hay entre los sistemas de referencia $\Sigma_1(x_1, y_1, z_1)$ y $\Sigma_2(x_2, y_2, z_2)$ es descrita por la matriz $R_{21} = R_{x_1}(q_2)$. La medición de la tercera articulación lineal d_3 se realiza sobre el eje z_2 , por lo tanto este eje está alineado sobre su desplazamiento lineal teniendo movimiento positivo en dirección hacia abajo, que corresponde a una dirección negativa del eje z_1 o z_0 como se muestra en la figura 5.13. El sistema de referencia $\Sigma_2(x_2, y_2, z_2)$ se obtiene a partir del sistema $\Sigma_1(x_1, y_1, z_1)$, rotando un ángulo $\alpha_2 = \pi$ alrededor del eje x_1 , por lo tanto los ejes z_2 y z_1 son paralelos entre sí, pero con dirección contraria.

En la configuración SCARA todos los ejes z_i con $i = 0, 1, 2$ son paralelos entre sí, pero debe notarse que el eje z_2 mantiene una rotación de 180 grados con respecto al eje z_1 o al eje z_0 . La razón por la cual el eje z_2 mantiene una dirección positiva hacia abajo es por aspectos técnicos, es decir los objetos a manipular se encuentran frente de la herramienta de trabajo. Se ha considerado que el eje z_2 es paralelo al eje de la herramienta ($\alpha_3 = 0$).

Con la anterior descripción de los sistemas de referencia $\Sigma_0(x_0, y_0, z_0)$ al $\Sigma_2(x_2, y_2, z_2)$ para la configuración SCARA produce el siguiente conjunto de parámetros Denavit-Hartenberg que se presenta en la tabla 5.4:

Tabla 5.4 Parámetros DH del robot SCARA

Eslabón	l_i	α_i	d_i	θ_i
1	0	0	$l_1 + \beta_1$	q_1
2	l_2	π	β_2	q_2
3	l_3	0	d_3	0

De acuerdo con la tabla 5.4 el robot SCARA tiene las siguientes matrices de transformación homogénea:

$$\begin{aligned}
 H_0^1 &= H_{Rz_0}(q_1) H_{Tz_0}(l_1 + \beta_1) H_{Tx}(l_2) H_{Rx_1}(0) \\
 &= \begin{bmatrix} \cos(q_1) & -\sin(q_1) & 0 & l_2 \cos(q_1) \\ \sin(q_1) & \cos(q_1) & 0 & l_2 \sin(q_1) \\ 0 & 0 & 1 & l_1 + \beta_1 \\ 0 & 0 & 0 & 1 \end{bmatrix} \quad (5.33)
 \end{aligned}$$

$$\begin{aligned}
 H_1^2 &= H_{Rz_1}(q_2) H_{Tz_1}(\beta_2) H_{Tx_1}(l_3) H_{Rx_1}(\pi) \\
 &= \begin{bmatrix} \cos(q_2) & \sin(q_2) & 0 & l_3 \cos(q_2) \\ \sin(q_2) & -\cos(q_2) & 0 & l_3 \sin(q_2) \\ 0 & 0 & -1 & \beta_2 \\ 0 & 0 & 0 & 1 \end{bmatrix} \quad (5.34)
 \end{aligned}$$

$$H_2^3 = H_{Rz_2}(0) H_{Tz_2}(d_3) H_{Tx_2}(0) H_{Rx_2}(0)$$

$$= \begin{bmatrix} 1 & 0 & 0 & 0 \\ 0 & 1 & 0 & 0 \\ 0 & 0 & 1 & d_3 \\ 0 & 0 & 0 & 1 \end{bmatrix} \tag{5.35}$$

$$H_0^3 = H_0^1 H_1^2 H_2^3 = \begin{bmatrix} \cos(q_1 + q_2) & \sin(q_1 + q_2) & 0 & l_2 \cos(q_1) + l_3 \cos(q_1 + q_2) \\ \sin(q_1 + q_2) & -\cos(q_1 + q_2) & 0 & l_2 \sin(q_1) + l_3 \sin(q_1 + q_2) \\ 0 & 0 & -1 & l_1 + \beta_1 + \beta_2 - d_3 \\ 0 & 0 & 0 & 1 \end{bmatrix} \tag{5.36}$$

El modelo de cinemática directa para el robot SCARA está dada por la siguiente expresión:

$$\begin{bmatrix} x_0 \\ y_0 \\ z_0 \end{bmatrix} = \mathbf{f}_R(\mathbf{q}) = \begin{bmatrix} l_2 \cos(q_1) + l_3 \cos(q_1 + q_2) \\ l_2 \sin(q_1) + l_3 \sin(q_1 + q_2) \\ l_1 + \beta_1 + \beta_2 - d_3 \end{bmatrix} \tag{5.37}$$

Función transformación homogénea SCARA

El conjunto de ecuaciones que describen la rotación y coordenadas cartesianas del extremo final del robot SCARA (5.33)-(5.37) permiten desarrollar una librería con variables simbólicas para **MATLAB** H SCARA() con la siguiente sintaxis:

```
H0^3 = H_SCARA()
```

esta función retorna la matriz de transformación homogénea H_0^3 la cual está formada con la matriz de rotación R_{30} que relaciona la rotación del extremo final del robot con respecto al sistema fijo $\Sigma_0(x_0, y_0, z_0)$ y la cinemática directa que relaciona las coordenadas articulares con las coordenadas cartesianas $\mathbf{f}_R(\mathbf{q})$. Además, también despliega la tabla 5.4 con los parámetros Denavit-Hartenberg del robot SCARA.

El programa 5.13 contiene el código **MATLAB** de la función transformación homogénea del robot SCARA:



Código Fuente 5.13 H_SCARA.m

%Transformación homogénea del robot SCARA H_0^3

%MATLAB Aplicado a Robótica y Mecatrónica.

%Editorial Alfaomega, Fernando Reyes Cortés.

%Capítulo 5 Cinemática directa cartesiana.

H_SCARA.m

```

1 function H=H_SCARA()
2     syms q1 q2 q3 beta1 beta2 l1 l2 l3 d1 d2 d3 alpha1 alpha2 alpha3 real
3     disp('Transformación Homogénea  $H_0^3$  del robot SCARA')
4     disp('Parámetros Denavit-Hartenberg del robot SCARA')
5     disp([' l alpha d q'])
6     %tabla de parámetros DH del robot SCARA
7     dh=[0, 0,l1+beta1, q1; l2, pi, beta2, q2; l3, 0, d3, 0];%despliega parámetros
      DH del robot SCARA
8     disp(dh)
9     %cálculo de las matrices de transformación homogénea de cada articulación
10    % $H_0^1 = H_{R_{z_0}}(q_1) H_{T_{z_0}}(l_1 + \beta_1) H_{T_x}(l_2) H_{R_x}(0)$ 
11    H10=HRz(q1)*HTz(l1+beta1)*HTx(l2)*HRx(0);
12    % $H_1^2 = H_{R_{z_1}}(q_2) H_{T_{z_1}}(\beta_2) H_{T_{x_1}}(l_3) H_{R_{x_1}}(\pi)$ 
13    H21=HRz(q2)*HTz(beta2)*HTx(l3)*HRx(pi);
14    % $H_2^3 = H_{R_{z_2}}(0) H_{T_{z_2}}(d_3) H_{T_{x_2}}(0) H_{R_{x_2}}(0)$ 
15    H32=HRz(0)*HTz(d3)*HTx(0)*HRx(0);
16    %transformación homogénea del robot SCARA
17    % $H_0^3 = H_0^1 H_1^2 H_2^3$ 
18    H30=simplify(H10*H21*H32);
19    %deducción de la matriz de rotación  $R_{30}$ 
20    %así como la cinemática directa cartesiana  $\mathbf{f}_R(q_1, q_2, d_3)$  del robot SCARA
21    [R30, cinemat_scara, cero, c]=H_DH(H30);
22    %estructura de la matriz homogénea
23    H=[R30, cinemat_scara;
24        cero, c];
25 end

```

Función cinemática directa

La función cinemática directa del robot SCARA se define como:

if

$$[x_0, y_0, z_0] = \text{cinematica_SCARA}(\beta_1, \beta_2, l_1, l_2, l_3, q_1, q_2, d_3)$$

donde los argumentos de entrada son los parámetros geométricos: $\beta_1, \beta_2, l_1, l_2, l_3$ y las variables articulares q_1, q_2, d_3 . Esta función retorna las coordenadas x_0, y_0, z_0 en espacio cartesiano del sistema de referencia fijo $\Sigma_0(x_0, y_0, z_0)$.

En el cuadro 5.14 se presenta el código en lenguaje **MATLAB** de la cinemática directa del robot SCARA.

**Código Fuente 5.14 cinemática SCARA.m**

```
%cinemática directa robot SCARA
```

```
%MATLAB Aplicado a Robótica y Mecatrónica.
```

```
%Editorial Alfaomega, Fernando Reyes Cortés.
```

```
%Capítulo 5 Cinemática directa cartesiana.
```

```
cinematica_SCARA.m
```

```
1 function [x0, y0, z0]=cinematica_SCARA(beta1,beta2,l1,l2,l3,q1,q2,d3)
2     x0=l2*cos(q1)+l3*cos(q1+q2);
3     y0=l2*sin(q1)+l3*sin(q1+q2);
4     z0=l1+beta1+beta2-d3;
5 end
```

Jacobiano del robot SCARA

El jacobiano del robot SCARA se encuentra de la siguiente forma:

$$J(q_1, q_2, d_3) = \frac{\partial \mathbf{f}_R(\mathbf{q})}{\partial \mathbf{q}} \quad (5.38)$$

$$= \begin{bmatrix} -l_2 \sin(q_1) - l_3 \sin(q_1 + q_2) & -l_3 \sin(q_1 + q_2) & 0 \\ l_2 \cos(q_1) + l_3 \cos(q_1 + q_2) & l_3 \cos(q_1 + q_2) & 0 \\ 0 & 0 & -1 \end{bmatrix}$$

el determinante del jacobiano del robot SCARA tiene la siguiente forma:

$$\det[\mathbf{J}(q_1, q_2, d_3)] = -l_2 l_3 \sin(q_2) \quad (5.39)$$

lo que significa que se presentan problemas de singularidad cuando $q_2 = 0, \pm \pi$.

Cinemática inversa del robot SCARA

El ancho de los servomotores y espesor de las barras metálicas (β_1, β_2) no tienen proyección sobre el plano $x_0 - y_0$; sólo contribuyen en la coordenada z_0 , como en el caso del péndulo y robot antropomórfico de 2 gdl, entonces la cinemática inversa del robot SCARA toma la siguiente expresión:

$$q_2 = \arccos\left(\frac{x_0^2 + y_0^2 - l_2^2 - l_3^2}{2l_2 l_3}\right) \quad (5.40)$$

$$q_1 = \arctan\left(\frac{y_0}{x_0}\right) - \arctan\left(\frac{l_3 \sin(q_2)}{l_2 + l_3 \cos(q_2)}\right) \quad (5.41)$$

$$d_3 = l_1 + \beta_1 + \beta_2 - z_0 \quad (5.42)$$

Función cinemática inversa del robot SCARA

La función cinemática inversa del robot SCARA tiene la siguiente sintaxis:



$$[d_3, q_2, q_1] = \text{cinv_SCARA}(\beta_1, \beta_2, l_1, l_2, l_3, x_0, y_0, z_0)$$

donde $\beta_1, \beta_2, l_1, l_2, l_3$ son los parámetros geométricos del robot SCARA, x_0, y_0, z_0 son las coordenadas en espacio cartesiano en el sistema fijo $\Sigma_0(x_0, y_0, z_0)$; esta función retorna las coordenadas articulares d_3, q_2, q_1 .

El programa 5.15 contiene el código fuente **MATLAB** de la cinemática inversa del robot SCARA, para facilitar la implementación de procedimientos recursivos con pase de parámetros escalares o vectoriales, la cinemática inversa es programada con operaciones entre arreglos.



Código Fuente 5.15 `cinv_SCARA.m`

```
%cinemática inversa robot SCARA
%MATLAB Aplicado a Robótica y Mecatrónica.
%Editorial Alfaomega, Fernando Reyes Cortés.
%Capítulo 5 Cinemática directa cartesiana.
```

```
cinv_SCARA.m
```

```
1 function [d3 q2 q1]=cinv SCARA(beta1,beta2,l1,l2,l3,x0,y0,z0)
2     q2=acos((x0.*x0+y0.*y0-l2*l2-l3*l3)/(2*l2*l3));
3     q1=atan(y0./x0)-atan((l3*sin(q2))./(l2+l3*cos(q2)));
4     d3=l1+beta1+beta2-z0;
5 end
```

♣ ♣ Ejemplo 5.4

Realizar una aplicación numérica del robot SCARA para que el extremo final lleve a cabo el trazo de una rosa polar de radio $r = 0.1$ m y con centro en las coordenadas cartesianas $[x_0 \ y_0 \ z_0]^T = [0.3 \ -0.3 \ -0.5]^T$ m. Asimismo presentar en forma simbólica la matriz jacobiana, determinante y cinemática directa.

Solución

En el cuadro 5.16 se presenta el código en lenguaje **MATLAB** en variables simbólicas de la matriz de transformación homogénea H_{0^3} del robot SCARA usando la función $H_{30}=H_SCARA()$ (ver línea 4). En la línea 5 empleando la función $H_DH(H_{30})$ se obtiene la matriz de rotación R_{30} a través de la función $[R_{30}, \mathbf{f}_R(\mathbf{q}), 0^T, 1]=H_DH(H_{30})$. La matriz jacobiana se obtiene en la

línea 6 y su determinante en la línea 7. La aplicación numérica consiste en que el extremo final del robot SCARA trace una rosa polar de radio $r = 0.1$ m, y con centro en las coordenadas cartesianas $[x_0 \ y_0 \ z_0]^T = [0.3 \ -0.3 \ -0.5]^T$ m. La ecuación en coordenadas cartesianas de la rosa polar (líneas 19 a la 21) está dada por:

$$r = 0.1 \operatorname{sen}\left(\frac{6t}{7}\right) \quad x = x_c + r \operatorname{sen}^3(t)$$

$$y = y_c + r \cos^3(t) \quad z = -0.5$$

donde x_c, y_c representan el centro de la flor, r es el radio de los pétalos y t es el tiempo.

El cálculo de las coordenadas cartesianas de la rosa polar se realiza en forma iterativa usando la instrucción `for...end` (líneas 16 a la 24). En la línea 24 se convierten las coordenadas cartesianas de la rosa polar a coordenadas articulares del robot empleando la función `cinv_SCARA(...)`. En la línea 27 se usa la función cinemática `SCARA(...)` para convertir las coordenadas articulares del robot a coordenadas cartesianas, entonces el extremo final del robot realiza el trazo de la figura 5.14. El programa que se presenta en el cuadro 5.17 realiza la misma función del programa 5.16; la finalidad de mostrarlo es ilustrar el cálculo de las coordenadas cartesianas de la rosa polar sin utilizar la forma recursiva de la instrucción `for`, es decir se emplean operaciones con arreglos en lugar del proceso iterativo con escalares.

Observe que en las funciones `cinv_SCARA` y `cinematica_SCARA` se encuentran implementadas para soportar ambos tipos de pase de parámetros (recursivo y por arreglos), lo que facilita la implementación de varias

aplicaciones en control de robots manipuladores.

Es muy importante aclarar que el dibujo realizado por el robot SCARA (figura 5.14) no implica control del robot o una simulación de la dinámica del mismo. Estos programas ilustran sólo el empleo de la cinemática inversa y su conversión a coordenadas cartesianas del extremo final del robot para trazar una figura en su espacio de trabajo.

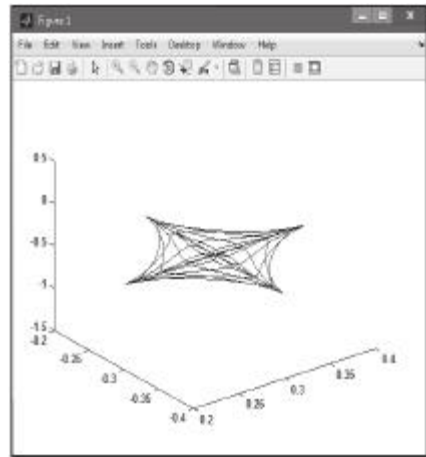


Figura 5.14 Trayectoria del robot SCARA.

Cuando las coordenadas articulares del robot provienen de un sistema dinámico como puede ser la ecuación en lazo cerrado (modelo dinámico del robot y algoritmo de control), entonces se trata de una simulación de un esquema de control. La cinemática no reproduce los fenómenos físicos del robot.



Código Fuente 5.16 SCARA.m

%MATLAB Aplicado a Robótica y Mecatrónica.

%Editorial Alfaomega, Fernando Reyes Cortés.

%Capítulo 5 Cinemática directa cartesiana.

SCARA.m

```

1  clc; clear all; close all; format short
2  syms theta l d alpha q real
3  syms q1 q2 d3 beta1 beta2 l1 l2 l3 alpha1 alpha2 alpha3 real
4  H30=H_SCARA() ;
5  [R30, frq_scara, cero, c]=H_DH(H30);
6  jac_scara=jacobian(frq_scara, [q1;q2;d3]);
7  det_scara=simplify(det(jac_scara))
8  %ejemplo numérico
9  %parámetros geométricos del robot SCARA
10 l1=0.45; l2=0.45; l3=0.45; beta1=0.1; beta2=0.1;
11 t=0:0.001:100;
12 %ecuación de la figura centro en xc,yc y radio r
13 xc=0.3; yc=-0.3;
14 q1=[]; q2=[]; z0=[]; d3=[];
15 [n m]=size(t); % dimensión del vector de tiempo
16 for k=1:m%forma recursiva
17     %ecuación cartesiana de la figura rosa polar
18     r=0.1*sin(6*t(k)/7); % radio de la figura
19     x=xc+r*(sin(t(k)))^3 ;
20     y=yc+r*(cos(t(k)))^3;
21     z=-0.5 ;
22     % conversión de coordenadas cartesianas de la rosa polar
23     %a coordenadas articulares del robot SCARA
24     [d3(k), q2(k), q1(k)]=cinv_SCARA(beta1,beta2,l1,l2,l3,x,y,z) ;
25 end
26 %trayectoria del robot SCARA en el sistema  $\Sigma_0(x_0, y_0, z_0)$ 
27 [x0, y0, z0]=cinematica_SCARA(beta1,beta2,l1,l2,l3,q1,q2,d3);
28 plot3(x0,y0,z0)

```



Código Fuente 5.17 SCARA1.m

%MATLAB Aplicado a Robótica y Mecatrónica.

%Editorial Alfaomega, Fernando Reyes Cortés.

%Capítulo 5 Cinemática directa cartesiana.

SCARA1.m

```

1  clc; clear all; close all;
2  format short
3  syms theta l d alpha q real
4  syms q1 q2 d3 beta1 beta2 l1 l2 l3 alpha1 alpha2 alpha3 real
5  H30=H_SCARA();
6  [R30, frq_scara, cero, c]=H_DH(H30);
7  jac_scara=jacobian(frq_scara, [q1;q2;d3]);
8  det_scara=simplify(det(jac_scara))
9  %ejemplo numérico
10 %parámetros geométricos del robot SCARA
11 l1=0.45; l2=0.45; l3=0.45; beta1=0.1; beta2=0.1;
12 t=0:0.001:100;
13 %ecuación de la rosa polar centro en xc,yc y radio r
14 xc=0.3; yc=-0.3;
15 q1=[]; q2=[]; z0=[]; d3=[];
16 [n m]=size(t); % dimensión del vector de tiempo
17 r=0.1*sin(6*t/7); %radio de la rosa polar
18 %ecuación cartesiana de la rosa polar
19 x=xc+r.*(sin(t).^3);
20 y=yc+r.*(cos(t).^3);
21 z(1:m)=-0.5; %coordenada sobre el eje z0
22 % conversión de coordenadas cartesianas de la rosa polar
23 %a coordenadas articulares del robot SCARA
24 [d3, q2, q1]=cinv_SCARA(beta1,beta2,l1,l2,l3,x,y,z);
25 %trayectoria del robot SCARA en el sistema  $\Sigma_0(x_0, y_0, z_0)$ 
26 [x0, y0, z0]=cinematica_SCARA(beta1,beta2,l1,l2,l3,q1,q2,d3);
27 plot3(x0,y0,z0)

```

5.4 Robot esférico (RRP)

La **configuración esférica** de robots manipuladores presenta dos articulaciones rotacionales (base y hombro) y la articulación del codo corresponde al tipo prismática o lineal como se muestra en la figura 5.15. Los ejes de movimiento de las articulaciones son mutuamente perpendiculares entre sí. Dentro de los ejemplares de esta configuración se encuentra el robot Stanford, cuya principal aplicación es el mecanizado de piezas automotrices y la manipulación de objetos sobre piso.

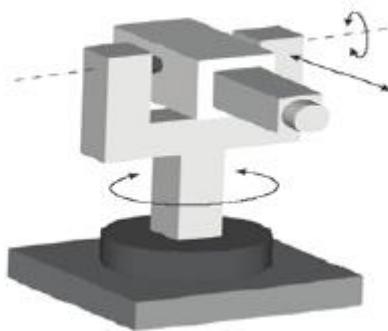


Figura 5.15 Robot manipulador en configuración esférica.

Cinemática directa cartesiana

El espacio de trabajo de la configuración esférica corresponde a una esfera hueca, cuyo radio se encuentra en función del desplazamiento lineal d_3 de la articulación prismática del codo. El eje z_0 se alinea con el eje de giro de la articulación rotacional de la base q_1 y el origen del sistema de referencia fijo $\Sigma_0(x_0, y_0, z_0)$ se ubica en el piso de tal forma que la articulación de la base está a una altura l_1 sobre el eje z_0 . El ancho del servomotor de la base y el espesor de la placa metálica están representados por β_1 . Por otro lado, el eje z_1 determina la medición de la variable articular q_2 del hombro y se encuentra alineado con el eje de rotación de esta articulación. Los ejes z_1 y z_0 son perpendiculares entre sí. El sistema de referencia $\Sigma_1(x_1, y_1, z_1)$ se coloca en el dorso del servomotor de la articulación del hombro y las coordenadas del origen de este sistema respecto al sistema fijo $\Sigma_0(x_0, y_0, z_0)$ están en: $[\beta_1 \cos(q_1) \quad \beta_1 \sin(q_1) \quad l_1 + \beta_1]^T$. El eje z_2 se alinea con el desplazamiento lineal de

la articulación prismática d_3 y las coordenadas del origen del sistema $\Sigma_2(x_2, y_2, z_2)$ con referencia al sistema $\Sigma_1(x_1, y_1, z_1)$ se encuentran localizadas en: $[0 \quad 0 \quad \beta_2]^T$. Los ejes z_0, z_1 y z_2 son perpendiculares entre sí.

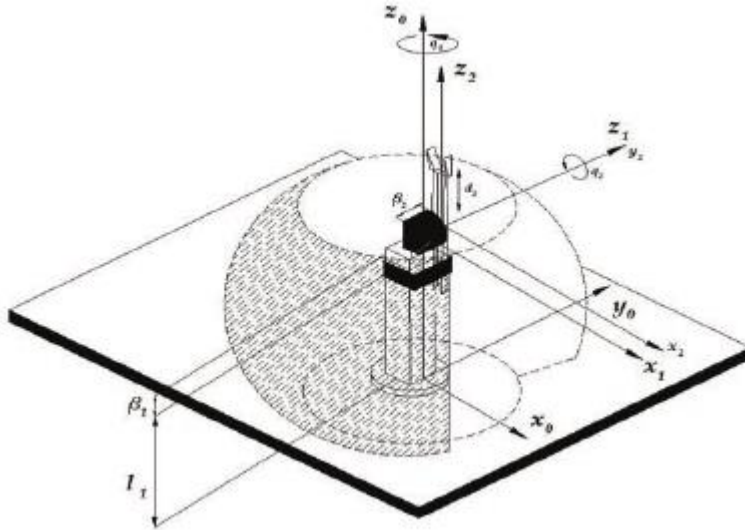


Figura 5.16 Configuración esférica.

La tabla 5.5 presenta los parámetros de la convención Denavit-Hartenberg para el robot en la configuración esférica.

Tabla 5.5 DH del robot esférico

Eslabón	l_i	α_i	d_i	θ_i
1	0	$-\frac{\pi}{2}$	$l_1 + \beta_1$	q_1
2	0	$\frac{\pi}{2}$	β_2	q_2
3	0	0	d_3	0

Las matrices de transformación homogénea para el robot en la configuración esférica tienen la siguiente estructura:

$$H_0 = H_{R_{z_0}}(q_1) H_{T_{z_0}}(l_1 + \beta_1) H_{T_{x_0}}(0) H_{R_{x_0}}\left(-\frac{\pi}{2}\right)$$

$$= \begin{bmatrix} \cos(q_1) & 0 & -\sin(q_1) & 0 \\ \sin(q_1) & 0 & \cos(q_1) & 0 \\ 0 & -1 & 0 & l_1 + \beta_1 \\ 0 & 0 & 0 & 1 \end{bmatrix} \quad (5.43)$$

$$H_1^2 = H_{Rz_1}(q_2) H_{Tx_1}(\beta_2) H_{Tx_0}(0) H_{Rx_1}(q_1) \\ = \begin{bmatrix} \cos(q_2) & 0 & \sin(q_2) & 0 \\ \sin(q_2) & 0 & -\cos(q_2) & 0 \\ 0 & 1 & 0 & \beta_2 \end{bmatrix} \quad (5.44)$$

$$H_2^3 = H_{Rz_2}(0) H_{Tx_2}(d_3) H_{Tx_1}(0) H_{Rx_2}(0) \\ = \begin{bmatrix} 1 & 0 & 0 & 0 \\ 0 & 1 & 0 & 0 \\ 0 & 0 & 1 & d_3 \end{bmatrix} \quad (5.45)$$

$$H_3 = \begin{bmatrix} 0 & 0 & 0 & 1 \\ 1 & 2 & 3 & \end{bmatrix} \quad (5.46)$$

$$H_0 = H_0 H_1 H_2 \\ = \begin{bmatrix} \cos(q_1) \cos(q_2) & -\sin(q_1) & \cos(q_1) \sin(q_2) & -\beta_2 \sin(q_1) + d_3 \sin(q_2) \cos(q_1) \\ \sin(q_1) \cos(q_2) & \cos(q_1) & \sin(q_1) \sin(q_2) & \beta_2 \cos(q_1) + d_3 \sin(q_2) \sin(q_1) \\ -\sin(q_2) & 0 & \cos(q_2) & l_1 + \beta_1 + d_3 \cos(q_2) \\ 0 & 0 & 0 & 1 \end{bmatrix} \quad (5.47)$$

La cinemática directa de un robot manipulador en configuración esférica es:

$$\begin{bmatrix} x \\ y \\ z \end{bmatrix} = \begin{bmatrix} -\beta_2 \sin(q_1) + d_3 \sin(q_2) \cos(q_1) \\ \beta_2 \cos(q_1) + d_3 \sin(q_2) \sin(q_1) \\ l_1 + \beta_1 + d_3 \cos(q_2) \end{bmatrix} \quad (5.48)$$

El jacobiano del robot esférico tiene la siguiente forma:

$$J(q_1, q_2, d_3) = \begin{bmatrix} -\beta_2 \cos(q_1) - d_3 \sin(q_1) \sin(q_2) & d_3 \cos(q_1) \cos(q_2) & \cos(q_1) \sin(q_2) \\ d_3 \cos(q_1) \sin(q_2) - \beta_2 \sin(q_1) & d_3 \cos(q_2) \sin(q_1) & \sin(q_1) \sin(q_2) \\ 0 & -d_3 \sin(q_2) & \cos(q_2) \end{bmatrix} \quad (5.49)$$

Determinante $\det[J(q_1, q_2, d_3)] = -d_3 \sin(q_2)$

Función transformación homogénea robot esférico

La función matriz de transformación homogénea $H_{\text{esferico}}()$ del brazo robot en la configuración esférica tiene la siguiente sintaxis:

if

$$H_0^3 = H_{\text{esferico}}()$$

esta función retorna la matriz de transformación homogénea H_0^3 integrada por la matriz de rotación R_{30} que describe la rotación del extremo final del robot con respecto al sistema fijo $\Sigma_0(x_0, y_0, z_0)$ y la cinemática directa cartesiana $f_R(q)$ que relaciona las coordenadas articulares. Además, también despliega en forma simbólica la tabla 5.5 con los parámetros Denavit-Hartenberg. El programa 5.18 contiene el código **MATLAB** de la función transformación homogénea del robot esférico.



Código Fuente 5.18 H_esferico.m

%MATLAB Aplicado a Robótica y Mecatrónica.

%Editorial Alfaomega, Fernando Reyes Cortés.

%Capítulo 5 Cinemática directa cartesiana.

H_esferico.m

```

1 function H=H_esferico()
2     syms q1 q2 q3 beta1 beta2 l1 l2 l3 d1 d2 d3 alpha1 alpha2 alpha3 real
3     disp('Parámetros Denavit-Hartenberg del robot SCARA') disp([' l alpha d q'])
4     dh=[0, -pi/2, l1+beta1, q1; 0, pi/2, beta2, q2; 0, 0, d3, 0]; disp(dh)
5     %H_0 = H_{R_{z0}}(q1)H_{T_{z0}}(l1 + \beta_1)H_{T_{x0}}(0)H_{R_{x0}}(-\pi/2)
6     H10=HRz(q1)*HTz(l1+beta1)*HTx(0)*HRx(-pi/2);
7     %H_1 = H_{R_{z1}}(q2)H_{T_{z1}}(\beta_2)H_{T_{x1}}(0)H_{R_{x1}}(\pi/2)
8     H21=HRz(q2)*HTz(beta2)*HTx(0)*HRx(pi/2);
9     H32=HRz(0)*HTz(d3)*HTx(0)*HRx(0); %H_2 = H_{R_{z2}}(0)H_{T_{z2}}(d3)H_{T_{x2}}(0)H_{R_{x2}}(0)
10    H30=simplify(H10*H21*H32);%H_0^3 = H_0 H_1 H_2^3
11    [R30, cinemat_esferico, cero, c]=H_DH(H30);
12    H=[R30, cinemat_esferico; cero, c];
13 end

```

Función cinemática directa del robot esférico

La función de cinemática directa que relaciona las coordenadas cartesianas del extremo final con las coordenadas articulares del brazo robot en configuración esférica está dada por la siguiente sintaxis (el código en lenguaje **MATLAB** se encuentra en el cuadro 5.19):

```
[x0, y0, z0]=cinematica_esferico(beta1, beta2, l1, q1, q2, d3)
```



Código Fuente 5.19 cinematica_esferico.m

%MATLAB Aplicado a Robótica y Mecatrónica.

%Editorial Alfaomega, Fernando Reyes Cortés.

%Capítulo 5 Cinemática directa cartesiana.

cinematica_esferico.m

```

1 function [x0, y0,z0]=cinematica_esferico(beta1,beta2,l1,q1,q2,d3)
2     dato1=whos('beta1'); dato2=whos('beta2'); dato3=whos('l1');
3     dato4=whos('q1'); dato5=whos('q2'); dato6=whos('d3');
4     v1=strcmp(dato1.class, 'sym'); v2=strcmp(dato2.class, 'sym');
5     v3=strcmp(dato3.class, 'sym'); v4=strcmp(dato4.class, 'sym');
6     v5=strcmp(dato5.class, 'sym'); v6=strcmp(dato6.class, 'sym');
7     digits(3);
8     if ( v1 & v2 & v3 & v4 & v5 &v6)% caso simbólico
9         x0=simplify(vpa(-beta2*sin(q1)+d3*cos(q1)*sin(q2),3));
10        y0=simplify(vpa(beta2*cos(q1) + d3*sin(q1)*sin(q2),3));
11        z0=simplify(vpa(beta1 + l1 + d3.*cos(q2),3));
12        x0=vpa(x0); y0=vpa(y0); z0=vpa(z0);
13        else %caso numérico
14            x0=-beta2*sin(q1)+d3.*cos(q1).*sin(q2);
15            y0= beta2*cos(q1) + d3.*sin(q1).*sin(q2);
16            z0=beta1 + l1 + d3.*cos(q2);
17        end
18 end

```

donde l_1 es la distancia sobre el eje z_0 donde está ubicada la articulación de la base; q_1, q_2, d_2, d_3 son las posiciones articulares de la base, hombro y codo, respectivamente. Retorna las coordenadas cartesianas (x_0, y_0, z_0) en el sistema $\Sigma_0(x_0, y_0, z_0)$.

Cinemática inversa

Para obtener la cinemática inversa de la configuración esférica se emplea el método geométrico que se presenta a detalle en la figura 5.17. Los ángulos $\vartheta + q_1$ satisfacen $\tan(\vartheta + q_1) = \frac{y_0}{x_0}$. Note que el ángulo ϑ queda ubicado en el interior del triángulo formado por el cateto adyacente $\sqrt{x_0^2 + y_0^2} - \beta_2$, cateto opuesto β_2 y la hipotenusa $\sqrt{x_0^2 + y_0^2}$, entonces $\tan(\vartheta) = \frac{\beta_2}{\sqrt{x_0^2 + y_0^2} - \beta_2}$.

movimiento de la articulación d_3 sobre el plano $x_0 - y_0$ es $d_3 \cos(q_2)$ del $d_3 \sin(q_2) = \sqrt{x_0^2 + y_0^2} - \beta_2$. Ahora, tomando en cuenta la siguiente identidad trigonométrica $\tan(\vartheta + q_1) = \frac{\tan(\vartheta) + \tan(q_1)}{1 - \tan(\vartheta)\tan(q_1)}$, se obtiene la expresión $\tan(q_1) = \frac{-x_0\beta_2 + y_0\sqrt{x_0^2 + y_0^2 - \beta_2^2}}{y_0\beta_2 + x_0\sqrt{x_0^2 + y_0^2 - \beta_2^2}}$. Por otro lado, se tiene que $\tan(q_2 - \pi/2) = \frac{x_0 + y_0 - \beta_2}{\sqrt{z_0^2 - (l_1 + \beta_1)^2}}$ y para $d_3 = \frac{z_0^2 + y_0^2 - \beta_2^2}{2x_0 + y_0 - \beta_2}$.

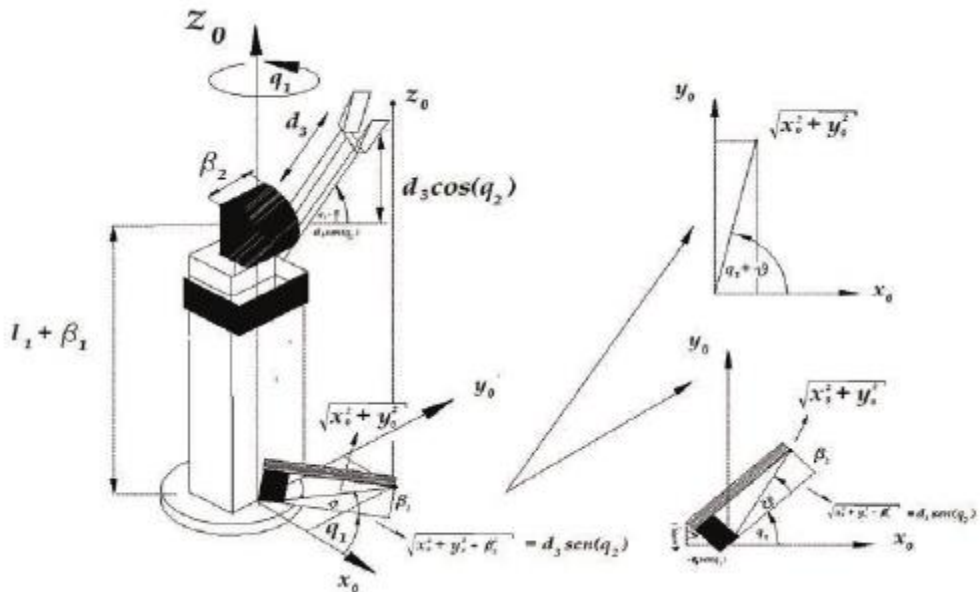


Figura 5.17 Cinemática inversa de la configuración esférica.

La cinemática inversa de la configuración esférica toma la siguiente forma:

$$q_1 = \operatorname{atan} \frac{-x_0\beta_2 + y_0 \sqrt{x_0^2 + y_0^2 - \beta_2^2}}{y_0\beta_2 + x_0 \sqrt{x_0^2 + y_0^2 - \beta_2^2}} \quad (5.50)$$

$$q_2 = \frac{\pi}{2} + \operatorname{atan} \frac{z_0 \sqrt{x_0^2 + y_0^2 - \beta_2^2}}{x_0^2 + y_0^2 - \beta_2^2} \quad (5.51)$$

$$d_3 = \sqrt{x_0^2 + y_0^2 - \beta_2^2 + [z_0 - (l_1 + \beta_1)]^2} \quad (5.52)$$

Función cinemática inversa robot esférico

La sintaxis de la función de cinemática inversa de la configuración esférica es (ver código en el cuadro 5.20); esta función retorna las coordenadas articulares.

if

 $[q_1, q_2, d_3] = \text{cinv_esferico}(\beta_1, \beta_2, l_1, x_0, y_0, z_0)$


Código Fuente 5.20 `cinv_esferico.m`

%MATLAB Aplicado a Robótica y Mecatrónica.

%Editorial Alfaomega, Fernando Reyes Cortés.

%Capítulo 5 Cinemática directa cartesiana.

`cinv_esferico.m`

```

1 function [q1, q2, d3]=cinv_esferico(beta1,beta2,l1,x0,y0,z0)
2     w1=y0.*sqrt(x0.*x0+y0.*y0-beta2*beta2)-x0*beta2;
3     w2=x0.*sqrt(x0.*x0+y0.*y0-beta2*beta2)+y0*beta2;
4     q1=atan(w1./w2);
5     w3=z0-(l1+beta1);
6     w4=sqrt(x0.*x0+y0.*y0-beta2*beta2);
7     q2=pi/2+atan(w3./w4);
8     d3=sqrt(x0.*x0+y0.*y0-beta2*beta2+(z0-(l1+beta1)).*(z0-(l1+beta1)));
9 end

```

♣♣♣ Ejemplo 5.5

Escribir un programa en lenguaje **MATLAB** que permita desplegar en forma simbólica los parámetros DH, matriz homogénea, cinemática cartesiana, jacobiano y determinante del robot esférico. Además, programar una aplicación donde el extremo final del robot trace un conjunto de figuras circulares. El radio de cada círculo es $r = 0.25$ m, con centro en el plano $(x_0, y_0) = (0.3, -0.3)$ m, cada círculo está a desplazado un milímetro sobre el eje z_0 (de 0 a 100 mm).

Solución

El programa que permite resolver el problema planteado se encuentra en el cuadro 5.21. La información simbólica del robot esférico se encuentra en las líneas 4 a la 15 (parámetros DH, matriz homogénea, cinemática directa, jacobiano y determinante del robot cilíndrico).

La figura circular se encuentra implementada en la línea 18 a la 24, con la siguiente ecuación:

$$\begin{aligned}x &= x_c + r \operatorname{sen}(t) \\y &= y_c + r \operatorname{cos}(t) \\z &= kt\end{aligned}$$

donde r es el radio del círculo, t es la evolución del tiempo, k [mm/seg] es una constante positiva que convierte el tiempo a milímetros, las coordenadas $[x_c, y_c]^T = [0.3, -0.3]^T$ m representan el centro del círculo en el plano

x_0, y_0 y el desplazamiento variable está dado por z . La línea 25 convierte las coordenadas cartesianas del círculo a coordenadas articulares del robot usando la función `cinv_esferico`. La línea 26 realiza la conversión de coordenadas articulares a coordenadas cartesianas del extremo final del robot (`cinematica_esferico`). La figura 5.18 muestra el trazo realizado por el extremo final del robot esférico (ver línea 27).

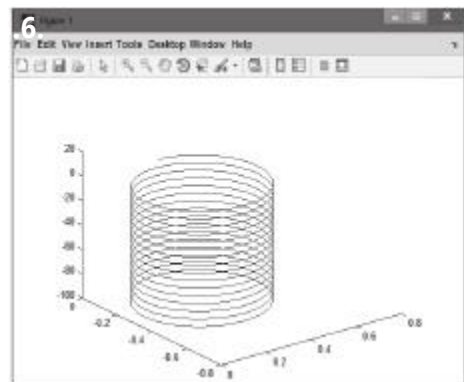


Figura 5.18 Aplicación del robot esférico.



Código Fuente 5.21 cap5_esferico.m

%MATLAB Aplicado a Robótica y Mecatrónica.

%Editorial Alfaomega, Fernando Reyes Cortés.

%Capítulo 5 Cinemática directa cartesiana.

cap5_esferico.m

```

1  clc; clear all; close all;
2  format short
3  syms q1 q2 d3 beta1 beta2 l1 alpha1 alpha2 alpha3 real
4  H30=H_esferico();
5  disp('Transformación homogénea del robot esférico');
6  disp(H30);
7  [R30, cinemat_esferico,cero, c]=H_DH(H30);
8  disp('Matriz de rotación');
9  disp(R30);
10 disp('cinemática directa');
11 disp(cinemat_esferico);
12 [x0, y0,z0]=cinematica_esferico(beta1,beta2,l1,q1,q2,d3);
13 disp([x0; y0;z0])
14 jac_esferico=jacobian([x0; y0;z0], [q1;q2;d3])
15 det_esferico=simplify(vpa(det(jac_esferico),3))
16 %ejemplo numérico
17 l1=0.5; beta1=0.10; beta2=0.05;
18 t=0:0.001:100; [n m]=size(t);
19 %ecuación del círculo con centro en xc,yc y radio r
20 xc=0.3; yc=-0.3; r=0.25;
21 q1=[]; q2=[]; d3=[]; k=1;
22 x=xc+r.*sin(t);
23 y=yc+r.*cos(t);
24 z=k*t;
25 [q1, q2, d3]=cinv_esferico(beta1,beta2,l1,x,y,z);
26 [x0, y0,z0]=cinematica_esferico(beta1,beta2,l1,q1,q2,d3);
27 plot3(x0,y0,z0)

```

5.5 Manipulador cilíndrico (RPP)

La **configuración cilíndrica** tiene la articulación de la base rotacional, mientras que las articulaciones del hombro y codo son lineales o prismáticas. Entre las aplicaciones más importantes de los robots manipuladores en esta configuración se encuentran procesos para desbastar moldes, traslado de objetos, ensamble de piezas en espacios horizontales y transporte de objetos. En la figura 5.19 se muestra la configuración cilíndrica.



Figura 5.19 Robot en configuración cilíndrica.

Cinemática directa cartesiana

El espacio de trabajo de la configuración cilíndrica que se muestra en la figura 5.21 tiene la forma de un cilindro hueco con radio directamente proporcional al desplazamiento lineal d_3 y altura variable d_2 . El origen del sistema de referencia cartesiano fijo $\Sigma_0(x_0, y_0, z_0)$ se ubica convenientemente en el piso, de tal forma que la articulación rotacional de la base se encuentra a una distancia l_1 sobre el eje z_0 . Este eje se alinea con el eje de rotación del servomotor, de esta forma la variable articular q_1 gira alrededor del eje z_0 . El ancho del servomotor y espesor de las placas metálicas que se utilizan para acoplar mecánicamente la siguiente articulación se encuentra expresado por el parámetro geométrico β_1 . Note que el parámetro l_1 produce sólo coordenadas positivas para z_0 , cuando este parámetro es cero o el origen de $\Sigma_0(x_0, y_0, z_0)$ se coloca sobre la articulación de la base, entonces puede haber coordenadas negativas en z_0 .

El sistema $\Sigma_1(x_1, y_1, z_1)$ sirve para medir la coordenada lineal d_2 de la articulación

del hombro, las coordenadas de $\Sigma_1(x_1, y_1, z_1)$ con respecto al sistema $\Sigma_0(x_0, y_0, z_0)$ son: $[0, 0, l_1 + \beta_1]^T$. El eje z_1 se alinea con el desplazamiento lineal de la variable d_2 y los ejes z_0 y z_1 son paralelos entre sí. El sistema de referencia $\Sigma_1(x_1, y_1, z_1)$ se encuentra rotado un ángulo q_1 con respecto al sistema fijo $\Sigma_0(x_0, y_0, z_0)$, la matriz de rotación que relaciona dicha rotación entre estos dos sistemas de referencia es: $R_{10} = R_{z_0}(q_1)$.

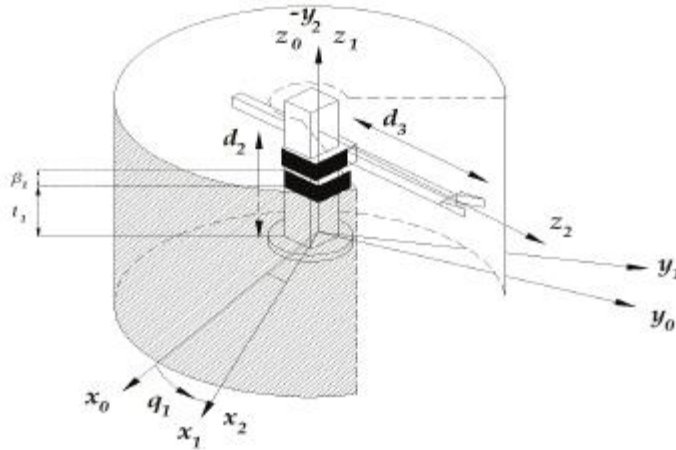


Figura 5.20 Espacio de trabajo del robot cilíndrico.

La articulación del codo tiene asociado el sistema de referencia $\Sigma_2(x_2, y_2, z_2)$ para medir el desplazamiento lineal de la variable d_3 . Este sistema se genera por rotar un ángulo $-\frac{\pi}{2}$ radianes alrededor del eje x_1 , de tal forma que el eje z_2 determina el desplazamiento lineal d_2 . Note que una consecuencia de esta rotación alrededor del eje x_1 , es que el eje z_2 queda alineado sobre el eje y_1 , de tal forma que para $q_1 = 0$, el desplazamiento lineal de d_3 coincide sobre el eje y_0 . Debido a esto, para la articulación lineal del codo el ángulo alrededor del eje z_0 es $q_1 + \frac{\pi}{2}$. Observe también en la dirección para coordenadas negativas del eje y_2 coincide con la dirección positiva de los ejes z_0 y z_1 .

Las coordenadas del origen del sistema $\Sigma_2(x_2, y_2, z_2)$ con respecto al sistema $\Sigma_1(x_1, y_1, z_1)$ son: $[0, 0, l_1 + \beta_1]^T$. El eje z_2 es perpendicular a los ejes z_0 y z_1 . La forma en que están indicados los sistemas de referencia $\Sigma_0(x_0, y_0, z_0)$, $\Sigma_1(x_1, y_1, z_1)$ y $\Sigma_2(x_2, y_2, z_2)$ en la figura 5.21 determinan la posición de casa del brazo robot en configuración cilíndrica, es decir para esa configuración de sistemas de referencia las

variables articulares tienen un valor de $[q_1, d_2, d_3]^T = [0, 0, l_1 + \beta_1]^T$. La variable lineal de codo normalmente es calibrada para dar valor cero en $z_0 = l_1 + \beta_1$, desplazamientos mayores a esta longitud son positivos, o en caso contrario negativos. Para otro tipo de posición de casa, la cinemática directa del robot cilíndrico adquiere una forma cartesiana diferente.

Los parámetros geométricos de espesor y ancho β_2, β_3 de los servomotores de las articulaciones del hombro y codo son absorbidos como parte de las características mecánicas de sus articulaciones, por lo que no influyen directamente en la expresión analítica de la cinemática directa del brazo robot en configuración cilíndrica.

En la tabla 5.6 se muestran los parámetros del robot manipulador en la configuración cilíndrica.

Tabla 5.6 DH del robot cilíndrico

Eslabón	l_i	α_i	d_i	θ_i
1	0	0	$l_1 + \beta_1$	q_1
2	0	$-\frac{\pi}{2}$	d_2	0
3	0	0	d_3	0

Con la tabla 5.6 el robot en la configuración cilíndrica tiene las siguientes matrices de transformación homogénea:

$$\begin{aligned}
 H_0^1 &= \begin{bmatrix} H_{R_{z_0}}(q_1) H_{T_{z_0}}(\beta_1 + l_1) H_{T_{x_0}}(0) H_{R_{x_0}}(0) \\ \cos(q_1) & -\sin(q_1) & 0 & 0 \\ \sin(q_1) & \cos(q_1) & 0 & 0 \\ 0 & 0 & 1 & l_1 + \beta_1 \\ 0 & 0 & 0 & 1 \end{bmatrix} \\
 &= \begin{bmatrix} \cos(q_1) & -\sin(q_1) & 0 & 0 \\ \sin(q_1) & \cos(q_1) & 0 & 0 \\ 0 & 0 & 1 & l_1 + \beta_1 \\ 0 & 0 & 0 & 1 \end{bmatrix} \quad (5.53)
 \end{aligned}$$

$$\begin{aligned}
 H_1^2 &= \begin{bmatrix} H_{R_{z_0}}(0) H_{T_{z_0}}(d_2) H_{T_{x_0}}(0) H_{R_{x_0}}(-\frac{\pi}{2}) \\ 1 & 0 & 0 & 0 \\ 0 & 0 & 1 & 0 \\ 0 & -1 & 0 & d_2 \\ 0 & 0 & 0 & 1 \end{bmatrix} \\
 &= \begin{bmatrix} 1 & 0 & 0 & 0 \\ 0 & 0 & 1 & 0 \\ 0 & -1 & 0 & d_2 \\ 0 & 0 & 0 & 1 \end{bmatrix} \quad (5.54)
 \end{aligned}$$

$$H_2^3 = H_{R_{z_0}}(0) H_{T_{z_0}}(d_3) H_{T_{x_0}}(0) H_{R_{x_0}}(0)$$

$$= \begin{bmatrix} 1 & 0 & 0 & 0 \\ 0 & 1 & 0 & 0 \\ 0 & 0 & 1 & d_3 \\ 0 & 0 & 0 & 1 \end{bmatrix} \tag{5.55}$$

$$\begin{aligned} H_0^3 &= H_0^1 H_1^2 H_2^3 \\ &= \begin{bmatrix} \cos(q_1) & 0 & -\sin(q_1) & -\sin(q_1)d_3 \\ \sin(q_1) & 0 & \cos(q_1) & d_3 \cos(q_1) \\ 0 & -1 & 0 & l_1 + \beta_1 + d_2 \\ 0 & 0 & 0 & 1 \end{bmatrix} \end{aligned} \tag{5.56}$$

El modelo de cinemática directa para el robot manipulador cilíndrico está dado de la siguiente forma:

$$\begin{bmatrix} x \\ y \\ z \end{bmatrix} = \mathbf{f}_R(\mathbf{q}) = \begin{bmatrix} -d_3 \sin(q_1) \\ d_3 \cos(q_1) \\ l_1 + \beta_1 + d_2 \end{bmatrix} \tag{5.57}$$

Jacobiano del robot cilíndrico

El jacobiano del brazo robot en configuración cilíndrica se expresa de la siguiente forma:

$$J(q_1, d_2, d_3) = \frac{\partial \mathbf{f}_R(\mathbf{q})}{\partial \mathbf{q}} = \begin{bmatrix} \cos(q_1)d_3 & 0 & -\sin(q_1) \\ -d_3 \sin(q_1) & 0 & \cos(q_1) \\ 0 & 1 & 0 \end{bmatrix} \tag{5.58}$$

cuyo determinante está dado por:

$$\det[J(q_1, d_2, d_3)] = d_3 \tag{5.59}$$

la única singularidad que presenta el brazo robot en configuración cilíndrica es cuando la articulación lineal del codo es $d_3 = 0$, mientras que las variables $q_1, d_2 \in \mathbb{R}$ pueden tener cualquier valor. De ahí que es recomendable para algunas aplicaciones donde se involucra la inversa de la matriz jacobiana que la variable articular lineal $d_3 = 0$. En algunos robots este problema se evita insertando sensores, interruptores o por programación para deshabilitar el movimiento del robot cuando la articulación lineal d_3 pasa por el origen del sistema $\Sigma_0(x_0, y_0, z_0)$.

Función transformación homogénea robot cilíndrico

La función matriz de transformación homogénea del brazo robot en configuración cilíndrica tiene la siguiente sintaxis:

if

$$H_0^3 = H_cilindrico()$$

retorna la matriz de transformación homogénea H_0^3 compuesta por la matriz de rotación R_{30} y la cinemática directa cartesiana $f_R(q)$ que relaciona las coordenadas cartesianas del extremo final con las coordenadas articulares. También despliega los parámetros Denavit-Hartenberg en forma simbólica que se muestran en la tabla 5.6. El programa 5.22 contiene el código de la función transformación homogénea.



Código Fuente 5.22 H_cilindrico.m

%MATLAB Aplicado a Robótica y Mecatrónica.

%Editorial Alfaomega, Fernando Reyes Cortés.

%Capítulo 5 Cinemática directa cartesiana.

H_cilindrico.m

```

1 function H=H_cilindrico()
2     syms q1 d2 d3 beta1 l1 alpha1 alpha2 alpha3 real
3     disp('Parámetros Denavit-Hartenberg del robot cilíndrico');
4     disp([' l alpha d q']);
5     dh=[0, 0, l1+beta1, q1; 0, -pi/2, d2, 0; 0, 0, d3, 0];
6     disp(dh)
7     %H0^1 = HRz0(q1)HTz0(l1 + beta1)HTx0(0)HRx0(0)
8     H10=HRz(q1)*HTz(l1 + beta1)*HTx(0)*HRx(0);
9     %H1^- = HRz1(0)HTz1(d2)HTx1(0)HRx1(-pi/2)
10    H21=HRz(0)*HTz(d2)*HTx(0)*HRx(-pi/2);
11    %H2^3 = HRz2(0)HTz2(d3)HTx2(0)HRx2(0)
12    H32=HRz(0)*HTz(d3)*HTx(0)*HRx(0);
13    H30=simplify(H10*H21*H32); % H0^3 = H0 H1 H2^3
14    [R30, cinemat_cilindrico, cero, c]=H_DH(H30);
15    H=[R30, cinemat_cilindrico;
16        cero, c];
17 end

```

Función cinemática directa del robot cilíndrico

La función de cinemática directa del brazo robot cilíndrico está por:

$$[x_0, y_0, z_0] = \text{cinematica_cilindrico}(\beta_1, l_1, q_1, d_2, d_3)$$



donde q_1, d_2, d_3 son las posiciones articulares de la base, hombro y codo, respectivamente. Retorna las coordenadas cartesianas (x_0, y_0, z_0) en el sistema $\Sigma_0(x_0, y_0, z_0)$. El cuadro 5.23 contiene el código en lenguaje **MATLAB** para la función cinemática del robot cilíndrico:

**Código Fuente 5.23 cinematica cilindrico.m**

%MATLAB Aplicado a Robótica y Mecatrónica.

%Editorial Alfaomega, Fernando Reyes Cortés.

%Capítulo 5 Cinemática directa cartesiana.

cinematica_cilindrico.m

```

1 function [x0, y0,z0]=cinematica cilindrico(beta1,l1,q1,d2,d3)
2     dato1=whos('beta1'); dato2=whos('l1'); dato3=whos('q1');
3     dato4=whos('d2'); dato5=whos('d3'); v1=strcmp(dato1.class, 'sym');
4     v2=strcmp(dato2.class, 'sym'); v3=strcmp(dato3.class, 'sym');
5     v4=strcmp(dato4.class, 'sym'); v5=strcmp(dato5.class, 'sym'); digits(3);
6     if ( v1 & v2 & v3 & v4 & v5) % caso simbólico
7         x0= -d3*sin(q1);
8         y0= d3*cos(q1);
9         z0=l1+beta1+d2;
10        x0=vpa(x0); y0=vpa(y0); z0=vpa(z0);
11        else %caso numérico
12        x0= -d3.*sin(q1);
13        y0= d3.*cos(q1);
14        z0=l1+beta1+d2;
15    end
16 end

```

Cinemática inversa

La cinemática inversa del brazo robot en configuración cilíndrica se obtiene de la cinemática directa (5.57) de la siguiente forma: primero que nada, debe considerarse que debido a que la posición de casa $[q_1, d_2, d_3]^T = [0, 0, 0]^T$ seleccionada para este brazo robot se caracteriza por la articulación del codo d_3 está alineada sobre el eje y_0 (los eje y_0 y z_2 coinciden cuando $q_1 = 0$), entonces el desplazamiento rotacional de la base alrededor del eje z_0 es por un ángulo $q_1 + \frac{\pi}{2}$ (ver figura 5.21). Por lo tanto, se cumple: $q_1 + \frac{\pi}{2} = \text{atan} \frac{-x_0}{y_0}$.

La articulación del hombro tiene un desplazamiento lineal sobre el eje z_0 , entonces $d_2 = z_0 - (l_1 + \beta_1)$. La articulación del codo d_3 proyecta su movimiento sobre el plano $x_0 - y_0$, por lo que puede tomar dos posibles soluciones: $d_3 = \pm \sqrt{x_0^2 + y_0^2}$.

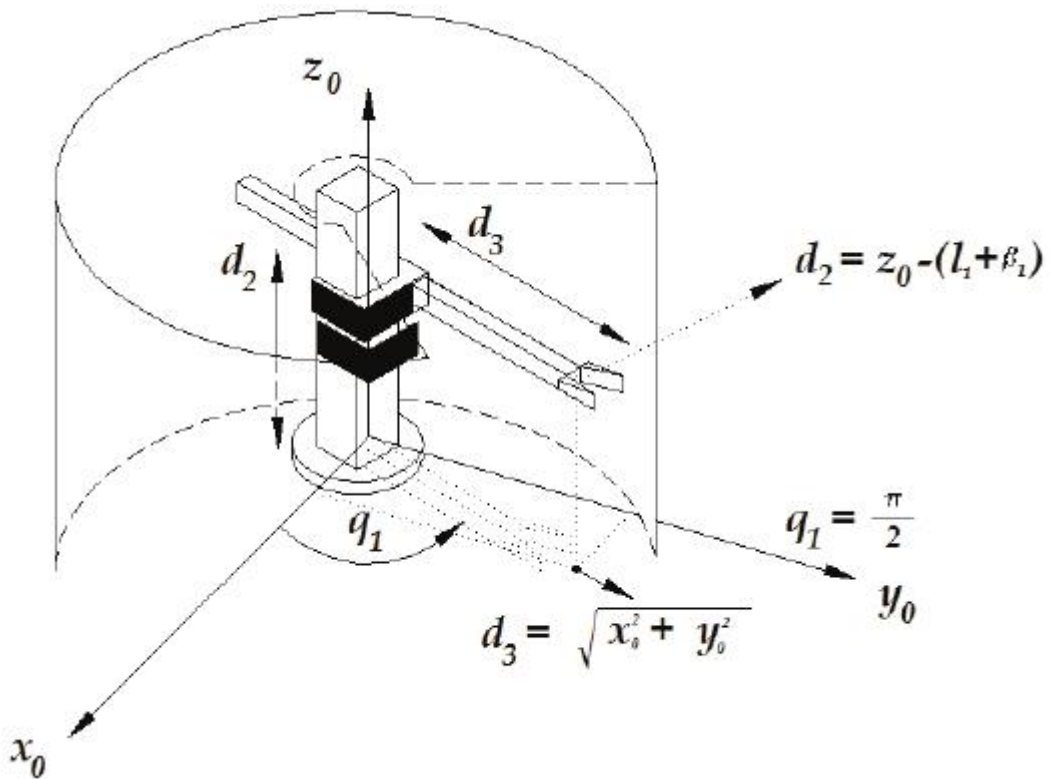


Figura 5.21 Cinemática inversa del robot cilíndrico.

La cinemática inversa del brazo robot en configuración cilíndrica está dada como:

$$q_1 = -\frac{\pi}{2} + \arctan\left(\frac{x_0}{y_0}\right) \quad (5.60)$$

$$d_2 = z_0 - (l_1 + \beta_1) \quad (5.61)$$

$$d_3 = \pm \sqrt{x_0^2 + y_0^2} \quad (5.62)$$

Función cinemática inversa robot cilíndrico

La función de cinemática inversa del robot cilíndrico convierte las coordenadas cartesianas del extremo final (x_0, y_0, z_0) en función de las coordenadas articulares (q_1, d_2, d_3) con la siguiente sintaxis:

$$[q_1, d_2, d_3] = \text{cinv_cilindrico}(\beta_1, l_1, x_0, y_0, z_0)$$



donde β_1, l_1 son los parámetros geométricos, x_0, y_0, z_0 son las coordenadas cartesianas del extremo final. Esta función retorna las coordenadas articulares q_1, d_2, d_3 de la base, hombro y codo, respectivamente. El cuadro 5.24 contiene la implementación de la función cinemática inversa del brazo robot cilíndrico.



Código Fuente 5.24 cinv_cilindrico.m

%MATLAB Aplicado a Robótica y Mecatrónica.

%Editorial Alfaomega, Fernando Reyes Cortés.

%Capítulo 5 Cinemática directa cartesiana.

cinv_cilindrico.m

```

1 function [q1, d2,d3]=cinv_cilindrico(beta1,l1,x0,y0,z0)
2     q1= -pi/2+atan(-x0./y0);
3     d2=z0-(l1+beta1);
4     d3= sqrt(x0.*x0+y0.*y0);
5 end

```

♣♣♣ Ejemplo 5.6

Escribir un programa en lenguaje **MATLAB** que permita desplegar en forma simbólica los parámetros DH, cinemática cartesiana, jacobiano y determinante del robot cilíndrico. Asimismo programar una aplicación donde el extremo final del robot realice el trazo de una rosa polar con centro en $[0.3, -0.3, 0.5]$ y radio $r = 0.15$.

Solución

El desplegado simbólico de los parámetros DH, cinemática directa y jacobiano del robot cilíndrico se encuentra en el cuadro 5.25. En la línea 4 se obtiene la matriz de transformación homogénea H_0^3 utilizando la función `H_cilindrico()`. La matriz de transformación homogénea H_0^3 se utiliza como argumento de entrada en la función `D_JHD(H_0^3)` para obtener la matriz de rotación R_{30} y la cinemática directa (línea 5). El jacobiano y su determinante se despliegan en las líneas 11 y 12, respectivamente.

La figura "rosa polar" tiene la siguiente ecuación:

$$\begin{aligned} r &= 0.05 + 0.1 \sin(t) \\ x &= x_c + r \sin(t) \\ y &= y_c + r \cos(t) \\ z &= l_1 + \beta_1 + 0.05 \end{aligned}$$

donde las coordenadas $[x_c, y_c, z]^T$ son

el centro de la figura (ver líneas 19-22), $l_1 + \beta_1 = 0.45$. El vector tiempo es de 0 a 100 segundos, con incrementos de un milisegundo. Las coordenadas cartesianas de la rosa polar son convertidas a coordenadas articulares usando la función `cinv_cilindrico(β_1, l_1, x, y, z)` (ver línea 24). La línea 26 contiene la conversión de coordenadas cartesianas del extremo final del robot a coordenadas articulares usando la función `cinematica_cilindrico(q_1, d_2, d_3)`. La línea 27 exhibe la figura 5.22 trazada por el robot cilíndrico.

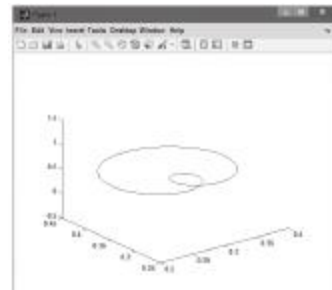


Figura 5.22 Aplicación del robot cilíndrico.


Código Fuente 5.25 cap5_cilíndrico.m

%MATLAB Aplicado a Robótica y Mecatrónica.

%Editorial Alfaomega, Fernando Reyes Cortés.

%Capítulo 5 Cinemática directa cartesiana.

cap5_cilíndrico.m

```

1  cl; clear all; close all;
2  format short
3  syms q1 d2 d3 beta1 l1 alpha1 alpha2 alpha3 real
4  H30=H_cilindrico(); disp('Transformación homogénea del robot cilíndrico');
5  [R30, cinemat_cilindrico,cero, c]=H_DH(H30);
6  disp('Matriz de rotación');
7  disp(R30);
8  disp('cinemática directa'); disp(cinemat_cilindrico);
9  [x0, y0,z0]=cinematica_cilindrico(beta1,l1,q1,d2,d3);
10 disp([x0; y0;z0])
11 jac_cilindrico=jacobian([x0;y0;z0], [q1;d2;d3])
12 det_cilindrico=simplify(vpa(det(jac_cilindrico),3))
13 %ejemplo numérico
14 t=0:0.001:100;
15 %ecuación de la rosa polar con centro en (xc,yc) y radio r
16 xc=0.3; yc=-0.3; beta1=0.05; l1=0.40;
17 q1=[]; d2=[]; d3=[]; r=0.2;
18 [n m]=size(t);
19 r=0.05+0.1*sin(t);
20 x=xc+r.*sin(t);
21 y=yc+r.*cos(t);
22 z(1:m)=l1+beta1+0.05;
23 %conversión de coordenadas cartesianas a coordenadas articulares del robot
24 [q1, d2, d3]=cinv_cilindrico(beta1,l1,x,y,z);
25 %coordenadas cartesianas del extremo final del robot
26 [x0, y0,z0]=cinematica_cilindrico(beta1,l1,q1,d2,d3);
27 plot3(x0,y0,z0)%trayectoria trazada por el robot

```

5.6 Configuración cartesiana (PPP)

Los robots manipuladores que incluyen sus tres primeras articulaciones del tipo prismático o lineales se denominan **robots cartesianos**, también conocidos como robots pórticos o lineales, por lo que no tienen articulaciones rotacionales. Existen varias aplicaciones de los robots cartesianos, entre ellas: corte de mascarillas, graficadores o plotters, taladros automáticos, mesas de medición de coordenadas como la que se muestra la figura 5.23, impresoras láser o de matriz son otros ejemplos de robots cartesianos con 2 gdl.



Figura 5.23 Robot cartesiano.

Particularmente, la configuración cartesiana facilita la programación del extremo final del robot y sus potenciales aplicaciones, ya que la cinemática directa es un mapa lineal entre coordenadas articulares y cartesianas. Sin embargo, la estructura mecánica del robot cartesiano presenta baja destreza de movilidad comparado con la configuración antropomórfica debido a que todas sus articulaciones son prismáticas.

Cinemática cartesiana

En la figura 5.24 se muestra el espacio de trabajo del robot cartesiano, tiene forma de un paralelepípedo recto. El sistema de referencia cartesiano fijo $\Sigma_0(x_0, y_0, z_0)$ se selecciona de manera conveniente. El eje z_0 determina el desplazamiento lineal de la primera articulación prismática d_1 , el origen del sistema $\Sigma_0(x_0, y_0, z_0)$ se ubica en $[0, 0, l_1]$ siendo l_1 una longitud con respecto al nivel del piso, l_1 representa la longitud de las barras del robot cartesiano. Los ejes x_0 y y_0 quedan alineados por la

regla de la mano derecha. El siguiente sistema de referencia $\Sigma_1(x_1, y_1, z_1)$ se obtiene rotando el eje x_0 un ángulo $\alpha_1 = -\pi/2$ quedando el eje z_1 en dirección positiva de la variable d_2 . Observe que el eje y_1 apunta en dirección negativa del eje z_0 y el eje x_1 es paralelo al eje x_0 , separado evidentemente por la dimensión física de la mesa cartesiana denotada por la longitud l_2 . El sistema $\Sigma_2(x_2, y_2, z_2)$ sirve para medir el desplazamiento lineal de la variable articular d_3 . Sin embargo, la obtención de este tercer sistema de referencia no es trivial, ya que no se puede deducir directamente del sistema $\Sigma_1(x_1, y_1, z_1)$ debido a que no existe un ángulo α_2 alrededor del eje x_1 que genere directamente el sistema de referencia $\Sigma_2(x_2, y_2, z_2)$.

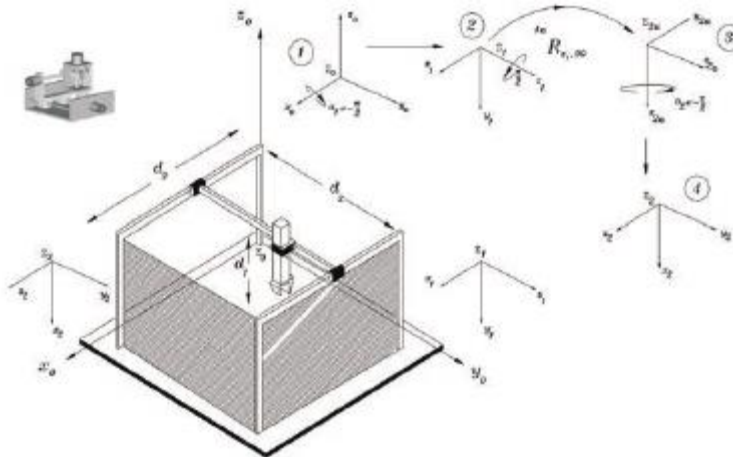


Figura 5.24 Espacio de trabajo del robot cartesiano.

Para obtener el sistema de referencia $\Sigma_2(x_2, y_2, z_2)$, primero se emplea un sistema de referencia auxiliar denominado $\Sigma_{2a}(x_{2a}, y_{2a}, z_{2a})$ el cual se obtiene realizando una rotación de 90 grados con respecto al eje z_1 , esta rotación hace que el eje x_{2a} permanezca paralelo al eje y_1 . Debe observarse que los ejes z_1 y z_{2a} son paralelos entre sí de tal manera que sus coordenadas (d_2) entre estos ejes sean idénticas. El origen del sistema de referencia auxiliar $\Sigma_{2a}(x_{2a}, y_{2a}, z_{2a})$ es el mismo que el sistema de referencia $\Sigma_1(x_1, y_1, z_1)$, pero el sistema $\Sigma_{2a}(x_{2a}, y_{2a}, z_{2a})$ mantiene una rotación relativa al sistema $\Sigma_1(x_1, y_1, z_1)$ expresada por la matriz rotación $R_{z_1}(\pi/2)$ es decir:

$$\begin{bmatrix} x_{2a} \\ y_{2a} \\ z_{2a} \end{bmatrix} = R_{z_1}^T(\pi/2) \begin{bmatrix} x_2 \\ y_2 \\ z_2 \end{bmatrix}$$

Posteriormente, girando un ángulo $\alpha_2 = \pi/2$ alrededor del eje x_{2a} se obtiene el sistema

de referencia $\Sigma_2(x_2, y_2, z_2)$ donde la articulación prismática d_3 se mueve linealmente sobre el eje z_2 . Esta última rotación α_2 alrededor del eje x_2 determina el ángulo entre los ejes z_2 y z_1 . Los ejes z_0 , z_1 y z_2 son mutuamente perpendiculares entre sí.

En la figura 5.25 se muestra la secuencia de rotaciones. El paso 1 corresponde al sistema fijo $\Sigma_0(x_0, y_0, z_0)$, rotando un ángulo $\alpha_1 = -\pi/2$ alrededor del eje x_0 genera el sistema $\Sigma_1(x_1, y_1, z_1)$. El paso 2 consiste en rotar por un ángulo π alrededor del eje z_1 para generar el sistema de referencia $\Sigma_{2a}(x_{2a}, y_{2a}, z_{2a})$, este sistema es auxiliar y sirve para generar el sistema $\Sigma_2(x_2, y_2, z_2)$. Para eso el paso 3 consiste en rotar un ángulo $\alpha_2 = -\pi/2$ alrededor del eje x_{2a} .

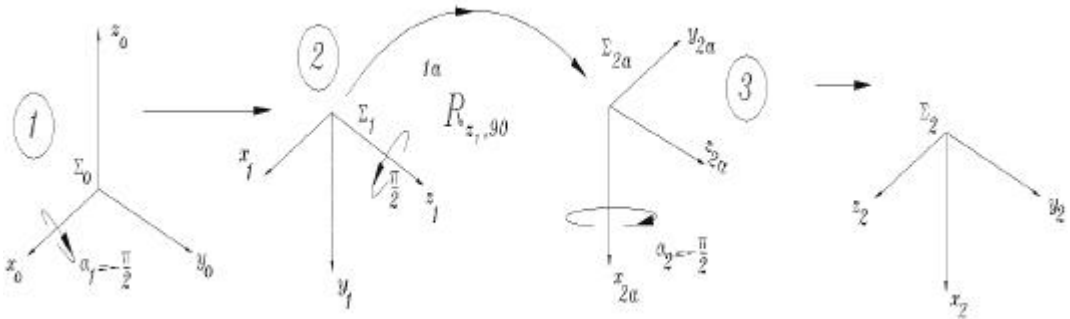


Figura 5.25 Sistemas de referencia del robot cartesiano.

La tabla de parámetros del robot manipulador de 3 gdl en configuración cartesiana queda de la siguiente forma:

Tabla 5.7 Parámetros Denavit-Hartenberg para el robot cartesiano de 3 gdl

Eslabón	l_i	α_i	d_i	θ_i
1	0	$-\frac{\pi}{2}$	d_1	0
2	0	$-\frac{\pi}{2}$	d_2	0
3	0	0	d_3	0

La matriz de transformación homogénea para la primera articulación toma la siguiente forma:

$$\begin{aligned}
 H_{0'} &= H_{R_{z_0}}(0) H_{T_{z_0}}(d_1) H_{T_{x_0}}(0) H_{R_{x_0}}(-\pi/2) \\
 &= \begin{bmatrix} 1 & 0 & 0 & 0 \\ 0 & 0 & 1 & 0 \\ 0 & -1 & 0 & d_1 \\ 0 & 0 & 0 & 1 \end{bmatrix} \quad (5.63)
 \end{aligned}$$

$$\begin{aligned}
 H_1^2 &= H_{R_{z_1}}(0) H_{T_{z_1}}(d_2) H_{T_{x_1}}(0) H_{T_{x_1}}(-\pi/2) \\
 &= \begin{bmatrix} 1 & 0 & 0 & 0 \\ 0 & 0 & 1 & 0 \\ 0 & -1 & 0 & d_2 \\ 0 & 0 & 0 & 1 \end{bmatrix} \quad (5.64)
 \end{aligned}$$

$$\begin{aligned}
 H_{2a} &= H_{R_{z_1}}(\pi/2)^T H_1 \\
 &= H_{R_{z_1}}(\pi/2)^T \underbrace{H_{R_{z_1}}(0) H_{T_{z_2}}(d_2) H_{T_{x_1}}(0) H_{T_{x_1}}(-\pi/2)}_{H_1^2} \\
 &= \begin{bmatrix} 0 & -1 & 0 & 0 \\ 1 & 0 & 0 & 0 \\ 0 & 0 & 1 & 0 \\ 0 & 0 & 0 & 1 \end{bmatrix} \begin{bmatrix} 1 & 0 & 0 & 0 \\ 0 & 0 & 1 & 0 \\ 0 & -1 & 0 & d_2 \\ 0 & 0 & 0 & 1 \end{bmatrix} = \begin{bmatrix} 0 & 0 & 1 & 0 \\ -1 & 0 & 0 & 0 \\ 0 & -1 & 0 & d_2 \\ 0 & 0 & 0 & 1 \end{bmatrix} \quad (5.65)
 \end{aligned}$$

$$\begin{aligned}
 H_{2'} &= H_{R_{z_2}}(0) H_{T_{z_2}}(d_3) H_{T_{x_2}}(0) H_{T_{x_2}}(0) = \begin{bmatrix} 0 & 0 & 1 & 0 \\ 1 & 0 & 0 & 0 \\ 0 & 0 & 1 & d_3 \\ 0 & 0 & 0 & 1 \end{bmatrix} \quad (5.66)
 \end{aligned}$$

$$\begin{aligned}
 H_0^3 &= H_0 \underbrace{R_{z_1, \pi/2}^T}_{H_{2a}} H_1 H_2 = \begin{bmatrix} 0 & 0 & 1 & d_3 \\ 0 & -1 & 0 & d_2 \\ 1 & 0 & 0 & d_1 \\ 0 & 0 & 0 & 1 \end{bmatrix}
 \end{aligned}$$

La cinemática directa del robot cartesiano está dado por:

$$\begin{bmatrix} x_0 \\ y_0 \\ z_0 \end{bmatrix} = \begin{bmatrix} d_3 \\ d_2 \\ d_1 \end{bmatrix} \quad (5.67)$$

Jacobiano del robot cartesiano

La matriz jacobiano del robot cartesiano está dado por:

$$\mathbf{J}(d_3, d_2, d_1) = \frac{\partial \mathbf{f}_R(\mathbf{q})}{\partial \mathbf{q}} = \begin{bmatrix} 1 & 0 & 0 \\ 0 & 1 & 0 \\ 0 & 0 & 1 \end{bmatrix} \quad (5.68)$$

cuyo determinante es unitario $\det[\mathbf{J}(d_3, d_2, d_1)] = 1$.

La configuración cartesiana ofrece ventajas debido que no tiene singularidades.

Función transformación homogénea robot cartesiano

La sintaxis de la función transformación homogénea del brazo robot cartesiano es:



$$H_0^3 = H_{\text{cartesiano}}()$$

esta función retorna la matriz de transformación homogénea H_0^3 compuesta por la matriz de rotación R_{30} que describe la rotación del extremo final del robot con respecto al sistema fijo $\Sigma_0(x_0, y_0, z_0)$ y la cinemática directa cartesiana $\mathbf{f}_R(\mathbf{q})$ que relaciona las coordenadas articulares. Además, también despliega los parámetros Denavit-Hartenberg en forma simbólica de la tabla 5.7.

El programa 5.26 contiene el código **MATLAB** de la función transformación homogénea del robot cartesiano. Utiliza las matrices de transformación homogéneas de rotación $H_{R_z}(q_i)$ y traslación $H_{T_z}(d)$ para el cálculo de cada una de las matrices homogéneas de las articulaciones: H_0^1 , H_1^2 , H_2^3 . También emplea la función $H_DH(H30)$ para obtener la matriz de rotación R_{30} y la cinemática directa cartesiana $\mathbf{f}_R(d_1, d_2, d_3)$.



Código Fuente 5.26 H_cartesiano.m

%MATLAB Aplicado a Robótica y Mecatrónica.

%Editorial Alfaomega, Fernando Reyes Cortés.

%Capítulo 5 Cinemática directa cartesiana.

H_cartesiano.m

```

1 function H=H_cartesiano()
2     syms l1 l2 l3 d1 d2 d3 alpha1 alpha2 alpha3 real
3     disp('Parámetros Denavit-Hartenberg del robot cartesiano')
4     disp('[ l alpha d q]')
5     dh=[0, -pi/2, d1, 0; 0, -pi/2, d2, 0; 0, 0, d3, 0];
6     %despliega tabla de parámetros DH
7     disp(dh)
8     %cálculo de las matrices de transformación homogénea de cada articulación
9     %H0 = HRz0(0) HTz0(d1) HTx0(0) HRx0(-π/2)
10    H10=HRz(0)*HTz(d1)*HTx(0)*HRx(-pi/2);
11    %H1 = HRz1(0) HTz1(d2) HTx1(0) HRx1(-π/2)
12    H21=HRz(0)*HTz(d2)*HTx(0)*HRx(-pi/2);
13    %H1a = HRz1(π/2) H1a
14    H21a=simplify((HRz(pi/2))*H21);
15    %H2 = HRz2(0) HTz2(d3) HTx2(0) HRx2(0)
16    H32=HRz(0)*HTz(d3)*HTx(0)*HRx(0);
17    %H0 = H01H1a2H23
18    H30=simplify(H10*H21a*H32);
19    %matriz de rotación R30 y cinemática directa fR(d1, d2, d3)
20    [R30, cinemat_cartesiano, cero, c]=H_DH(H30);
21    %Forma la matriz de transformación homogénea del robot cartesiano
22    %
23    H=[R30, cinemat_cartesiano;
24       zero, c];

```

25 end

Función cinemática directa del robot cartesiano

La sintaxis de la función de cinemática directa de la configuración cartesiana es:

if

$$[x_0, y_0, z_0] = \text{cinematica_cartesiano}(d_3, d_2, d_1)$$

donde d_3, d_2, d_1 son las posiciones articulares del robot en configuración cartesiana. Esta función retorna las coordenadas cartesianas (x_0, y_0, z_0) en el sistema $\Sigma_0(x_0, y_0, z_0)$. El cuadro 5.27 contiene función cinemática del robot cartesiano.

**Código Fuente 5.27 cinematica_cartesiano.m**

%MATLAB Aplicado a Robótica y Mecatrónica.

%Editorial Alfaomega, Fernando Reyes Cortés.

%Capítulo 5 Cinemática directa cartesiana.

cinematica_cartesiano.m

```

1 function [x0, y0, z0]=cinematica_cartesiano(d3,d2,d1)
2     dato1=whos('d1'); dato2=whos('d2'); dato3=whos('d3');
3     v1=strcmp(dato1.class, 'sym'); v2=strcmp(dato2.class, 'sym');
4     v3=strcmp(dato3.class, 'sym'); digits(3);
5     if ( v1 & v2 & v3) %caso simbólico
6         x0=d3; y0=d2; z0=d1; x0=vpa(x0); y0=vpa(y0); z0=vpa(z0);
7     else %caso numérico
8         x0=d3; y0=d2; z0=d1;
9     end
10 end

```

Función cinemática inversa robot cartesiano

La función de cinemática inversa del robot cartesiano convierte las coordenadas cartesianas del extremo final (x_0, y_0, z_0) en el sistema $\Sigma_0(x_0, y_0, z_0)$ a las coordenadas articulares (d_1, d_2, d_3) , bajo la siguiente sintaxis:

if

$$[d_3, d_2, d_1] = \text{cinv_cartesiano}(x_0, y_0, z_0)$$

Esta función retorna las coordenadas articulares. El cuadro 5.28 contiene el código de la cinemática inversa del robot cartesiano:



Código Fuente 5.28 `cinv_cartesiano.m`

```
%MATLAB Aplicado a Robótica y Mecatrónica.
%Editorial Alfaomega, Fernando Reyes Cortés.
%Capítulo 5 Cinemática directa cartesiana.
```

```
cinv_cartesiano.m
```

```
1 function [d3, d2, d1]=cinv_cartesiano(x0,y0,z0)
2 |   d3=x0; d2=y0; d1=z0;;
3 end
```

♣♣♣ Ejemplo 5.7

Escribir un programa en lenguaje **MATLAB** que permita desplegar en forma simbólica los parámetros DH, cinemática directa y el jacobiano del robot cartesiano. Además, implementar una aplicación donde el extremo final del robot trace una rosa polar, con centro en $[0.3, -0.3, 0.5]^T$ m y radio $r = 0.1$ m.

Solución

El programa que se presenta en el cuadro 5.29 permite desplegar en forma simbólica los parámetros DH, cinemática directa, jacobiano del robot cartesiano y matriz de transformación homogénea H_0^3 . De la línea 19 a la 25 se obtienen las coordenadas cartesianas de la figura rosa polar, dichas coordenadas son trazadas por el extremo final del robot como se indica en la figura 5.26.

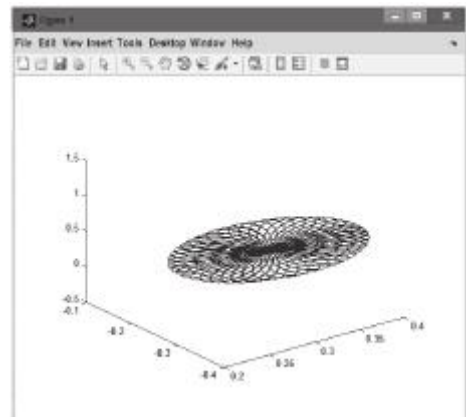


Figura 5.26 Rosa polar.


Código Fuente 5.29 cap5_cartesiano.m

%MATLAB Aplicado a Robótica y Mecatrónica.

%Editorial Alfaomega, Fernando Reyes Cortés.

%Capítulo 5 Cinemática directa cartesiana.

cap5_cartesiano.m

```

1  clc;
2  clear all;
3  close all;
4  format short
5  syms d1 d2 d3 alpha1 alpha2 alpha3 real
6  H30=H_cartesiano();
7  disp('Transformación homogénea del robot cartesiano'); disp(H30);
8  [R30, cinemat_cartesiano,cero, c]=H_DH(H30);
9  disp('Matriz de rotación'); disp(R30);
10 disp('cinemática directa');
11 disp(cinemat_cartesiano);
12 [x0, y0,z0]=cinematica_cartesiano(d3,d2,d1);
13 disp([x0; y0;z0])
14 jac_cartesiano=jacobian([x0;y0;z0], [d3;d2;d1])
15 det_cartesiano=simplify(vpa(det(jac_cartesiano),3))
16 %ejemplo numérico
17 t=0:0.001:100;
18 %ecuación de la flor con 8 pétalos centro en xc,yc y radio r
19 xc=0.3; yc=-0.3 ;
20 d1=[]; d2=[]; d3=[]; r=0.2;
21 [n m]=size(t);
22 r=0.1*cos(pi*t);
23 x=xc+r.*sin(t);
24 y=yc+r.*cos(t);
25 z(1:m)=0.5 ;
26 [d3, d2, d1]=cinv_cartesiano(x,y,z);
27 [x0, y0,z0]=cinematica_cartesiano(d3,d2,d1);
28 plot3(x0,y0,z0)

```

5.7 Resumen



Cinemática directa cartesiana de robots manipuladores permite una descripción entre las coordenadas cartesianas del extremo final del robot manipulador y las coordenadas articulares. La convención Denavit-Hartenberg es una herramienta de la ingeniería de suma utilidad para la obtención del modelo de cinemática directa de robots manipuladores la cual establece que la matriz de transformación homogénea de la i -ésima articulación se compone de 4 parámetros: l_i es la longitud de los eslabones, α_i el ángulo que hay entre el eje z_{i-1} y z_i , d_i es el desplazamiento lineal sobre el eje z_{i-1} ; cuando la i -ésima articulación no es prismática o lineal, entonces d_i representa el ancho del servomotor y espesor de la placa metálica, en este caso se especifica por β_i . Para articulaciones rotacionales alrededor del eje z_{i-1} se denota por q_i .

De acuerdo al análisis de cinemática directa cartesiana para cada configuración de robots industriales (antropomórfica, SCARA, esférico, cilíndrico y cartesiano), se han desarrollado un conjunto de librerías de cinemática directa de robots manipuladores para **MATLAB** (toolbox) que permiten obtener los parámetros Denavit-Hartenberg, la matriz homogénea, cinemática directa, matriz jacobiano y su determinante en función de los parámetros geométricos como longitudes l_i y también tomando en cuenta el ancho de la i -ésima articulación y espesor de la placa metálica (β_i) que se emplea para acoplar mecánicamente la siguiente articulación del robot.

Este conjunto de librerías tienen la ventaja de trabajar en forma simbólica, ya que despliegan no sólo las ecuaciones de cinemática, también permiten realizar aplicaciones numéricas como manejo de coordenadas con valores específicos o trayectorias de curvas para que el extremo final del robot pueda trazarlas.

La programación indistinta en lenguaje **MATLAB** de variables simbólicas y numéricas resulta de gran utilidad sobre todo en el análisis cinemático, planeación de trayectorias, guiado del robot en su espacio de trabajo y detección de puntos singulares en la cinemática diferencial o en procesos donde involucra la matriz inversa del jacobiano del robot.

En el sitio WEB del libro se encuentran disponibles todos los programas fuentes en **MATLAB** de las funciones de cinemática cartesiana, matrices de transformación homogénea, cinemática inversa, jacobianos y determinantes, así como diversas aplicaciones de las configuraciones analizadas de robots manipuladores.

Para una rápida identificación de las librerías desarrolladas, a continuación se resume la sintaxis del conjunto de funciones para cinemática directa cartesiana con pase de parámetros de entrada y datos que retorna de cada las configuraciones de robots manipuladores analizados.

La tabla 5.8 contiene la descripción de funciones de cinemática para la configuración antropomórfica considerando los casos de estudio del péndulo robot, robot planar vertical de 2 gdl y robot con movimiento tridimensional en su espacio de trabajo (3 gdl).

Tabla 5.8 Configuración antropomórfico

Función	Sintaxis
Péndulo	$H_0^1 = H_pendulo()$ $[x_0, y_0, z_0] = cinematica_pendulo(\beta_1, l_1, q_1)$ $q_1 = cinv_pendulo(x_0, y_0)$
Robot antropomórfico vertical planar de 2 gdl	$H_0^2 = H_r2gdl()$ $[x_0, y_0, z_0] = cinematica_r2gdl(\beta_1, l_1, q_1, \beta_2, l_2, q_2)$ $J(q_1, q_2) = jacobiano_r2gdl(\beta_1, l_1, q_1, \beta_2, l_2, q_2)$ $det[J(q_1, q_2)] = det_jac_r2gdl(\beta_1, l_1, q_1, \beta_2, l_2, q_2)$ $[q_1, q_2] = cinv_r2gdl(l_1, l_2, x_0, y_0)$
Robot antropomórfico de 3 gdl	$H_0^3 = H_r3gdl()$ $[x_0, y_0, z_0] = cinematica_r3gdl(\beta_1, l_1, q_1, \beta_2, l_2, q_2, \beta_3, l_3, q_3)$ $J(q_1, q_2, q_3) = jacobiano_r3gdl(\beta_1, l_1, q_1, \beta_2, l_2, q_2, q_3)$ $det[J(q_1, q_2, q_3)] = detjac_r3gdl(\beta_1, l_1, q_1, \beta_2, l_2, q_2, q_3)$ $[q_1, q_2, q_3] = cinv_r3gdl(\beta_2, \beta_3, l_2, l_3, x_0, y_0, z_0)$

En la tabla 5.9 se resume las funciones de transformación homogénea $H_{0,3}$ cinemática directa, cinemática inversa, matriz jacobiano y su determinante del brazo robot en configuración SCARA.

Tabla 5.9 Configuración SCARA

Función	Sintaxis
Matriz de transformación homogénea	$H_{0,3} = H_{SCARA}()$
Cinemática directa	$[x_0, y_0, z_0] = \text{cinematica}_{SCARA}(\beta_1, \beta_2, l_1, l_2, l_3, q_1, q_2, d_3)$
Jacobiano	$J(q_1, q_2, d_3) = \text{jacobiano}_{SCARA}(\beta_1, l_1, q_1, \beta_2, l_2, q_2)$
Determinante del jacobiano	$\det[J(q_1, q_2, d_3)] = \text{detjac}_{SCARA}(\beta_1, l_1, q_1, \beta_2, l_2, q_2)$
Cinemática inversa	$[d_3, q_2, q_1] = \text{cinv}_{SCARA}(\beta_1, \beta_2, l_1, l_2, l_3, x_0, y_0, z_0)$

El conjunto de librerías para la configuración esférica se presenta en la tabla 5.10.

Tabla 5.10 Configuración esférica

Función	Sintaxis
Matriz de transformación homogénea	$H_{0,3} = H_{esferico}()$
Cinemática directa	$[x_0, y_0, z_0] = \text{cinematica}_{esferico}(\beta_1, \beta_2, l_1, q_1, q_2, d_3)$
Jacobiano	$J(q_1, q_2, d_3) = \text{jacobiano}_{esferico}(\beta_1, l_1, q_1, \beta_2, l_2, q_2)$
Determinante del jacobiano	$\det[J(q_1, q_2, d_3)] = \text{detjac}_{esferico}(\beta_1, l_1, q_1, \beta_2, l_2, q_2)$
Cinemática inversa	$[q_1, q_2, d_3] = \text{cinv}_{esferico}(\beta_1, \beta_2, l_1, x_0, y_0, z_0)$

La tabla 5.11 contiene las librerías del brazo robot en configuración cilíndrica.

Tabla 5.11 Configuración cilíndrica

Función	Sintaxis
Matriz de transformación homogénea	$H_0^3 = H_cilindrico()$
Cinemática directa	$[x_0, y_0, z_0] = cinematica_cilindrico(\beta_1, l_1, q_1, d_2, d_3)$
Jacobiano	$J(q_1, q_2, d_3) = jacobiano_cilindrico(\beta_1, l_1, q_1, \beta_2, l_2, q_2)$
Determinante del jacobiano	$det[J(q_1, q_2, d_3)] = detjac_cilindrico(\beta_1, l_1, q_1, \beta_2, l_2, q_2)$
Cinemática inversa	$[q_1, d_2, d_3] = cinv_cilindrico(\beta_1, l_1, x_0, y_0, z_0)$

Para el caso del brazo robot cartesiano, las librerías que corresponde a esta configuración se encuentran en la tabla 5.12. La cinemática directa resulta muy simple debido a que su cinemática es lineal: $[x_0 \ y_0 \ z_0]^T = [d_1 \ d_2 \ d_3]^T$, por lo que el jacobiano es la matriz identidad y su determinante es unitario, es decir: $det[J(d_1, d_2, d_3)] = 1$. La cinemática inversa también es lineal $[d_1 \ d_2 \ d_3]^T = [x_0 \ y_0 \ z_0]^T$.

Tabla 5.12 Configuración cartesiana

Función	Sintaxis
Matriz de transformación homogénea	$H_0^3 = H_cartesiano()$
Cinemática directa	$[x_0, y_0, z_0] = cinematica_cartesiano(d_3, d_2, d_1)$
Cinemática inversa	$[d_3, d_2, d_1] = cinv_cartesiano(x_0, y_0, z_0)$

Parte II: Referencias selectas

Existe una extensa literatura sobre la cinemática directa de robots manipuladores. Particularmente se recomienda al lector la siguiente bibliografía:

-  J. Denavit & R.S. Hartenberg.
"A kinematic notation for lower-pair mechanisms based on matrices".
Trans ASME J. Appl. Mech, 23:215-221,1955
-  R.S. Hartenberg & J. Denavit. "Kinematic synthesis of linkages".
McGraw-Hill, New York, NY, 1964.
-  R.M. Murray, Z. Li and S.S. Sastry.
"A mathematical introduction to robotic manipulation". CRC
Press (1994).
-  Lorenzo Sciavicco & Bruno Siciliano.
"Modeling and control for robot manipulators". McGraw Hill
International Editions. 1996.
-  Mark W. Spong and Seth Hutchinson, M. Vidyasagar.
"Robot modeling and control". John Wiley and Sons, Inc. 2006.
-  John J. Craig. "Robótica". Tercera edición. Pearson Prentice-Hall.
2006.
-  Fernando Reyes. "Robótica: control de robots manipuladores".
Editorial Alfaomega, 2011.



Parte II: Problemas propuestos

En esta sección se presenta una serie de ejercicios con la finalidad de que el lector mejore sus conocimientos sobre métodos numéricos.



Capítulo 3 Preliminares matemáticos

3.1 Considere los siguientes vectores:

$$\mathbf{x} = \begin{bmatrix} x_0 \\ y_0 \\ z_0 \end{bmatrix} \quad \mathbf{y} = \begin{bmatrix} 8 \\ 10.2 \\ 3.12 \end{bmatrix}$$

Realizar un programa en **MATLAB** para obtener:

- La norma euclidiana de cada vector.
- El producto punto: $\mathbf{x} \cdot \mathbf{y}$.
- Calcular el ángulo θ que existe entre los vectores.

Realice la programación considerando variables simbólicas y aspectos numéricos.

3.2 Considere las siguientes coordenadas en el sistema de referencia $\Sigma_0(x_0, y_0, z_0)$

$$\begin{bmatrix} x_0 \\ y_0 \\ z_0 \end{bmatrix} = \begin{bmatrix} 8 \\ 10.2 \\ 3.12 \end{bmatrix}$$

↓

Realizar un programa en **MATLAB** que realice las siguientes rotaciones:

- Alrededor del eje z_0 por un ángulo $\frac{3}{4}\pi$.
- Alrededor del eje x_0 por un ángulo $-\pi$.
- Alrededor del eje y_0 por un ángulo 4π .

Analice y discuta sus resultados.

3.3 Sea $R_y(\theta) \in SO(3)$ una matriz ortogonal donde $\theta \in \mathbb{R}$ es el ángulo de rotación alrededor del eje y . Implementar el código **MATLAB** correspondiente para comprobar las siguientes propiedades (usar programación simbólica y numérica):

(a) $R_y(0) = \mathbf{I}$, $\mathbf{I} \in \mathbb{R}^{3 \times 3}$ es la matriz identidad.

(b) $R_y(\theta)R_y(\beta) = R_y(\beta)R_y(\theta) = R_y(\theta + \beta) = R_y(\beta + \theta)$.

(c) $R_y^{-1}(\theta) = R_y(-\theta)$

(d) $R_{\bar{y}}(\theta) = R_y^{-1}(\theta)$.

(e) $R_y(\theta)R_{\bar{y}}(\theta) = R_{\bar{y}}(\theta)R_y(\theta) = \mathbf{I}$.

(f) $\det[R_y(\theta)] = 1$ si el sistema de referencia $\Sigma_0(x_0, y_0, z_0)$ es seleccionado por la regla de la mano derecha, en otro caso $\det[R_y(\theta)] = -1$

3.4 Describir el significado de una matriz de rotación.

3.5 Describir el significado de una matriz homogénea.

3.6 ¿Cuáles son las principales propiedades de una matriz homogénea?



Capítulo 4 Cinemática

4.1 ¿Cómo define cinemática?

4.2 ¿Qué es cinemática directa?

4.3 ¿Cuáles son las características principales de la cinemática directa?

4.4 ¿Qué es cinemática inversa? Explicar claramente su función principal.

4.5 Explicar el concepto de cinemática diferencial.

4.6 ¿Qué es el jacobiano del robot?

4.7 ¿Cuál es la diferencia que existe entre el jacobiano analítico con el geométrico?

4.8 Explicar el concepto de posición y rotación de robots manipuladores.

- 4.9 Explicar el significado de una singularidad.
- 4.10 Explicar el concepto de posición de casa de un robot manipulador.
- 4.11 ¿Cuál es la diferencia entre rotación y orientación?
- 4.12 ¿Por qué la expresión analítica de la cinemática directa depende de la posición de casa?
- 4.13 ¿Cuáles son los tipos de robots industriales que existen?
- 4.14 Explicar cinco aplicaciones para cada una de las configuraciones: antropomórfica, SCARA, esférica, cilíndrica y cartesiana.
- 4.15 ¿Qué robot representa mayores ventajas?
- 4.16 Desde el punto de vista mecánico, ¿qué tipo de robot presenta mayor complejidad?
- 4.17 Explicar las ventajas que presenta la convención Denavit-Hartenberg.
- 4.18 Describir los parámetros de análisis que presenta la convención Denavit-Hartenberg.
- 4.19 De manera general, se requieren seis coordenadas para posicionar y orientar el extremo final del robot en el espacio tridimensional: ¿Por qué la convención Denavit-Hartenberg sólo utiliza cuatro parámetros?
- 4.20 ¿Cuáles son las principales hipótesis que debe satisfacer la convención Denavit-Hartenberg?



Capítulo 5 Cinemática directa cartesiana

5.1 Considere un sistema mecatrónico denominado centrífuga como el que se muestra en en la figura 5.27.

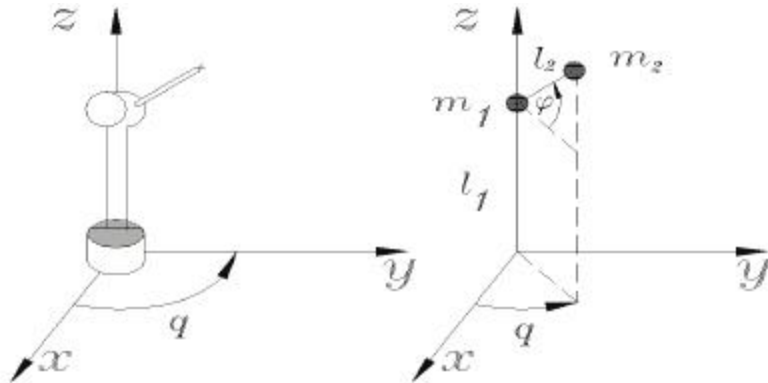


Figura 5.27 Centrífuga.

Obtener:

- (a) La tabla de parámetros DH.
- (b) La matriz homogénea.
- (c) Cinemática directa.
- (d) Cinemática inversa.

Asimismo, realizar un programa que despliegue en forma simbólica los anteriores incisos.

5.2 Considere el robot manipulador en configuración cartesiana. Suponga que se selecciona el sistema de referencia fijo $\Sigma_0(x_0, y_0, z_0)$ de tal forma que el eje z_0 determina el desplazamiento de la variable d_1 como se muestra en la figura 5.28.

Llevar a cabo los pasos necesarios en los respectivos sistemas de referencia $\Sigma_0(x_0, y_0, z_0)$, $\Sigma_1(x_1, y_1, z_1)$, $\Sigma_2(x_2, y_2, z_2)$ para obtener el modelo de cinemática directa. ¿En este caso se requiere un sistema auxiliar $\Sigma_{2a}(x_{2a}, y_{2a}, z_{2a})$?

¿Este procedimiento presenta alguna ventaja con el desarrollado en la sección 5.6 del robot cartesiano?

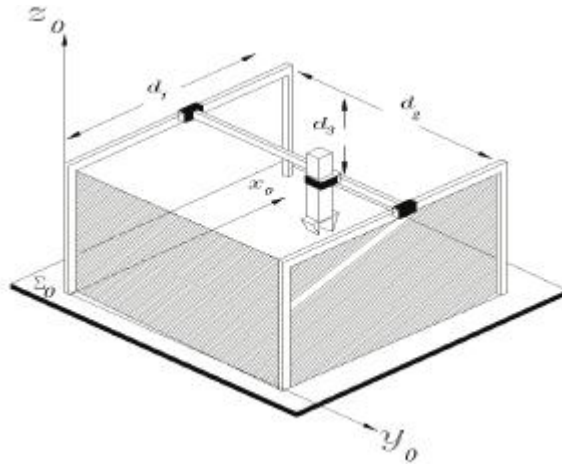


Figura 5.28 Robot cartesiano.

Del procedimiento obtenido, deducir el jacobiano del robot.

- 5.3 Considere un robot industrial en la configuración antropomórfica; desarrolle un programa en **MATLAB** para que el extremo final del robot trace una rosa polar de 12 pétalos con centro en $[0.3, -0.3, 0.5]$ m.
- 5.4 Desarrollar un programa en **MATLAB** para que el extremo final de un brazo robot en la configuración SCARA trace la palabra **ROBOT** en estilo caligráfico. Dicha palabra debería iniciar en las siguientes coordenadas: $[x_0, y_0, z_0]^T = [0.3, 0.5, 0.2]$ m. La longitud y altura de la palabra es propuesta por el usuario.
- 5.5 Desarrollar un programa en **MATLAB** para que el extremo final de un brazo robot en la configuración cilíndrica trace la palabra **HOLA** en estilo italizada. Dicho trazo debería empezar en las siguientes coordenadas: $[x_0, y_0, z_0]^T = [0.4, 0.7, 0.8]$ m.
- 5.6 Desarrollar un programa en **MATLAB** para que el extremo final de un brazo robot en la configuración esférica trace la palabra **HOLA** con tipo de letra romana. Dicha palabra debería comenzar en las siguientes coordenadas: $[x_0, y_0, z_0]^T = [0.35, 0.6, 0.2]$ m.

Parte III

Dinámica

La Dinámica como área de las ciencias exactas permite explicar todos los fenómenos físicos de un sistema mecatrónico o robot manipulador y llevar a cabo procesos de simulación. Bajo esta temática se ubican los objetivos de la **Parte III** compuesta por dos capítulos: **Capítulo 6 Dinámica**, presenta la técnica de simulación para sistemas mecatrónicos y robots manipuladores en base a una ecuación diferencial ordinaria de primer orden descrita por variables de estado; modelos dinámicos de varios sistemas mecatrónicos y robots manipuladores se desarrollan en código fuente para **MATLAB**. La técnica de mínimos cuadrados para obtener el valor numérico de los parámetros del modelo dinámico se detalla en el **Capítulo 7 Identificación paramétrica**.



Capítulo 6 Dinámica presenta la forma de simular modelos dinámicos descritos en variables de estado. Generalmente la mayoría de los sistemas físicos tienen su modelo dinámico con ecuaciones diferenciales de orden mayor o igual a dos en variables físicas o generalizadas. La técnica de simulación consiste en convertir el modelo dinámico a una ecuación diferencial de primer orden mediante un adecuado cambio de variables de estado. Se desarrollan librerías en lenguaje **MATLAB** para simular la dinámica de sistemas mecatrónicos y robots manipuladores.



Capítulo 7 Identificación paramétrica presenta cinco esquemas de regresión lineal para realizar identificación paramétrica de sistemas mecatrónicos y robots manipuladores. Los esquemas de regresión presentados son los modelos: dinámico, dinámico filtrado, energía, potencia y potencia filtrada. La técnica de mínimos cuadrados recursivo es implementada como librería para **MATLAB** cubriendo los casos: escalar y multivariable de sistemas dinámicos.

La Parte III también incluye:



Referencias selectas



Problemas propuestos

6

Capítulo

Dinámica



- 6.1 Introducción
- 6.2 Estructura matemática para simulación
- 6.3 Sistema masa-resorte-amortiguador
- 6.4 Sistema lineal escalar
- 6.5 Centrífuga
- 6.6 Péndulo
- 6.7 Robot de 2 gdl
- 6.8 Robot de 3 gdl
- 6.9 Robot cartesiano de 3 gdl
- 6.10 Resumen

Objetivos

Presentar la técnica de simulación de modelado de robots manipuladores y sistemas mecatrónicos a través de la estructura de ecuación diferencial ordinaria en variables fase.

Objetivos particulares:

-  Estructura matemática fundamental de simulación.
-  Sistema masa resorte amortiguador.
-  Centrífuga.
-  Robot antropomórfico: péndulo, robot de 2 y 3 gdl.
-  Robot cartesiano de 3 gdl.
-  Aplicaciones en control de posición.

6.1 Introducción



Robots manipuladores son sistemas mecánicos muy complejos cuya descripción analítica requiere de ecuaciones diferenciales. La naturaleza no lineal, multivariable y fuerte acoplamiento en su comportamiento dinámico ofrece un amplio espectro en la formulación de problemas de control teóricos y prácticos. El modelo dinámico del robot manipulador permite explicar todos los fenómenos físicos que se encuentran en su estructura mecánica, tales como efectos inerciales, fuerzas centrípetas y de Coriolis, par gravitacional y fricción, los cuales son fenómenos físicos propios de la naturaleza dinámica del robot. Hay varios métodos de modelado de la física como el de Newton o el de Hamilton. Sin embargo, la mejor opción como metodología de modelado la representa las ecuaciones de movimiento de Euler-Lagrange debido a las propiedades matemáticas que se deducen de manera natural, ya que facilitan el análisis y diseño de algoritmos de control.

El modelo dinámico de robots manipuladores es fundamental en aplicaciones de simulación, diseño y construcción del sistema mecánico, así como en análisis y diseño de algoritmos de control. En el área de **simulación** el modelo dinámico es estratégico debido a que puede reproducir todos los fenómenos físicos del robot sin la necesidad de usar un robot real (realidad virtual), y esta característica resulta clave para evaluar algoritmos de control, técnicas de planeación de trayectorias, programación de aplicaciones industriales, etc. La simulación es el empleo del modelo dinámico para analizar y describir su comportamiento dinámico en una computadora o sistema mínimo digital y de ahí inferir aplicaciones. Es importante no confundir simulación con animación, ya que son procesos diferentes; la animación no requiere incorporar efectos dinámicos en el movimiento del robot, generalmente son ecuaciones estáticas como la cinemática directa.

La construcción de un robot se fundamenta en el modelo dinámico; los esquemas y planos de ingeniería de los eslabones se deducen directamente del modelo dinámico y se trasladan a un programa CAD para su maquinado y construcción mecánica. De esta forma, un robot industrial puede ser estudiado y se pueden hacer las adecuaciones pertinentes antes de llegar a la etapa de construcción física.



6.2 Estructura matemática para simulación

La gran mayoría de los sistemas mecánicos contienen como parte del modelo dinámico ecuaciones diferenciales de orden mayor o igual a 2. Sin embargo, para propósitos de simulación es recomendable transformar ese modelo a un sistema dinámico compuesto por una ecuación diferencial ordinaria de primer orden debido a que este tipo de ecuaciones es conocida, está ampliamente documentada y es fácil de programar.

La estructura de una ecuación diferencial ordinaria (ode) de primer orden tiene la siguiente forma:

$$\dot{\mathbf{x}} = \mathbf{f}(\mathbf{x}) \quad (6.1)$$

donde $\mathbf{x} \in \mathbb{R}^n$ se conoce como variable de estado fase, la cual proporciona información interna sobre la dinámica del sistema, es una función continua en el tiempo $\mathbf{x} = \mathbf{x}(t)$, $n \in \mathbb{N}$ es un número natural que indica la dimensión euclidiana, la derivada temporal de la variable de estado $\mathbf{x} \in \mathbb{R}^n$ existe y también es continua en el tiempo $\dot{\mathbf{x}} = \dot{\mathbf{x}}(t)$. La notación $\dot{\mathbf{x}}$ significa $\dot{\mathbf{x}} = \frac{d\mathbf{x}}{dt}$. La función $\mathbf{f} \in \mathbb{R}^n$ es un mapa vectorial continua en la variable de estado $\mathbf{x}(t)$.

La estructura matemática $\dot{\mathbf{x}} = \mathbf{f}(\mathbf{x})$ es para ambos sistemas: lineales y no lineales. La característica de ser lineal o no lineal es referente a la variable de estado. El modelo (6.1) se conoce como sistema dinámico autónomo, debido a que la variable tiempo t se encuentra presente de manera implícita, es decir no aparece como parte de la estructura matemática, se encuentra incluida como parte de las propiedades de la variable de estado $\mathbf{x}(t)$. La gran mayoría de los sistemas mecánicos corresponden a esta forma, sobre todo considerando que no hay variación temporal de sus parámetros, los cuales se consideran constantes al menos en un tiempo suficientemente grande.

De otra manera se tendría como parte de la ecuación (6.1) dependencia explícita del tiempo, es decir $\dot{\mathbf{x}} = \mathbf{f}(\mathbf{x}, t)$; a este tipo de sistemas se les conoce como sistema dinámicos no autónomos, los cuales no son objetos de estudio en la presente obra.

♣ Ejemplo 6.1

Convertir a la forma $\dot{\mathbf{x}} = \mathbf{f}(\mathbf{x})$ el siguiente sistema lineal expresado por la función de transferencia:

$$\frac{y}{u} = \frac{2}{s^2 + 3s + 1}$$

donde $y \in \mathbb{R}$ es la respuesta del sistema, $u \in \mathbb{R}$ es la entrada.

Solución

El concepto de función de transferencia es exclusivo para sistemas lineales, se define como la relación de la salida y la entrada cuando las condiciones iniciales del sistema son cero.

Es necesario aclarar que el término s que aparece en una función de transferencia significa frecuencia y es un número imaginario formado como: $s = j\omega$, siendo ω una variable que indica frecuencia, cuyas unidades son rad/seg. Cuando transformamos la función de transferencia a una ecuación diferencial, entonces s adquiere otra interpretación, en este caso funciona como un operador $s = \frac{d}{dt}$. Bajo este escenario, debe interpretarse que $s^2 = \frac{d^2}{dt^2}$ (teniendo en mente condiciones iniciales cero).

Por lo tanto, el procedimiento para convertir la función de transferencia del sistema a una ecuación diferencial ordinaria de primer orden es el siguiente:

$$\begin{aligned} \frac{y}{u} &= \frac{2}{s^2 + 3s + 1} \Rightarrow s^2 y + 3s y + y = 2u \\ &\Rightarrow \ddot{y} + 3\dot{y} + y = 2u \end{aligned}$$

donde se ha empleado $s^2 y = \ddot{y}$, $s y = \dot{y}$. La notación $y = \frac{dy(t)}{dt}$, $\ddot{y} = \frac{d^2 y(t)}{dt^2}$

Ahora, se requiere un cambio de variable de estado, sea $x_1 = y$, $x_2 = \dot{x}_1$; $\dot{x}_2 = -3x_2 - x_1 + 2u$ entonces:

$$\ddot{y} + 3\dot{y} + y = 2u \Rightarrow \begin{matrix} \dot{x}_2 + 3x_2 + x_1 = 2u \\ \dot{x}_1 = x_2 \end{matrix}$$

$$\frac{d}{dt} \begin{bmatrix} x_1 \\ x_2 \end{bmatrix} = \begin{bmatrix} 0 & 1 \\ -1 & -3 \end{bmatrix} \begin{bmatrix} x_1 \\ x_2 \end{bmatrix} + \begin{bmatrix} 0 \\ 2 \end{bmatrix} u$$

$\mathbf{\dot{x}} \qquad \qquad \mathbf{f(x)}$

donde $\mathbf{x} = [x_1, x_2]^T$.

Cuando la ecuación diferencial original se encuentra en la forma de variables fase $\mathbf{\dot{x}} = \mathbf{f(x)}$, entonces el sistema dinámico (convertido) ya tiene la estructura matemática adecuada para realizar simulación usando la función `ode45(...)`.

♣ Ejemplo 6.2

Convertir a la forma $\mathbf{\dot{x}} = \mathbf{f(x)}$ el siguiente sistema no lineal:

$$\alpha_2 \ddot{y} + \alpha_1 \sin(y) + \alpha_0 \cos(y) = \beta u$$

donde $y \in \mathbb{R}$ es la respuesta del sistema, $u \in \mathbb{R}$ es la entrada, $\alpha_2, \alpha_1, \alpha_0, \beta \in \mathbb{R}^+$.

Solución

La función de transferencia es exclusiva de sistemas lineales, para un sistema no lineal no existe dicho concepto.

La conversión a la forma de ecuación diferencial ordinaria de primer orden en variables fase se realiza de la siguiente forma. Sea $x_1 = y$, $x_2 = \dot{y}$, $\dot{x}_2 = (-\alpha_1 \sin(x_2) - \alpha_0 \cos(x_2) + \beta u) / \alpha_2$. Por lo tanto, la estructura matemática solicitada es:

$$\frac{d}{dt} \begin{bmatrix} x_1 \\ x_2 \end{bmatrix} = \begin{bmatrix} x_2 \\ \frac{1}{\alpha_2} [\beta u - \alpha_1 \sin(x_2) - \alpha_0 \cos(x_2)] \end{bmatrix}$$

$\mathbf{\dot{x}} \qquad \qquad \mathbf{f(x)}$

6.3 Sistema masa-resorte-amortiguador

Uno de los sistemas mecánicos típicos que ha sido estudiado ampliamente en cursos de control automático de las carreras de ingeniería mecánica y electrónica es el sistema masa resorte amortiguador. La importancia de este sistema radica en comprender su comportamiento dinámico para entender el funcionamiento cualitativo de otros sistemas, por ejemplo: circuitos eléctricos (resistencia, capacitor, inductancia), esquemas de control (algoritmo proporcional derivativo de robots manipuladores).

Considere un sistema dinámico como el que se muestra en la figura 6.1, formado por una masa m que se encuentra unida a un resorte de rigidez k y constante de amortiguamiento b debido a la viscosidad del medio ambiente. La entrada está especificada por una fuerza f y el desplazamiento de la masa por x .



Figura 6.1 Sistema masa resorte amortiguador.

El modelo dinámico que describe al sistema masa resorte amortiguador se encuentra dado por:

$$f = m\ddot{x} + b\dot{x} + kx$$

Fuerza externa
Fuerza inercial
Fricción viscosa
Ley de Hooke

La función de transferencia del sistema masa resorte amortiguador está dada por:

$$\frac{x}{f} = \frac{1}{ms^2 + bs + k} \quad (6.2)$$

la ecuación característica de los polos del sistema está dada por

$$-b \pm \sqrt{\frac{b^2 - 4mk}{2k}} \quad (6.3)$$

El sistema masa resorte amortiguador oscilará cuando se cumpla $(b^2 - 4mk) < 0$, y será amortiguado si $(b^2 - 4mk) > 0$.

La conversión de la ecuación (6.2) a una ecuación diferencial ordinaria de primer orden en variables fase $\mathbf{x} = [x, \dot{x}]^T$ se realiza de la siguiente forma:

$$\frac{d}{dt} \begin{bmatrix} x \\ \dot{x} \end{bmatrix} = \begin{bmatrix} \dot{x} \\ m^{-1} [f - b\dot{x} - kx] \end{bmatrix} \quad (6.4)$$

\mathbf{x} $\mathbf{f}(\mathbf{x})$

♣ Ejemplo 6.3

Considere el modelo dinámico del sistema masa resorte amortiguador (6.4) utilizando los valores numéricos de los parámetros del sistema de la tabla 6.1. Realizar un programa en **MATLAB** para graficar el desplazamiento lineal x y la velocidad de la masa cuando se le aplica una fuerza constante $f = 50\text{N}$ durante 5 segundos y después de este tiempo desaparece la fuerza aplicada.

Tabla 6.1 Parámetros del sistema masa resorte amortiguador

Masa	Fricción viscosa	Rigidez
$m=5 \text{ kg}$	$b=0.16 \text{ kg/seg}$	$k=0.6 \text{ kg/seg}^2$

Solución

El programa en código **MATLAB** que contiene el modelo dinámico del sistema masa resorte amortiguador (6.4) se describe en el cuadro 6.2. En este programa la variable `x_mra` representa el desplazamiento lineal que tiene de la masa al aplicarse una fuerza constante de 5N durante 5 segundos. Por medio del programa 6.1 se realiza la simulación del sistema.

En la figura 6.2 (modo oscilatorio) se muestra el desplazamiento lineal `x_mra` y la velocidad de movimiento `xp_mra` que tiene la masa. Por los valores que presentan en la tabla 6.1 el sistema masa resorte amortiguador satisface la condición $(b^2 - 4mk) < 0$ de la ecuación (6.3) que corresponde a un oscilador, por eso cuando

desaparece la fuerza constante después de 5 segundos el sistema se queda oscilando permanentemente (el tiempo de simulación es de 100 segundos).

En realidad el sistema masa resorte amortiguador cuando se encuentra en la configuración de oscilador debido a los valores numéricos de sus parámetros, el sistema empezaría a oscilar con una condición diferente a cero, independientemente de la magnitud de la fuerza aplicada.

Ahora, supóngase que los valores de los parámetros son: $m=5$ kg, la constante de rigidez del resorte $k = 2$ kg/seg² y el coeficiente de fricción viscosa $b = 4$ Kg/seg; con estos valores se configura el sistema masa resorte amortiguador en modo amortiguado de tal forma que en la ecuación (6.3) satisface $(b^2 - 4mk) > 0$, es decir el factor de amortiguamiento es adecuado para evitar oscilaciones y grandes sobre impulsos en la respuesta transitoria.

La figura 6.2 muestra la simulación en modo amortiguado. Únicamente, durante los primeros 5 segundos se le aplica la fuerza de $f = 5$ N. Después de este transitorio la masa regresa a su posición inicial, restableciéndose la elongación del resorte y desapareciendo el efecto de amortiguamiento. Obsérvese que cuando desaparece la fuerza constante, la posición del sistema es atraída por el punto de equilibrio, quedando en reposo.



Código Fuente 6.1 Simulador de smr.m

%MATLAB Aplicado a Robótica y Mecatrónica.

%Editorial Alfaomega, Fernando Reyes Cortés

%Capítulo 4 Dinámica. Programa smr simu.m

Simulador de smr.m

```

1 clc; clear all; close all; format short
2 %parámetros de simulación
3 ti=0; h=0.0025; tf = 100; ts=ti:h:tf;
4 opciones=odeset('RelTol',1e-3,'InitialStep', 2.5e-3, 'MaxStep',2.5e-3);
5 [t,x]=ode45('mra',ts,[0; 0],opciones);
6 plot(t,x(:,1),t,x(:,2))

```



Código Fuente 6.2 Sistema masa resorte amortiguador

%MATLAB Aplicado a Robótica y Mecatrónica.

%Editorial Alfaomega, Fernando Reyes Cortés

%Capítulo 4 Dinámica. Programa mra.m

%requiere del programa mra simu.m

Sistema masa resorte amortiguador

```

1 function xp =mra(t,x)
2     %vector de estados
3     %posición articular
4     x_mra=x(1);
5     %velocidad articular
6     xp_mra=x(2);
7     %parámetros del sistema masa resorte amortiguador
8     %masa
9     m=5;
10    %constante de rigidez del resorte
11    k=0.6;
12    %amortiguamiento: coeficiente de fricción viscosa
13    b=0.16;
14    %fuerza aplicada durante 5 segundos
15    if (t<5)
16        f=5;
17    else
18        f=0;
19    end
20    %aceleración del sistema masa resorte amortiguador
21    xpp_mra=(f-b*xp_mra-k*x_mra)/m;
22    %vector de salida
23    xp=[ xp_mra ; %velocidad articular
24        xpp_mra] ; %aceleración articular
25 end

```

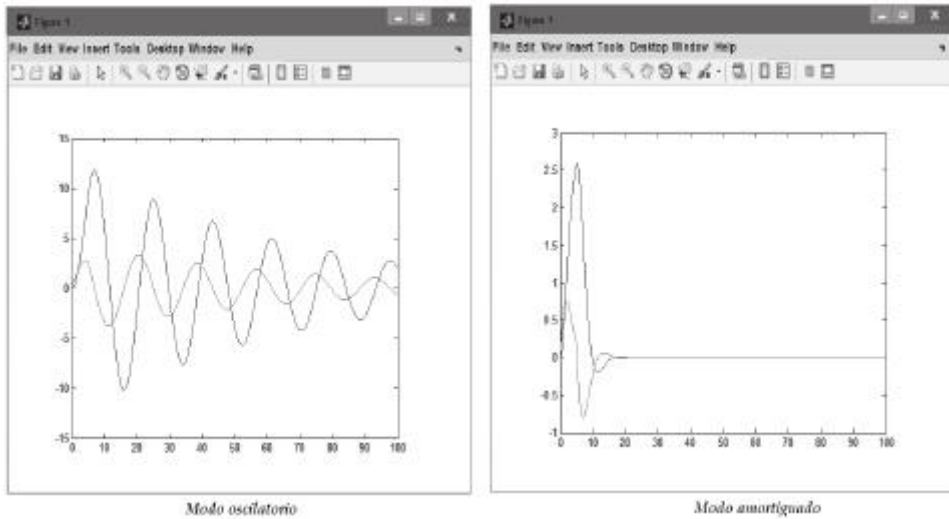


Figura 6.2 Respuesta del sistema masa resorte amortiguador.

6.4 Sistema lineal escalar

Sistemas lineales se utilizan ampliamente como estimadores de velocidad, filtrado en robots manipuladores y sistemas mecatrónicos. La estructura matemática básica de un sistema lineal escalar de primer orden en variables fase está dada por:

$$\dot{x} = -ax + bu \quad (6.5)$$

$$y = cx \quad (6.6)$$

donde $a, b, c \in \mathbb{R}_+$ son los parámetros del sistema, $x, x' \in \mathbb{R}$ son la variable de estado y la derivada temporal de la variable de estado, respectivamente; la entrada es $u \in \mathbb{R}$ y la salida del sistema está dada por $y \in \mathbb{R}$.

La función de transferencia del sistema lineal (6.5)-(6.6) tiene la siguiente forma:

$$\underline{y} = \frac{cb}{s+a} = cb \frac{1}{as+1} = c \frac{b}{a} \frac{1}{Ts+1} \quad (6.7)$$

donde $T = \frac{1}{a}$, se conoce como la constante de tiempo. Para una constante de tiempo

pequeña la respuesta del sistema es rápida, de otra manera si la constante de tiempo es grande, la respuesta del sistema es lenta.

Por otro lado, la función de transferencia representa un filtro pasa-bajas, donde a significa la frecuencia de corte, también determina el ancho de banda del filtro y a es la ganancia (frecuencia cero).



Estimador de velocidad y filtrado

Entre las aplicaciones del sistema lineal (6.5)-(6.6) se encuentra como estimador de velocidad y filtrado para robots manipuladores y sistemas mecatrónicos. Por ejemplo, si q_i representa la i -ésima posición articular de un robot, la manera de estimar la i -ésima velocidad \dot{q}_i es por medio de la siguiente forma:

$$\dot{q}_i \approx \hat{F}_i = -\lambda F_i + \lambda q_i \quad (6.8)$$

donde λ es la frecuencia de corte del filtro de ganancia unitaria, F_i es i -ésimo estado del filtro, representa la señal filtrada de la entrada (q_i), y \hat{F}_i es la estimación de la velocidad \dot{q}_i .

Para comprobar la afirmación que F_i representa la señal filtrada de q_i , considere la función de transferencia de (6.8):

$$F_i = \frac{\lambda}{\lambda + s} q_i \quad (6.9)$$

observe que la señal de entrada q_i es procesada por el filtro pasa bajas $\frac{\lambda}{\lambda + s}$

Además, la derivada temporal de la señal filtrada de la entrada q_i aproxima a la derivada temporal de q_i (velocidad), es decir $\dot{q}_i \approx \hat{F}_i$; este procedimiento es válido para cualquier articulación del robot.

♣ Ejemplo 6.4

Escribir un programa en **MATLAB** para analizar la respuesta del sistema lineal (6.5)-(6.6) para una entrada unitaria $u = 1$.

Solución

El programa que realiza la implementación del sistema lineal escalar de primer orden (6.5-6.6) se encuentra en el cuadro 6.3. La señal de entrada u es una constante de magnitud unitaria. El programa principal que realiza la simulación se encuentra en el cuadro 6.4. El tiempo de simulación es de 5 segundos y la respuesta a la entrada unitaria no contiene sobre impulsos en régimen transitorio tal y como se describe en la figura 6.3. Dentro de las características en la respuesta a un escalón o entrada constante de un sistema lineal, el transitorio no presentaría sobre impulsos y de manera suave convergería al valor de la entrada. En la primera constante de tiempo τ , la respuesta ha alcanzado el 63.2% del valor de la magnitud de la entrada u . Para este ejemplo la constante de tiempo es $\tau = \frac{1}{3} = 0.3333$ segundos, en la segunda constante de tiempo 2τ la respuesta del sistema ha alcanzado el 86.5% del valor final.



Código Fuente 6.3 Sistema lineal escalar

%MATLAB Aplicado a Robótica y Mecatrónica.

%Editorial Alfaomega, Fernando Reyes Cortés

%Capítulo 4 Dinámica. Programa sle.m

Sistema lineal escalar

```

1 function xp = sle(t,x)
2     a=3;
3     b=3;
4     u=1;
5     xp=-a*x+b*u;
6 end

```

Para las constantes de tiempo $3T$, $4T$ y $5T$ la respuesta tiene 95%, 98.2% y 99.3% del valor final, respectivamente. Para finalidades prácticas después de $5T$, se puede decir que el sistema ha entrado en estado estacionario.

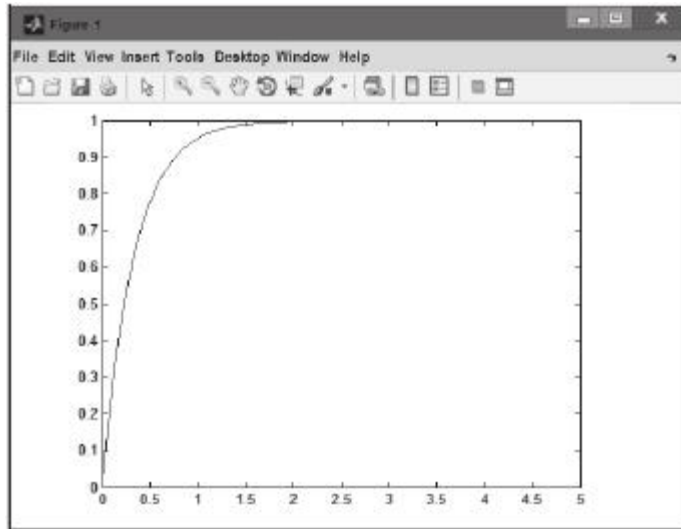


Figura 6.3 Respuesta a un escalón del sistema lineal escalar.



Código Fuente 6.4 sle_simu

```
%MATLAB Aplicado a Robótica y Mecatrónica.
%Editorial Alfaomega, Fernando Reyes Cortés
%Capítulo 4 Dinámica. Programa sle_simu.m
% este programa requiere del archivo: sle.m
sle_simu
1 clc; clear all; close all;
2 format short
3 %tiempo de simulación (segundos)
4 ti=0; h=0.0025; tf = 5;
5 ts=ti:h:tf;%vector tiempo
6 opciones=odeset('RelTol',1e-3,'InitialStep',2.5e-3,'MaxStep',2.5e-3);
7 [t,x]=ode45('sle',ts,0,options);
8 plot(t,x)
```

♣ Ejemplo 6.5

Escribir un programa en **MATLAB** para que un sistema lineal escalar realice el filtrado de una señal contaminada con ruido $u = 5 \sin(t) + \text{ruido}(t)$.

Solución

Considere una señal $u(t)$ con una envolvente de ruido de la siguiente forma: $u = 5 \sin(t) + \text{random}(\text{'Normal'}, t, t)$, se empleará el sistema lineal $\dot{x} = -3x + 3u(t)$ para obtener la señal filtrada de la entrada $u(t)$. El programa que implementa la función filtro a través de un sistema lineal se encuentra en el cuadro 6.5. Como generador de ruido se emplea la función de datos aleatorios `random` utilizando distribución 'Normal' de datos, la cual se añade a la función senoidal $5 \sin(t)$.

El programa principal que realiza la simulación se encuentra en el cuadro 6.6, en la línea 7 se resuelve numéricamente el filtro, en la línea 8 se reproduce la señal de entrada contaminada, y se compara con la señal libre de ruido contenida en la variable $x(t)$ (líneas 8 y 9). La figura 6.4 muestra la comparación entre la señal original u con ruido y filtrada (figura izquierda).



Código Fuente 6.5 Aplicación filtrado

```
%MATLAB Aplicado a Robótica y Mecatrónica.
%Editorial Alfaomega, Fernando Reyes Cortés
%Capítulo 4 Dinámica. Programa filtro.m
```

```
Aplicación filtrado
```

```
1 function xp=filtro(t,x)
2     u=5*sin(t)+random('Normal',t,t);
3     a=3;
4     b=3;
5     xp=-a*x+b*u;
6 end
```

En la gráfica derecha de la figura 6.4 se presentan los detalles de la señal filtrada; observe que esta señal está restaurada lo mejor posible después de haber sido contaminada con ruido. El filtro tiene un parámetro de sintonía llamado frecuencia de corte, que en este caso es $\omega_c = 3\text{rad/seg}$. Este parámetro puede adquirir otro valor para mejorar la calidad de filtrado de la señal de entrada u .

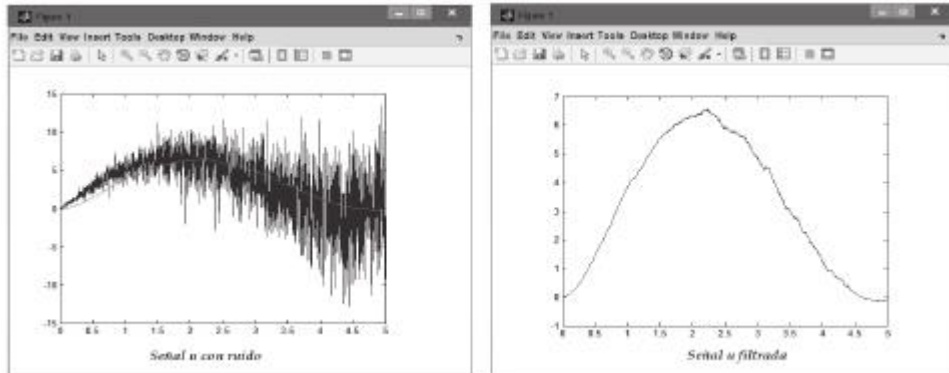


Figura 6.4 Filtrado de señales.



Código Fuente 6.6 sle_simu

%MATLAB Aplicado a Robótica y Mecatrónica.
 %Editorial Alfaomega, Fernando Reyes Cortés
 %Capítulo 4 Dinámica. Programa sle_simu.m
 % este programa requiere del archivo: filtro.m

sle_simu

```

1 clc; clear all; close all;
2 format short
3 %tiempo de simulación (segundos)
4 ti=0; h=0.0025; tf = 5;
5 ts=ti:h:tf; %vector tiempo
6 opciones=odeset('RelTol',1e-3,'InitialStep',2.5e-3,'MaxStep',2.5e-3);
7 [t,x]=ode45('filtro',ts,0,opciones);
8 u=5*sin(t)+random('Normal',t,t);
9 subplot(2,2,1); plot(t,u)
10 subplot(2,2,2); plot(t,x)

```

6.5 Centrífuga

La centrífuga es un sistema mecatrónico que se describe en la figura 6.5, el cual consta de un servomotor que gira alrededor del eje z_0 , el ángulo de rotación está descrito por la variable q_1 . La distancia del origen del sistema de referencia fijo $\Sigma_0(x_0, y_0, z_0)$ al extremo final está representado por $l_1 + l_2 \sin(\delta)$, donde l_1 es la longitud del servomotor más la longitud del rotor, l_2 es la longitud de la barra metálica que se encuentra acoplada al rotor, y δ es un ángulo constante que significa la inclinación de la barra l_2 con respecto a la horizontal, l_{c2} representa el centro de masa y el momento de inercia I del servomotor de la centrífuga. El movimiento rotatorio de la centrífuga describe un círculo sobre el plano $x_0 - y_0$. La acción de la gravedad g se encuentra en dirección contraria al eje z_0 .

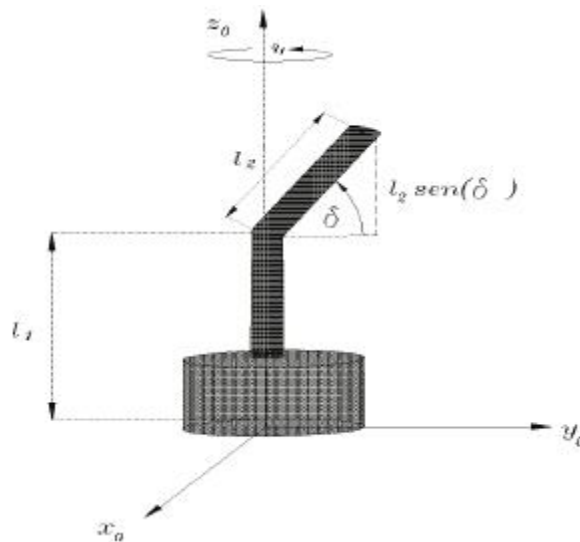


Figura 6.5 Centrífuga.

El modelo dinámico de una centrífuga es una ecuación diferencial de segundo orden expresada de la siguiente manera:

$$\tau = [ml_{c2}^2 \sin(\delta) + I_{sm}] \ddot{q} + b\dot{q} + f_c \text{signo}(q) + f_e [1 - |\text{signo}(q)|] \quad (6.10)$$

La ecuación (6.10) puede ser convertida a una ecuación diferencial ordinaria de

primer orden de la forma $\dot{\mathbf{x}} = \mathbf{f}(\mathbf{x})$, a través de la siguiente expresión:

$$\frac{d}{dt} \begin{matrix} q^1 \\ \dot{q}^1 \end{matrix} = \frac{\begin{matrix} \dot{q}^1 \\ [m_1 l_2^2 \sin(\delta) + I_{sm}]^{-1} [\tau_1 - b_1 \dot{q} - f_{c1} \text{signo}(q^1) - f_{e1} [1 - |\text{signo}(q^1)|]] \end{matrix}}{\mathbf{x}} \quad \mathbf{f}(\mathbf{x}) \quad (6.11)$$

🔧 Ejemplo 6.6

Considere el modelo dinámico de la centrífuga expresado como una ecuación diferencial de primer orden (6.11). Tomar en cuenta los valores numéricos de los parámetros de la centrífuga que aparecen en la tabla 6.2. Realizar un programa en **MATLAB** para que la centrífuga gire a una revolución por segundo en ambos sentidos (positivo/negativo).

Tabla 6.2 Parámetros de la centrífuga

Masa de la centrífuga	Fricción viscosa	Fricción de Coulomb	Fricción estática
$m_1 = 5 \text{ kg}$	$b_1 = 0.12 \text{ Nm-seg/rad}$	$f_{c1} = 0.11 \text{ Nm}$	$f_{e1} = 0.09 \text{ Nm}$
Centro de masa de la barra	Longitud de la barra	Momento de inercia del rotor	Ángulo de inclinación de la barra
$l_{c2} = 0.01 \text{ m}$	$l_2 = 0.15 \text{ m}$	$I_{sm} = 0.08 \text{ Nm-seg}^2/\text{rad}$	$\delta = \frac{45\pi}{180} \text{ rad}$

Solución

El modelo numérico se obtiene combinando el modelo dinámico (6.11) con los valores numéricos de los parámetros de la centrífuga contenidos en la tabla 6.2.

$$\frac{d}{dt} \begin{matrix} q^1 \\ \dot{q}^1 \end{matrix} = \begin{matrix} \dot{q}^1 \\ 1 \end{matrix} \quad (6.12)$$

para lograr que el sistema mecatrónico oscile en ambos sentidos a una revolución por segundo (360 grados/seg), se requiere que su movimiento sea generado por una

energía tipo senoidal. Es decir, al servomotor se le aplica una energía de la forma $\tau_1 = 2 \sin(t)$, para generar un movimiento cíclico. Con este tipo de energía la centrífuga funciona como una lavadora; cuando se requiera implementar la función centrifugado, entonces el tipo de energía aplicada al servomotor es a través de un par constante.

El programa `centrifuga.m` 6.7 contiene el modelo dinámico de la centrífuga con los parámetros de la tabla 6.2. La ecuación programada corresponde a la estructura de variables de estados de los modelos 6.11 o 6.12. El programa principal `centrifuga_simu` 6.8 realiza la solución numérica del modelo dinámico de la centrífuga usando el método de integración numérica de Runge-Kutta de la función `ode45(...)`.



Código Fuente 6.7 centrifuga

%MATLAB Aplicado a Robótica y Mecatrónica.
 %Editorial Alfaomega, Fernando Reyes Cortés
 %Capítulo 4 Dinámica. Programa `centrifuga.m`

`centrifuga`

```

1 function xp = centrifuga( t,x)
2     m1=5;%masa de la centrífuga
3     lc2=0.01;% centro de masa de la barra inclinada
4     delta=45*pi/180; %ángulo de inclinación de la barra l2
5     l_sm=0.08;% momento de inercia del rotor del servomotor
6     b1=0.12; fc1=0.11; fe1=0.09;%coeficientes de fricción
7     q1=x(1); % posición articular
8     qp1=x(2); % velocidad articular
9     tau=2*sin(t); % energía aplicada al servomotor
10    %aceleración rotacional de la centrífuga
11    qpp1=(tau1-b1*qp1-fc1*sign(qp1)-fe1*(1-abs(sign(qp1))))/
        (m1*lc2*lc2*sin(delta)+l_sm);
12    xp=[ qp1; qpp1 ]; % vector de salida
13 end

```



Código Fuente 6.8 centrifuga simu

```
%MATLAB Aplicado a Robótica y Mecatrónica.
%Editorial Alfaomega, Fernando Reyes Cortés
%Capítulo 4 Dinámica. Programa centrifuga simu.m
% este programa requiere del archivo: centrifuga.m
centrifuga_simu

1 clc; clear all; close all;
2 format short
3 %tiempo de simulación (segundos)
4 ti=0; h=0.0025; tf = 10;
5 ts=ti:h:tf;%vector tiempo
6 opciones=odeset('RelTol',1e-3,'InitialStep',2.5e-3,'MaxStep',2.5e-3);
7 %integración numérica del modelo dinámico de la centrífuga
8 [t,x]=ode45('centrifuga',ts,[0; 0],opciones);
9 %graficar variable articular de la posición  $q_1 = x(:, 1)$ 
10 %la velocidad de movimiento está dada por  $q_1' = x(:, 2)$ 
11 plot(t,x(:,1),t,x(:,2))
```

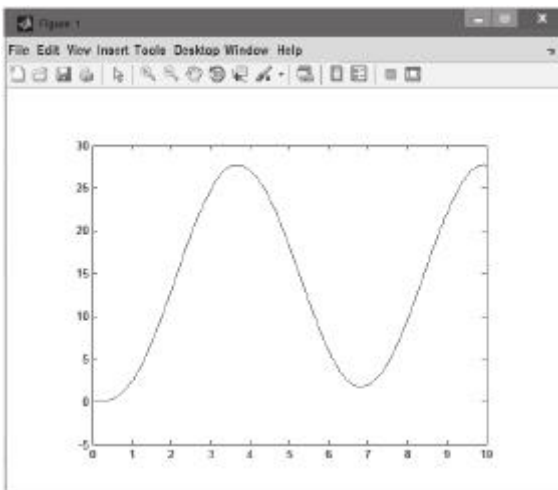


Figura 6.6 Movimiento de la centrífuga.

La figura 6.6 describe la forma de desplazamiento rotacional que tiene la variable articular q_1 cuando se aplica energía de la forma $\tau_1 = 2 \sin(t)$, el movimiento de la centrífuga es oscilatorio; este es el principio básico de funcionamiento de las lavadoras. Con el tipo de energía senoidal aplicada al servomotor, la centrífuga gira 360 grados por segundo alrededor del eje z_0 , cambiando su sentido de giro cada periodo $t = 6.28$ segundos.

6.6 Péndulo

Actualmente el péndulo es una planta de estudio vigente debido a su dinámica no lineal y sus aplicaciones prácticas, lo que lo convierte en un sistema clave para propósitos de investigación científica, y en docencia representa una herramienta pedagógica muy útil para la enseñanza de la dinámica de sistemas. La figura 6.7 muestra un péndulo robot el cual está formado por un servomotor y una barra metálica de longitud l_1 . El sistema de referencia se elige de tal manera que el eje z_0 coincida con el eje de rotación del servomotor (perpendicular al plano de la hoja). La acción de la gravedad g está dirigida en dirección del eje y_0 negativo. El momento de inercia se denota por I_{sm} , el centro de masa se representa como I_{c1} y la masa del péndulo por m_1 .

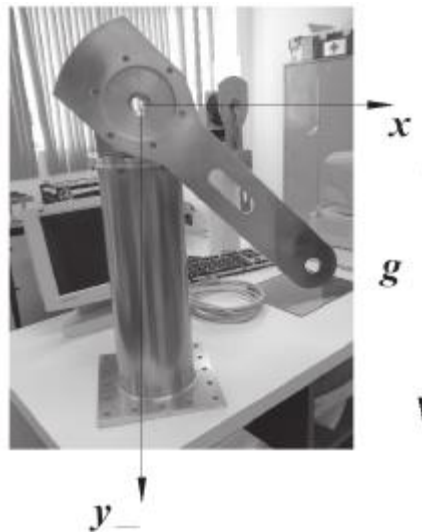


Figura 6.7 Péndulo robot.

El modelo dinámico de un péndulo-robot está dado por:

$$\tau = [ml_c^2 + I] \ddot{q} + mgl_c \sin(q) + bq + f_c \text{signo}(\dot{q}) + f_e [1 - |\text{signo}(\dot{q})|] \quad (6.13)$$

♣ Ejemplo 6.7

Considere el modelo dinámico del péndulo (6.13) y realice un programa en lenguaje **MATLAB** para describir los fenómenos físicos del sistema. Para llevar a cabo la simulación, considere los valores numéricos de los parámetros del péndulo que presenta la tabla 6.3.

Solución

El péndulo robot prototipo de la figura 6.7 tiene un servomotor de transmisión directa con un torque máximo de 15Nm (± 15 Nm para el primer y tercer cuadrante, respectivamente). La longitud de la barra l_1 es de 0.45m, los valores numéricos de los parámetros que forman el modelo dinámico como el momento de inercia, centro de gravedad, coeficientes de fricción viscosa, Coulomb y estática están concentrados en la tabla 6.3.

Tabla 6.3 Parámetros del péndulo robot

Masa	Fricción viscosa	Fricción de Coulomb	Fricción estática
$m_1=3.88$ kg	$b_1=0.16$ Nm-seg/rad	$f_{c1}=0.19$ Nm	$f_{e1}=0.20$ Nm
Centro de masa	Longitud	Mom. de inercia del rotor	Cap. del servomotor
$l_{c1}=0.081$ m	$l_1=0.45$ m	$I_{r1}=0.16$ Nm-seg ² /rad	± 15 Nm

La masa m_1 del péndulo incluye la masa de la barra, rotor del servomotor y tornillos. El centro de masa l_{c1} del péndulo se calcula de la siguiente manera:

$$l_{c1} = \frac{I_{\text{rotor}} m_{\text{rotor}} + I_{\text{barra}} m_{\text{barra}} + I_{\text{tornillos}} m_{\text{tornillos}}}{m_{\text{rotor}} + m_{\text{barra}} + m_{\text{tornillos}}}$$

El centro de masa del rotor I_{rotor} es cero debido a las propiedades geométricas del servomotor, y además el origen del sistema de referencia $\Sigma_0(x_0, y_0, z_0)$ se coloca en el centro de masa I_{rotor} . Los tornillos sujetan la barra metálica de aluminio al rotor del servomotor; estos tornillos se encuentran igualmente espaciados sobre una circunferencia cuyo centro pasa el eje de rotación, el cual está alineado con el eje z_0 . Por lo tanto, el centro de masa de los tornillos $I_{\text{tornillos}}$ es cero. El momento de

inercia del péndulo I_1 es igual a la contribución del momento de inercia del rotor del servomotor I_{r1} más el momento de inercia de la barra de aluminio $m_1 l^2_{1c}$ (teorema de ejes paralelos de inercias).

Los programas 6.9 y 6.10 realizan la simulación del péndulo. La energía aplicada al servomotor del péndulo es tipo senoidal, por ejemplo de la forma $\tau_1 = \sin(t)$, donde t es la evolución del tiempo. Este tipo de torque produce un movimiento oscilatorio en su espacio de trabajo sobre el plano $x_0 - y_0$, entonces se genera desplazamiento rotacional q_1 alrededor del eje z_0 y velocidad de movimiento articular \dot{q}_1 ; con estas variables es posible obtener la dinámica del péndulo tales como efector inercial ($I_1 \ddot{q}$) fricción ($b_1 \dot{q}_1 + f_{c1} \text{signo}(\dot{q}_1)$) y par gravitacional ($m_1 g l c_1 \sin(q_1)$).

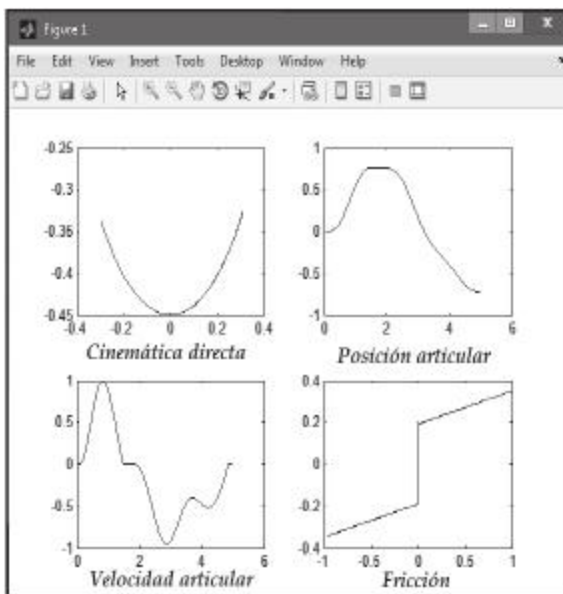


Figura 6.8 Respuesta del péndulo.

La figura 6.8 muestra la respuesta del péndulo robot a una señal de entrada $\tau_1 = \sin(t)$; se emplea la cinemática directa del péndulo (y_0 vs x_0) para graficar el desplazamiento del extremo final del robot en su espacio de trabajo. En este caso, la posición de casa del péndulo se ubica sobre el eje y_0 . La posición articular en función del tiempo $q_1(t)$ toma un perfil parecido a la señal de entrada $\tau_1(t)$; la variable articular $\dot{q}_1(t)$ representa la velocidad de movimiento, y adquiere magnitudes de 0.5 rad/seg (90 grados/seg) en ambas direcciones (positivo/negativo).

El fenómeno de fricción viscosa y de Coulomb se grafica en función de la velocidad de movimiento (fricción vs velocidad \dot{q}_1); note que dicho fenómeno disipativo se encuentra ubicado dentro del primer y tercer cuadrante. La magnitud que alcanza el fenómeno de fricción es de 0.4 Nm, que representa el 2.6% de la capacidad máxima del servomotor. El fenómeno de fricción convierte la energía cinética en energía térmica.



Código Fuente 6.9 Péndulo

```
%MATLAB Aplicado a Robótica y Mecatrónica.
%Editorial Alfaomega, Fernando Reyes Cortés
%Capítulo 4 Dinámica. Programa pendulo.m
% este programa requiere del archivo pendulo simu.m
```

Péndulo

```
1 function xp =pendulo(t,x)
2     %vector de estados
3     q1=x(1);%posición articular
4     qp1=x(2);%velocidad articular
5     %parámetros del péndulo
6     m1=3.88;%masa
7     lc1=0.081;%centro de masa
8     g=9.81;%constante de aceleración gravitacional
9     I_r1=0.16;%momento de inercia del rotor
10    %momento de inercial total del péndulo
11    I1=m1*lc1*lc1+I_r1;
12    %fricción del péndulo
13    b1=0.16;%coeficiente de fricción viscosa
14    fc1=0.19;%fricción de Coulomb
15    fe1=0.2;%fricción de estática
16    %par aplicado al servomotor del péndulo
17    tau1=sin(t);
18    %aceleración articular del péndulo
19    qpp1=(tau1-b1*qp1-fc1*sign(qp1)- fe1*(1-abs(sign(qp1))))-m1*g*lc1*sin(q1)
    /gamma1;
20    %vector de salida
21    xp=[ qp1 ; %xp(1)=qp1=x(2) velocidad articular
22        qpp1] ;%xp(2)=qpp1 aceleración articular
23 end
```



Código Fuente 6.10 péndulo simu

%MATLAB Aplicado a Robótica y Mecatrónica.

%Editorial Alfaomega, Fernando Reyes Cortés.

%Capítulo 7 Identificación paramétrica.

péndulo_simu

```

1 clear; close all;
2 clc;
3 format short g
4 x0=[0; 0]; %condición inicial
5 ti=0; h=0.0025; tf = 5; %tiempo de simulación
6 ts=ti:h:tf; %vector de tiempo
7 opciones=odeset('RelTol',1e-3,'InitialStep',2.5e-3,'MaxStep',2.5e-3);
8 %simulación del péndulo robot
9 [t, x]=ode45('pendulo',[ti:0.01:tf], x0,opciones);
10 %asignación de posiciones y velocidades articulares
11 q1 =x(:,1); %Posición articular
12 qp1=x(:,2); %Velocidad articular
13 %cinemática directa del péndulo
14 %posición de casa sobre el eje y0_
15 x_ef=0.45*sin(q1);
16 y_ef=-0.45*cos(q1);
17 %fenómeno de fricción
18 b1=0.16; %coeficiente de fricción viscosa
19 fc1=0.19; %fricción de Coulomb
20 fe1=0.20; %fricción estática
21 friccion=b1*qp1+fc1*sign(qp1)+fe1*(1-abs(sign(qp1)));
22 %gráficas de cinemática directa, posición, velocidad, y fricción, respectivamente.
23 subplot(2,2,1); plot(x_ef,y_ef)
24 subplot(2,2,2); plot(t,q1)
25 subplot(2,2,3); plot(t,qp1)
26 subplot(2,2,3); plot(qp,friccion)

```

▶ 6.7 Robot de 2 gdl

Robots manipuladores de 2 gdl tienen amplias aplicaciones sobre el plano $x_0 - y_0$: pintado de objetos, ensamble, estibado, etc. Considere el robot manipulador de 2 gdl que se muestra en la figura 6.9.

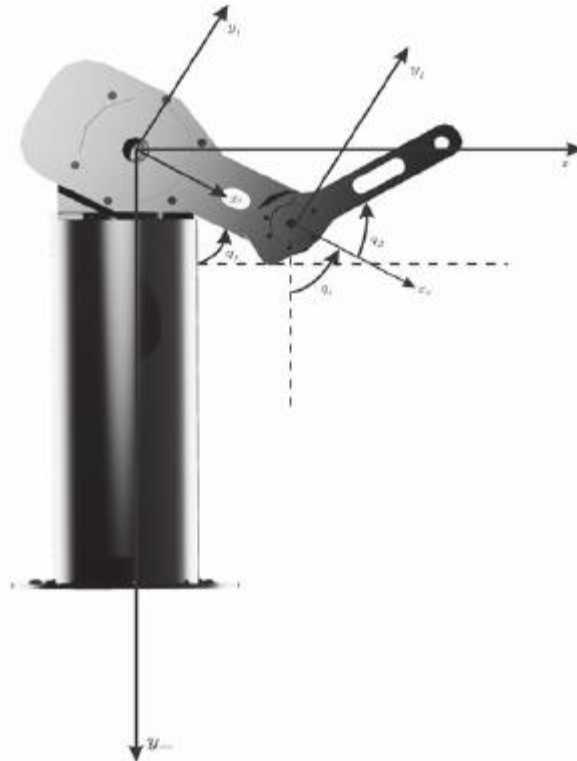


Figura 6.9 Robot manipulador de 2 gdl.

El modelo dinámico de un robot manipulador antropomórfico de 2 gdl está dado por la siguiente expresión:

$$\begin{aligned} \boldsymbol{\tau} &= \mathbf{M}(\mathbf{q})\ddot{\mathbf{q}} + \mathbf{C}(\mathbf{q}, \dot{\mathbf{q}})\dot{\mathbf{q}} + \mathbf{g}(\mathbf{q}) + \mathbf{f}_f(\mathbf{q}, \dot{\mathbf{q}}) \\ &= \frac{m_1 l_{c1}^2 + m_2 l_1^2 + m_2 l_2^2 + 2m_2 l_1 l_{c2} \cos(q_2) + I_1 + I_2}{m_2 l_{c2}^2 + m_2 l_1 l_{c2} \cos(q_2) + I_2} \ddot{q}_1 + \frac{m_2 l_2^2 + m_2 l_1 l_{c2} \cos(q_2) + I_2}{m_2 l_{c2}^2 + I_2} \ddot{q}_2 \end{aligned}$$

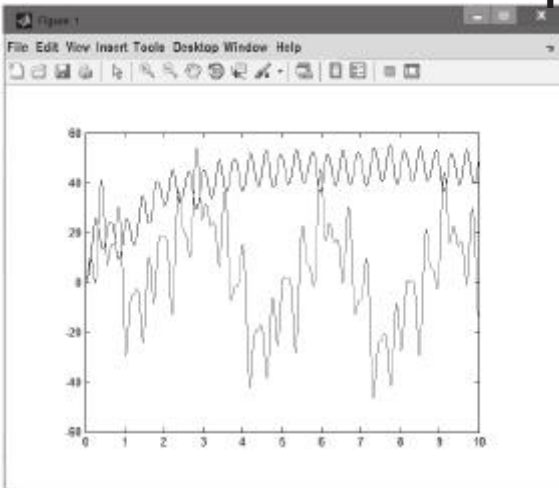
$$\begin{aligned}
 & + \frac{-2m_2 l_1 l_{c2} \sin(q_2) \dot{q}_2}{m_2 l_1 l_{c2} \sin(q_2) \dot{q}_1} \frac{-m_2 l_1 l_{c2} \sin(q_2) \dot{q}_2}{0} \mathbf{\dot{q}} + \\
 & \mathbf{g} \frac{l_{c1} m_1 \sin(q_1) + m_2 l_1 \sin(q_1) + m_2 l_{c2} \sin(q_1 + q_2)}{m_2 l_{c2} \sin(q_1 + q_2)} + \\
 & \frac{b_1 \dot{q}_1 + f_{c1} \text{signo}(q_1) + [1 - |\text{signo}(q_1)|] \text{sat}(\tau_1; f_1)}{b_2 \dot{q}_2 + f_{c2} \text{signo}(q_2) + [1 - |\text{signo}(q_2)|] \text{sat}(\tau_2; f_2)} \\
 & \mathbf{f_f(q \dot{q} f_e)}
 \end{aligned}$$

La terminología y significado de los parámetros del robot de 2 gdl se encuentran en la tabla 6.4.

Tabla 6.4 Parámetros del robot planar de 2 gdl

Eslabón	Significado	Notación	Valor
Hombro	Masa del eslabón 1	m_1	23.902 kg
	Longitud del eslabón 1	l_1	0.45 m
	Inercia del eslabón 1	I_1	1.266 Nm seg ² /rad
	Centro de masa del eslabón 1	l_{c1}	0.091 m
	Coeficiente de fricción viscosa	b_1	2.288 Nm seg/rad
	Coeficiente de fricción de Coulomb	f_{c1}	7.17 Nm
	Coeficiente de fricción estática	f_{e1}	8.8 Nm
Codo	Masa del eslabón 2	m_2	3.88 kg
	Longitud del eslabón 2	l_2	0.45 m
	Inercia del eslabón 2	I_2	0.093 Nm seg ² /rad
	Centro de masa del eslabón 2	l_{c2}	0.048
	Coeficiente de fricción viscosa	b_2	0.175 Nm seg/rad
	Coeficiente de fricción de Coulomb	f_{c2}	1.734 Nm
	Coeficiente de fricción estática	f_{e2}	1.87 Nm
	Aceleración debida a la gravedad	g	9.81 m/seg ²

$$\begin{aligned}
 \tau_1 &= \frac{2,351 + 0,1676 \cos(q_2)}{M(q)} \quad \frac{0,102 + 0,0838 \cos(q_2)}{0,102} \ddot{q}_1 + \\
 \tau_2 &= \frac{0,102 + 0,0838 \cos(q_2)}{M(q)} \quad \frac{0,102}{0,102} \ddot{q}_2 + \\
 &\quad \frac{-0,1676 \sin(q_2) \dot{q}_2^2}{0,084 \sin(q_2) \dot{q}_1} \quad \frac{-0,0838 \sin(q_2) \dot{q}_2^2}{0,0} \dot{q}_1 + \\
 &\quad \frac{3,9211 \sin(q_1) + 0,1862 \sin(q_1 + q_2)}{g} \quad \frac{0,1862 \sin(q_1 + q_2)}{g} \dot{q}_2 + \\
 &\quad \frac{2,288 \dot{q}_1 + 7,17 \operatorname{signo}(q_1) + 8,8 [1 - |\operatorname{signo}(q_2)|]}{f_f(q, \dot{q}_e)} \\
 &\quad \frac{0,175 \dot{q}_2 + 1,734 \operatorname{signo}(q_2) + 1,87 [1 - |\operatorname{signo}(q_1)|]}{f_f(q, \dot{q}_e)}
 \end{aligned}$$



La figura 6.10 muestra la respuesta de las posiciones articulares (q_1, q_2) del robot manipulador de 2 gdl en configuración antropomórfica cuando se le aplica señales de prueba del par aplicado (6.14). La sintonía de las amplitudes de estas señales para τ_1 y τ_2 se deben seleccionar de manera conveniente de tal forma que no se sature los servoamplificadores, y no producir velocidades articulares a 720 grados/seg.

Figura 6.10 Respuesta del robot de 2 gdl.



Código Fuente 6.11 robot2gdl.m

%MATLAB Aplicado a Robótica y Mecatrónica.

%Editorial Alfaomega, Fernando Reyes Cortés.

%Capítulo 7 Identificación paramétrica.

robot2gdl.m

```

1 function xp = robot2gdl(t,x)
2     q1=x(1); q2=x(2); q = [q1; q2]; %vector de posición articular
3     qp1=x(3); qp2=x(4); qp = [qp1; qp2]; %vector de velocidad articular
4     m1=23.902; l1=0.45; lc1=0.091; l1=1.266;
5     b1=2.288; fc1=7.17; fe1=8.8;
6     m2=3.880; l2=0.45;
7     lc2=0.048; l2=0.093;
8     b2=0.175; fc2=1.734; fe2=1.87; g=9.81;
9     m11=m1*lc1*lc1+m2*l1*l1+m2*lc2*lc2+2*m2*l1*lc2*cos(q2)+l1+l2;
10    m12=m2*lc2*lc2+m2*l1*lc2*cos(q2)+l2;
11    m21=m12;
12    m22=m2*lc2*lc2+l2;
13    M=[m11, m12; m21, m22];
14    c11=-2*m2*l1*lc2*sin(q2)*qp2;
15    c12=-m2*l1*lc2*sin(q2)*qp2;
16    c21=m2*l1*lc2*sin(q2)*qp1;
17    c22=0;
18    C=[ c11, c12; c21, c22];
19    gq11=(lc1*m1+m2*l1)*sin(q1)+m2*lc2*sin(q1+q2);
20    gq21=m2*lc2*sin(q1+q2);
21    gq=g*[gq11; gq21];
22    fr=[b1*qp1+fc1*sign(qp1)+fe1*(1-abs(sign(qp1))));
23        b2*qp2+fc2*sign(qp2)+fe2*(1-abs(sign(qp2))));
24    tau=[(1-exp(-0.8*t))*29.0+ 68*sin(16*t+0.1) + 9*sin(20*t+0.15);
25        (1-exp(-1.8*t))*1.2+ 8*sin(26*t+0.08)+2*sin(12*t+0.34) ];
26    qpp = M^(-1)*(tau-C*qp-gq-fr);
27    xp = [qp1; qp2; qpp(1); qpp(2)];
28 end

```

Las señales de prueba para el par aplicado se encuentran expresadas por:

$$\tau_1 = [1 - e^{-0.8t}] 29.0 + 68 \sin(16t + 0.1) + 9 \sin(20t + 0.15) \quad (6.14)$$

$$\tau_2 = [1 - e^{-1.8t}] 1.2 + 8 \sin(26t + 0.08) + 2 \sin(12t + 0.34) \quad (6.15)$$



Código Fuente 6.12 cap6_robot2gdlsimu.m

%MATLAB Aplicado a Robótica y Mecatrónica.

%Editorial Alfaomega, Fernando Reyes Cortés.

%Capítulo 7 Identificación paramétrica.

cap6_robot2gdlsimu.m

```

1 clc; clear all; close all;
2 format short
3 ti=0; h=0.0025; tf = 10; ts=ti:h:tf; %vector tiempo
4 %configuración de la función ode45()
5 opciones=odeset('RelTol',1e-3,'InitialStep',2.5e-3,'MaxStep',2.5e-3);
6 %condiciones iniciales [q(0), q̇(0)] = [0, 0, 0, 0] T. %integración numérica de la
   dinámica del robot de 2 gdl
7 [t,x]=ode45('robot2gdl',ts,[0; 0; 0; 0],opciones);
8 %retorna x = [q1(t), q2(t), q̇1(t), q̇2] (t)
9 %vector de posición articular
10 % q = [q1, q2] T
11 q1=x(:,1);
12 q2=x(:,2);
13 %vector de velocidad articular
14 % q̇ = [q̇1, q̇2] T
15 qp1=x(:,3);
16 qp2=x(:,4);
17 %grafica posiciones articulares en función del tiempo
18 %conversión de radianes a grados
19 plot(t,180*q1/pi,t,180*q2/pi)

```

6.8 Robot de 3 gdl

El modelo dinámico de un robot de 3 gdl en configuración antropomórfica es una ecuación diferencial muy complicada, el proceso de simulación a través de la función `ode45(...)` puede consumir tiempo de cómputo de manera significativa si se introducen funciones discontinuas como el fenómeno de fricción de Coulomb. En este sentido, se recomienda al lector eliminar la fricción de Coulomb y la fricción estática, conservando la fricción viscosa para una rápida simulación. Evidentemente, la simulación estaría incompleta por falta de estos fenómenos. Sin embargo, en un robot de transmisión directa las magnitudes de fricción son bajas.

La figura 6.11 muestra un robot industrial de la compañía FANUC en configuración antropomórfica; los 3 gdl se refieren a las articulaciones de la base, hombro y codo, sin tomar en cuenta la orientación del robot.



Figura 6.11 Robot manipulador FANUC.

La gran mayoría de los robots que se encuentran operativos en el sector industrial tienen la configuración antropomórfica por ser la que mejor destreza presenta en sus movimientos y por lo tanto la que mayor número de aplicaciones tiene. Este tipo de robots no sólo se emplea en la industria, sino también es importante en

la automatización de quirófanos robotizados, asistencia personalizada a un sector vulnerable de la población con capacidades diferenciadas, etcétera.

La utilidad del modelo dinámico resulta importante cuando se dispone de los valores numéricos de todos los parámetros del robot; bajo este enfoque la tabla 6.5 muestra la terminología, significado y valores de un robot prototipo de 3 gdl con motores de transmisión directa.

Tabla 6.5 Parámetros del robot antropomórfico de 3 gdl

Eslabón	Significado	Notación	Valor
Base	Masa del eslabón 1	m_1	26.9 kg
	Longitud del eslabón 1	l_1	0.45 m
	Inercia del eslabón 1	I_{z1}	1.266 Nm-seg ² /rad
	Inercia del eslabón 1	I_{y1}	0.089 Nm-seg ² /rad
	Inercia del eslabón 1	I_{x1}	0.03 Nm-seg ² /rad
	Centro de masa del eslabón 1	l_{c1}	0.091 m
	Coficiente de fricción viscosa	b_1	2.288 Nm-seg/rad
	Coficiente de fricción de Coulomb	f_{c1}	7.17 Nm
	Coficiente de fricción estática	f_{e1}	8.8 Nm
Hombro	Masa del eslabón 2	m_2	30 kg
	Longitud del eslabón 2	l_2	0.45 m
	Inercia del eslabón 1	I_{z2}	0.084 Nm-seg ² /rad
	Inercia del eslabón 1	I_{y2}	0.003 Nm-seg ² /rad
	Inercia del eslabón 1	I_{x2}	0.05 Nm-seg ² /rad
	Centro de masa del eslabón 2	l_{c2}	0.038 m
	Coficiente de fricción viscosa	b_2	0.2 Nm-seg/rad
	Coficiente de fricción de Coulomb	f_{c2}	1.9 Nm
	Coficiente de fricción estática	f_{e2}	2.1 Nm
Codo	Masa del eslabón 3	m_3	3.88
	Longitud del eslabón 2	l_3	0.45 m
	Inercia del eslabón 1	I_{z3}	0.056 Nm-seg ² /rad
	Inercia del eslabón 1	I_{y3}	0.0012 Nm-seg ² /rad
	Inercia del eslabón 1	I_{x3}	0.009 Nm-seg ² /rad
	Centro de masa del eslabón 3	l_{c3}	0.048
	Coficiente de fricción viscosa	b_3	0.175 Nm-seg/rad
	Coficiente de fricción de Coulomb	f_{c3}	1.734
	Coficiente de fricción estática	f_{e3}	1.87
	Aceleración debida a la gravedad	g	9.81 m/seg ²

El modelo dinámico del robot manipulador en configuración antropomórfica se detalla en la ecuación (6.16); de acuerdo con los datos de la tabla 6.5 se obtiene un modelo dinámico para propósitos de simulación.

♣♣♣ Ejemplo 6.8

Emplear el modelo dinámico de un robot antropomórfico (6.16) de 3 gdl y los valores numéricos de los parámetros contenidos en la tabla 6.5 para realizar un programa en **MATLAB** que controle las articulaciones de la base, hombro y codo en las posiciones deseadas $[q_{d1}, q_{d2}, q_{d3}]^T = [45, 45, 90]^T$ grados, respectivamente. Presentar la evolución en el tiempo de las posiciones articulares.

Solución

Una de las aplicaciones que tiene el modelo dinámico de robots manipuladores es en control de posición; a través de la simulación es posible estudiar en detalle la respuesta que presenta el robot con una determinada estructura de control, sintonizar de manera adecuada las ganancias proporcional y derivativa, para obtener un transitorio pequeño sin sobre tiro y oscilaciones y reducir significativamente el error de posición en régimen estacionario.

El modelo dinámico del robot antropomórfico de 3 gdl junto con el algoritmo de control proporcional derivativo (PD) está implementado con la estructura de una ecuación diferencial ordinaria de primer orden $\dot{\mathbf{x}} = \mathbf{f}(\mathbf{x})$ en la función `robot3gdl(t,x)` descrita en el cuadro 6.13; el programa principal para realizar la simulación se presenta en el cuadro 6.14.

La sintaxis de la función del modelo dinámico del robot antropomórfico de 3 gdl está dada como:



$$\dot{\mathbf{x}} = \text{robot3gdl}(t, \mathbf{x})$$

donde t es la evolución del tiempo, \mathbf{x} es la variable de estado, contiene las posiciones y velocidades articulares, $\dot{\mathbf{x}}$ es la derivada temporal de la variable de estado \mathbf{x} , contiene las velocidades y aceleraciones articulares del robot, es decir:

$$\begin{aligned} \mathbf{x} &= [q_1(t) \quad q_2(t) \quad q_3(t) \quad \dot{q}_1(t) \quad \dot{q}_2(t) \quad \dot{q}_3(t)]^T \\ \dot{\mathbf{x}} &= [q_1(t) \quad q_2(t) \quad q_3(t) \quad \ddot{q}_1(t) \quad \ddot{q}_2(t) \quad \ddot{q}_3(t)]^T \end{aligned}$$



Código Fuente 6.13 robot3gdl

%MATLAB Aplicado a Robótica y Mecatrónica.

%Editorial Alfaomega, Fernando Reyes Cortés

%Capítulo 4 Dinámica. Función robot3gdl.m (robot3gdl simu.m)

robot3gdl

```

1 function xp = robot3gdl(t,x)
2     q1=x(1); q2=x(2); q3=x(3); q = [q1; q2; q3]; %vector de posición articular
3     qp1=x(4); qp2=x(5); qp3=x(6); qp = [qp1; qp2; qp3]; %vector de velocidad articular
4     lz1=1.26; lz2=0.084; lz3=0.056; ly1=0.089; ly2=0.003; ly3=0.0012; lx1=0.03; lx2=0.05;
5     lx3=0.009; m1=26.902; l1=0.45; b1=2.288; fc1=7.17; fe1=8.8; m2=30; l2=0.45; lc2=0.038;
6     b2=0.2; fc2=1.9; fe2=2.1; m3=3.880; l3=0.45; lc3=0.048; b3=0.175; fc3=1.734; fe3=1.87;
7     m11=ly2*sin(q2)*sin(q2)+ly3*sin(q2+q3)*sin(q2+q3)+lz1+lz2*cos(q2)*cos(q2)
8     +lz3*cos(q2+q3)*cos(q2+q3)+m2*lc2*lc2*cos(q2)*cos(q2)+
9     m3*(l2*cos(q2)+lc3*cos(q2+q3))*(l2*cos(q2)+lc3*cos(q2+q3));
10    m12=0; m13=0; m21=0; m22=lx2+lx3+m3*l2*l2+m2*lc2*lc2+m3*lc3*lc3+
11    2*m3*l2*lc3*cos(q3); m23=lx3+m3*lc3*lc3+m3*l2*lc3*cos(q3);
12    m31=0; m32=lx3+m3*lc3*lc3+m3*l2*lc3*cos(q3); m33=lx3+m3*lc3*lc3;
13    M=[m11, m12, m13; m21, m22, m23; m31, m32, m33];
14    gamma112=(ly2-lx2-m2*lc2*lc2)*cos(q2)*sin(q2)+(ly3-lz3)*cos(q2+q3)*sin(q2+q3)
15    -m3*(l2*cos(q2)+lc3*cos(q2+q3))*(l2*sin(q2)+lc3*sin(q2+q3));
16    gamma113=(ly3-lz3)*cos(q2+q3)*sin(q2+q3)-m3*lc3*sin(q2+q3)*
17    (l2*cos(q2)+lc3*cos(q2+q3));
18    gamma121=(ly2-lz2-m2*lc2*lc2)*cos(q2)*sin(q2)+(ly3-lz3)*cos(q2+q3)*sin(q2+q3)-
19    m3*(l2*cos(q2)+lc3*cos(q2+q3))*(l2*sin(q2)+lc3*sin(q2+q3));
20    gamma131=(ly3-lz3)*cos(q2+q3)*sin(q2+q3)-m3*lc3*sin(q2+q3)*
21    (l2*cos(q2)+lc3*cos(q2+q3)); gamma211=(lx2-ly2+m2*lc2*lc2)*cos(q2)*sin(q2)+
22    (lz3-ly3)*cos(q2+q3)*sin(q2+q3)+m3*(l2*cos(q2)+lc3*cos(q2+q3))*
23    (l2*sin(q2)+lc3*sin(q2+q3)); gamma223=-l2*m3*lc3*sin(q3);
24    gamma232=-l2*m3*lc3*sin(q3); gamma233=-l2*m3*lc3*sin(q3);
25    gamma311=(lz3-ly3)*cos(q2+q3)*sin(q2+q3)+m3*lc3*sin(q2+q3)*(l2*cos(q2)+
26    lc3*cos(q2+q3)); gamma322=l2*m3*lc3*sin(q3);
27    c11=gamma112*qp2+gamma113*qp3; c12=gamma121*qp1; c13=gamma131*qp1;
28    c21=gamma211*qp1; c22=gamma223*qp3; c23=gamma232*qp2+gamma233*qp3;
29    c31=gamma311*qp1; c32=gamma322*qp2; c33=0; C=[c11, c12, c13; c21, c22, c23;
30    c31, c32, c33]; gq11=0; gq21=(lc2*m1+m2*l2)*sin(q1)+m2*lc3*sin(q1+q2);
31    gq31=m2*lc3*sin(q1+q2); g=9.81; gq=g*[gq11; gq21; gq31]; fr=[b1*qp1; b2*qp2; b3*qp3];
32    qd=[45*pi/180; 45*pi/180; 90*pi/180]; qt=[qd(1)-q1;qd(2)-q2;qd(3)-q3];
33    Kp=[5, 0,0,0, 5,0; 0,0,5]; Kv=[3, 0,0,0, 3,0;0,0,3]; tau=Kp*qt-Kv*qp+gq;
34    qpp = inv(M)*(tau-C*qp-gq-fr); %aceleración articular
35    xp = [qp1; qp2; qp3; qpp(1); qpp(2); qpp(3)]; %vector de salida
36 end

```



Código Fuente 6.14 robot3gdl simu

```
%MATLAB Aplicado a Robótica y Mecatrónica.
%Editorial Alfaomega, Fernando Reyes Cortés
%Capítulo 4 Dinámica. Programa robot3gdl simu.m
%requiere la función robot3gdl.m

robot3gdl_simu

1 clear; close all; clc;
2 format short g
3 %parámetros de simulación:
4 ti=0; h=0.0025; tf = 10;%tiempo de simulación 0 a 10 segundos
5 ts=ti:h:tf;%vector tiempo
6 %configuración de la función ode45
7 opciones=odeset('RelTol',1e-3,'InitialStep', 2.5e-3, 'MaxStep', 2.5e-3);
8 %solución numérica del sistema, con condición iniciales cero
9 [t,x]=ode45('robot3gdl',ts,[0; 0; 0; 0; 0; 0], opciones);
10 %gráficas de las 3 articulaciones; q1=x(:,1), q2 =x(:,2), q3 =x(:,3)
11 plot(t,180*x(:,1)/pi,t,180*x(:,2)/pi, t,180*x(:,3)/pi)
```

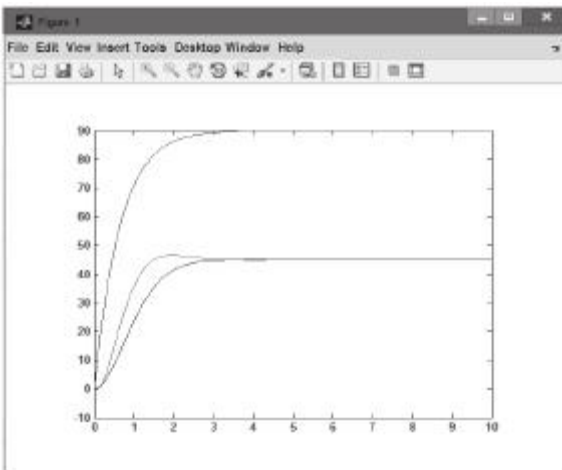


Figura 6.12 Respuesta del robot 3 gdl.

La figura 6.12 presenta la respuesta del robot a una entrada τ de la ley de control PD. Las posiciones de las articulaciones de la base, hombro y codo convergen a $[45, 45, 90]$ grados, respectivamente. La sintonía de las ganancias se hizo para que el transitorio no tuviera sobreimpulsos y error en estado estacionario menor a 0.001 grados en las 3 articulaciones.

6.9 Robot cartesiano

El robot cartesiano de 3 gdl tiene los siguientes fenómenos: inercial, fricción (viscosa, Coulomb y estática) y par gravitacional, debido a que la articulación d_1 tiene desplazamiento en el eje z_0 , su energía potencial es variable. Para las variables d_2 y d_3 tienen movimiento en el plano $x_0 - y_0$, entonces la energía potencial de esas variables es constante. Por lo tanto el par gravitacional para aquellas componentes es cero. Por otro lado, el robot cartesiano no tiene variables rotacionales q_i , mientras que las fuerzas centrípetas y de Coriolis son cero.

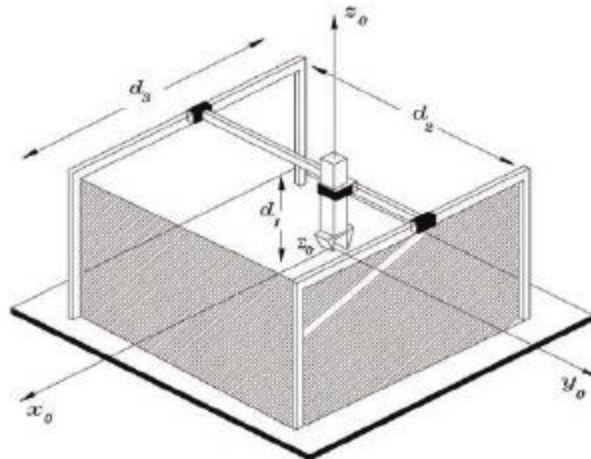


Figura 6.13 Robot cartesiano.

El modelo dinámico de un robot cartesiano de 3 gdl está dado por:

$$\begin{aligned}
 \tau = & \begin{matrix} m_1 + m_2 + m_3 & 0 & 0 & \ddot{d}_1 & m_1 + m_2 + m_3 & b_1 & 0 & 0 & \dot{d}_1 \\ 0 & m_1 + m_2 & 0 & \ddot{d}_2 & 0 & 0 & b_2 & 0 & \dot{d}_2 \\ 0 & 0 & m_1 & \ddot{d}_3 & 0 & 0 & 0 & b_3 & \dot{d}_3 \end{matrix} \\
 & + \begin{matrix} f_{c1} & 0 & 0 & \text{signo}(\dot{d}_1) & f_{e1} [1 - |\text{signo}(\dot{d}_1)|] \\ 0 & f_{c2} & 0 & \text{signo}(\dot{d}_2) & f_{e2} [1 - |\text{signo}(\dot{d}_2)|] \\ 0 & 0 & f_{c3} & \text{signo}(\dot{d}_3) & f_{e3} [1 - |\text{signo}(\dot{d}_3)|] \end{matrix}
 \end{aligned} \tag{6.16}$$

donde m_1, m_2, m_3 son las masas de los servomotores e incluyen las barras y piezas metálicas de acoplamiento mecánico, g es la constante debido a la aceleración gravitacional ($g=9.81 \text{ m/seg}^2$), $b_1, b_2, b_3, f_{c1}, f_{c2}, f_{c3}$ y f_{e1}, f_{e2}, f_{e3} representan los coeficientes de fricción viscosa, Coulomb y estática, respectivamente.

Los fenómenos de fricción pueden ser de magnitud considerable si los servomotores emplean reductores de velocidad por medio de sistemas de engranes, los cuales introducen juego mecánico que repercute directamente en errores de posición. Además, debido al efecto disipativo de la fricción (conversión de energía mecánica en energía térmica), se degradan las piezas o componentes del robot, lo que produce un pobre desempeño. Cuando la tecnología de los servomotores del robot son de transmisión directa (direct drive), entonces el fenómeno de fricción se reduce considerablemente, de ahí que la mayoría de la bibliografía especializada de robótica presenta el modelo dinámico del robot cartesiano sin el fenómeno de fricción; debido a este hecho el modelo dinámico resultante del robot cartesiano es lineal con respecto a las variables de estado d_1 , d_2 , d_3 . También debe recordarse, como se demostró en la sección 5.6 que el modelo cinemático cartesiano es lineal. Por ambas características, al robot cartesiano también se le denomina **robot lineal**.

A continuación se presenta el modelo dinámico en forma numérica de un prototipo robot cartesiano; los valores numéricos de los parámetros se encuentran descritos en la tabla 6.6.

Tabla 6.6 Parámetros del robot cartesiano

Articulación	Masa	Fricción viscosa	Fricción de Coulomb	Fricción estática
$\tau_1^{\max} = 50 \text{ N}$, d_1	$m_1 = 0.7 \text{ kg}$	$b_1 = 0.02 \text{ kg/seg}$	$f_{c1} = 0.01 \text{ N}$	$f_{e1} = 0.015 \text{ N}$
$\tau_2^{\max} = 4 \text{ N}$, d_2	$m_2 = 0.28 \text{ kg}$	$b_2 = 0.08 \text{ kg/seg}$	$f_{c2} = 0.07 \text{ N}$	$f_{e2} = 0.076 \text{ N}$
$\tau_3^{\max} = 4 \text{ N}$, d_3	$m_3 = 0.28 \text{ kg}$	$b_3 = 0.02 \text{ kg/seg}$	$f_{c3} = 0.02 \text{ N}$	$f_{e3} = 0.022 \text{ N}$

donde τ_i^{\max} (con $i = 1, 2, 3$) representa las capacidades máximas de los servomotores de las articulaciones (d_1, d_2, d_3), respectivamente.

La mesa del robot cartesiano tiene una longitud de 1m por cada lado. La posición de casa $[d_1, d_2, d_3]^T = [0, 0, 0]^T$ está ubicada de manera conveniente sobre el piso, en el centro geométrico de la mesa. De esta forma, la variable articular d_1 que se desplaza sobre el eje z_0 tiene coordenadas positivas y acotada en el intervalo $0 \leq d_1 \leq 1$, para las variables d_2, d_3 que se mueven en el plano $x_0 - y_0$ pueden tener coordenadas positivas y negativas; ambas variables se encuentran restringidas al intervalo: $-0.5 \leq d_i \leq 0.5$, para $i = 2, 3$. También es posible ubicar otro lugar

para la posición de casa, lo cual depende finalmente de la facilidad que permita programar la aplicación que va a realizar el robot.

$$\begin{aligned}
 \boldsymbol{\tau} = & \begin{bmatrix} 1.26 & 0 & 0 & 0.02 & 0.01 \\ 0 & 0.98 & 0 & d_2 & 0 \\ 0 & 0 & 0.7 & \ddot{d}_3 & 0 \end{bmatrix} + \begin{bmatrix} 0 & 0.08 & 0 \\ 0 & 0 & 0.02 \\ 0 & 0 & 0 \end{bmatrix} \begin{bmatrix} \dot{d}_1 \\ \dot{d}_2 \\ \dot{d}_3 \end{bmatrix} + \begin{bmatrix} 12.36 \\ 0 \\ 0 \end{bmatrix} \\
 & + \begin{bmatrix} 0.01 & 0 & 0 \\ 0 & 0.07 & 0 \\ 0 & 0 & 0.02 \end{bmatrix} \begin{bmatrix} \text{signo}(d_1) \\ \text{signo}(d_2) \\ \text{signo}(\ddot{d}_3) \end{bmatrix} + \begin{bmatrix} 0.015 [1 - |\text{signo}(d_1)|] \\ 0.076 [1 - |\text{signo}(d_2)|] \\ 0.022 [1 - |\text{signo}(\ddot{d}_3)|] \end{bmatrix} \quad (6.17)
 \end{aligned}$$

En el caso del robot cartesiano debe notarse que en el modelo dinámico (6.17) la entrada $\boldsymbol{\tau}$ representa una fuerza cartesiana y no un par aplicado o torque.

Cuando recién se construye o se adquiere un prototipo nuevo es recomendable aplicarle una señal de energía apropiada para moverlo en su espacio de trabajo por un periodo de una semana (día y noche). Lo anterior tiene la finalidad de "asentar" los servomotores y bajar los niveles de fricción a sus estados normales.

Es conveniente aplicar una señal de entrada al robot como la que se presenta a continuación:

$$\begin{bmatrix} \tau_1 \\ \tau_2 \\ \tau_3 \end{bmatrix} = \begin{bmatrix} 12.36 + 0.05 \text{sen}(t) \\ 0.13 [1 - e^{-0.5t}] \text{sen}(t) \\ 0.06 \text{sen}(t) \end{bmatrix} \quad (6.18)$$

donde t es la variable del tiempo; las amplitudes y parámetros son seleccionados de manera conveniente para no saturar a los servoamplificadores del robot.

El modelo dinámico (6.17) es una ecuación diferencial de segundo orden; para poder simular dicho modelo es necesario convertirlo al formato $\dot{\mathbf{x}} = \mathbf{f}(\mathbf{x})$, es decir a una ecuación diferencial ordinaria de primer orden y de esta forma estar en condiciones de utilizar la función de **MATLAB** ode45(...). Con esta finalidad, observe que $\mathbf{x} = [d_1, d_2, d_3, \dot{d}_1, \dot{d}_2, \dot{d}_3]$, entonces la ecuación (6.17) adquiere la forma (6.19):



Código Fuente 6.15 robot_cartesiano3gdl

%MATLAB Aplicado a Robótica y Mecatrónica.

%Editorial Alfaomega, Fernando Reyes Cortés

%Capítulo 4 Dinámica. Programa robot_cartesiano3gdl.m

robot_cartesiano3gdl

```

1 function xp = robot_cartesiano3gdl(t,x)
2     d = [x(1); x(2); x(3)]; % Vector de posición articular
3     dp = [x(4); x(5); x(6)]; % vector de velocidad articular
4     %parámetros del robot cartesiano
5     m1=0.7; m2=0.28; m3=0.28;% masas de los servomotores y partes mecánicas
6     b1=0.02; b2=0.08; b3=.02;% coeficientes de fricción viscosa
7     fc1=0.01; fc2=0.07; fc3=.02;% coeficientes de la fricción de Coulomb
8     fe1=0.015; fe2=0.076; fe3=0.022;% coeficientes de la fricción estática
9     g=9.81;% constante de aceleración gravitacional
10    B=[b1, 0, 0;
11        0, b2,0;
12        0, 0, b3];
13    Fc=[fc1, 0, 0;
14        0, fc2,0;
15        0, 0, fc3];
16    % matriz de masas
17    M = [m1+m2+m3, 0, 0;
18        0 m1+m2, 0;
19        0 0 m3];
20    par_grav = g*[m1+m2+m3; 0;0];%vector de par de gravitacional
21    %fricción estática
22    fe=[ fe1*(1-abs(sign(dp(1))))); fe2*(1-abs(sign(dp(2)))));
23        fe3*(1-abs(sign(dp(3)))));
24    fr= B*dp+Fc*sign(dp)+fe;
25    tau=[ g*(m1+m2+m3)+ 0.05*sin(t); (1-exp(-0.5*t))*0.13*sin(t);0.06*sin(t)];
26    dpp = inv(M)*(tau- par_grav-fr);
27    xp = [dp(1); dp(2); dp(3); dpp(1); dpp(2); dpp(3)];
28 end

```



Código Fuente 6.16 `simu_robotcartesiano3gdl`

%MATLAB Aplicado a Robótica y Mecatrónica.

%Editorial Alfaomega, Fernando Reyes Cortés

%Capítulo 4 Dinámica. Programa `simu_robotcartesiano3gdl.m`

% este programa requiere del archivo: `robot_cartesiano3gdl.m`

`simu_robotcartesiano3gdl`

```

1 clc;
2 clear all;
3 close all;
4 format short
5 %parámetros de simulación:
6 ti=0;%tiempo inicial
7 h=0.0025;%incremento del tiempo
8 tf = 600;% tiempo de simulación (segundos)
9 ts=ti:h:tf;%vector de tiempo de simulación
10 %para un correcto desempeño de integración de la función ode45(. . .) se requieren:
11 opciones=odeset('RelTol',1e-3,'InitialStep',2.5e-3,'MaxStep',2.5e-3);
12 % solución numérica del sistema  $\dot{\mathbf{x}} = \mathbf{f}(\mathbf{x})$ :
13 %las condiciones iniciales del robot cartesiano han sido puestas en cero
14 %[d1(0), d2(0), d3(0), d1'(0), d2'(0), d3'(0)]T = [0, 0, 0, 0, 0, 0]T
15 %advertencia: debido al uso de funciones discontinuas en el modelo dinámico del
16 %robot cartesiano como la función signo(. . .), el proceso de simulación puede
  tardar
17 [t,x]=ode45('robot_cartesiano3gdl',ts,[0; 0; 0; 0; 0; 0],opciones);
18 % t representa el tiempo, x representa la solución de la ecuación (6.19)
19 % Las componentes del vector x representan
20 % componentes de posiciones
21 %x(:, 1) = d1  x(:, 2) = d2  x(:, 3) = d3
22 % componentes de velocidades
23 %x(:, 4) = d1'  x(:, 5) = d2'  x(:, 6) = d3'
24 %presenta gráfica de posiciones en función del tiempo
25 plot(t,x(:,1),t,x(:,2),t,x(:,3))

```

6.10 Resumen



Dinámica es la parte de la física que explica el movimiento de un sistema mecánico tomando en cuenta las fuerzas que lo producen. El modelo dinámico está formado por ecuaciones diferenciales no lineales que reproducen íntegramente todos los fenómenos físicos del robot.

En este capítulo se ha presentado la técnica para simular diversos sistemas dinámicos, lo que facilita el estudio, análisis y aplicaciones del sistema o prototipo. Para un adecuado entendimiento de la dinámica del sistema la mejor herramienta es la simulación. El paso previo a una etapa experimental es la simulación, ya que conocer a detalle todos los aspectos dinámicos del robot o del sistema mecatrónico facilita su control, así como llevar a cabo en forma práctica aplicaciones potenciales del prototipo. El método de integración numérica es un factor fundamental para una adecuada solución numérica del modelo dinámico, por lo tanto es recomendable utilizar el método de Runge Kutta 4/5, el cual lo tiene implementado **MATLAB** a través de la función `ode45(...)`.

Se han presentado diversos ejemplos para ilustrar la técnica de simulación de sistemas dinámicos: sistemas lineales y no lineales simples, sistema masa resorte amortiguador, centrífuga y péndulo, hasta sistemas dinámicos de robots manipuladores más complejos como el robot antropomórfico de 2 y 3 gdl, y robot cartesiano de 3 gdl. Dichos modelos se encuentran estructurados de acuerdo con la forma: función $\dot{\mathbf{x}} = \text{modelo_dinamico}(t, \mathbf{x})$ para fácil implementación y uso en diversas aplicaciones de robótica y mecatrónica.

Es importante resaltar que la estructura matemática del modelo dinámico debe ser de la forma tradicional de variables fase como una ecuación diferencial ordinaria de primer orden:

$$\dot{\mathbf{x}} = \mathbf{f}(\mathbf{x})$$

si el modelo original del sistema es una ecuación diferencial de orden superior, entonces mediante un adecuado cambio de variables de estados siempre es posible transformarlo a la estructura requerida.

A continuación se resume la sintaxis de los modelos dinámicos desarrollados para **MATLAB**:

if

```
xp = centrifuga( t,x)
```

if

```
xp = pendulo(t,x)
```

if

```
xp = mra(t,x)
```

if

```
xp = robot2gdl(t,x)
```

if

```
xp=robot3gdl(t, x)
```

if

```
xp = robot_cartesiano3gdl(t,x)
```

Para un adecuado funcionamiento de las librerías es recomendable utilizar en todos los casos un código parecido al siguiente:



```
ti=0; h=0.0025; tf =5; ts=ti:h:tf;
```



```
opciones=odeset('RelTol',1e-3,'InitialStep',1e-3,'MaxStep',1e-3);
```



Condiciones iniciales (dependiendo del robot):

```
ci=[0;0] (centrífuga); ci=[0;0] (péndulo); ci=[0;0;0;0] robot de 2 gdl;
```

```
ci=[0;0;0;0;0;0] robot de 3 gdl (antropomórfico y cartesiano).
```



```
[t,x]=ode45('nombre_funcion',ts,ci,opciones);
```

7

Capítulo

Identificación paramétrica

$$\hat{\theta}(k) = \hat{\theta}(k-1) + \frac{P(k-1)\Psi(k)[y(k) - \Psi(k)^T \hat{\theta}(k-1)]}{1 + \Psi(k-1)^T P(k-1)\Psi(k)}$$

$$P(k) = P(k-1) - \frac{P(k-1)\Psi(k)^T \Psi(k) P(k-1)}{1 + \Psi(k-1)^T P(k-1)\Psi(k)}$$

7.1 Introducción

7.2 Método de mínimos cuadrados

7.3 Librería de mínimos cuadrados

7.4 Ejemplos

7.5 Modelos de regresión del péndulo

7.6 Modelos de regresión del robot de 2 gdl

7.7 Robot cartesiano de 3 gdl

7.8 Resumen

Objetivos

Presentar la técnica de estimación de mínimos cuadrados y su aplicación en identificación paramétrica de sistemas mecatrónicos y robots manipuladores.

Objetivos particulares:



Esquemas de regresión escalar y multivariable.



Regresión lineal del modelo dinámico.



Regresión del modelo de energía.



Esquema de regresión del modelo de potencia.

7.1 Introducción



El modelo dinámico de sistemas mecatrónicos y robots manipuladores contiene en su estructura matemática parámetros tales como centros de gravedad, masas, momentos de inercia y coeficientes de fricción. Estos parámetros generalmente son desconocidos; este es el caso de la mayoría de los robots comerciales donde el fabricante no proporciona sus valores nominales. Si bien existen herramientas de la teoría de control como esquemas adaptables y controladores robustos que permiten tolerar errores en los parámetros dinámicos, el conocimiento de éstos es crucial para la mayoría de los esquemas basados en el modelo dinámico del robot manipulador.

Identificación paramétrica es una herramienta atractiva para determinar los parámetros dinámicos de robots manipuladores, sobre todo cuando existe dificultad para medirlos directamente. Sin embargo, la naturaleza no lineal del modelo dinámico de robots manipuladores hace que la tarea de identificación paramétrica no sea trivial.

El modelo dinámico de robots manipuladores posee propiedades que permiten generar varios esquemas de regresión lineal como los siguientes: modelo dinámico se le denomina así debido a que emplea la estructura del modelo dinámico para expresarlo como un regresor lineal vectorial. Sin embargo, este modelo requiere medir la aceleración articular lo que representa una desventaja práctica. La estimación de la velocidad puede realizarse mediante técnicas de filtrado, lo que da origen al modelo de regresión dinámico filtrado. Por otro lado, existen esquemas de regresión escalares como los modelos de energía, potencia y potencia filtrada; estos modelos permiten identificar los mismos parámetros de los esquemas vectoriales dinámico y dinámico filtrado.

Para poder utilizar el método de mínimos cuadrados se requiere que el modelo matemático del sistema a identificar pueda ser expresado como un regresor lineal en los parámetros desconocidos. La técnica de mínimos cuadrados recursivo permite obtener el valor numérico de los parámetros del sistema sin la necesidad de desarmar al sistema mecatrónico o robot manipulador. Se requieren de contar con las mediciones u observaciones de las posiciones y velocidades articulares, así como

la señal del par aplicado para que el sistema pueda moverse en su espacio de trabajo.



7.2 Método de mínimos cuadrados

De particular relevancia para los esquemas de identificación paramétrica y de control adaptable es expresar el modelo dinámico no lineal del robot manipulador como el producto de una matriz de regresión compuesta de funciones no lineales (dependientes de la posición, velocidad y aceleración articular) y un vector de parámetros constantes dependiente de masas, momentos de inercias, distancias a centros de masa y coeficientes de fricción.

Los esquemas de identificación que se describirán en esta sección son sistemas de identificación que pertenecen a la filosofía de identificación híbrida, es decir el modelo de regresión es formulado en tiempo continuo mientras que la identificación se realiza a través de un estimador recursivo llamado mínimos cuadrados, el cual se utiliza ampliamente en la literatura debido a su sencillez y a su propiedad de recursividad, atributo que lo hace atractivo para su implementación.

Esta técnica es particularmente simple si el modelo tiene la propiedad de linealidad en los parámetros del modelo. El método de mínimos cuadrados es un esquema estándar que aproxima la solución de sistemas sobre determinados, por ejemplo cuando hay más variables incógnitas que ecuaciones. Mínimos cuadrados minimiza la suma de cuadrados de los errores; un error es la diferencia entre un valor observado y el valor proporcionado por el modelo matemático (robot).

El algoritmo recursivo de mínimos cuadrados se describe a continuación. Considérese el siguiente modelo de regresión:



Linealidad en los parámetros

Considere el modelo matemático que está expresado como un regresor lineal de la siguiente forma:

$$\mathbf{y}(k) = \Psi(k)^T \boldsymbol{\theta} \quad (7.1)$$

donde $\mathbf{y}(k) \in \mathbb{R}^r$ es un vector de mediciones (entradas o salidas) del sistema, $\Psi(k) \in \mathbb{R}^{m \times r}$ es la matriz de regresión compuesta por observaciones de funciones conocidas y el vector de parámetros desconocidos está representado por $\boldsymbol{\theta} \in \mathbb{R}^m$. El modelo (7.1) está indexado por la variable k , la cual denota el tiempo discreto; se asume que el conjunto de índices $\tau(k)$, $\Psi(k)$ forman un conjunto discreto.

El algoritmo de mínimos cuadrados para el caso vectorial tiene la siguiente forma:

$$\hat{\boldsymbol{\theta}}(k) = \hat{\boldsymbol{\theta}}(k-1) + P(k-1) \Psi(k) [I + \Psi(k-1)^T P(k-1) \Psi(k)]^{-1} \mathbf{e}(k) \quad (7.2)$$

$$P(k) = P(k-1) - P(k-1) \Psi(k) [I + \Psi(k)^T P(k-1) \Psi(k)]^{-1} \Psi(k)^T P(k-1) \quad (7.3)$$

$$\mathbf{e}(k) = \mathbf{y}(k) - \Psi(k)^T \hat{\boldsymbol{\theta}}(k-1) \quad (7.4)$$

donde $P(k) \in \mathbb{R}^{m \times m}$ es la matriz de covarianza, la cual es una matriz definida positiva, $\mathbf{e}(k) \in \mathbb{R}^r$ es el error de predicción, $\hat{\boldsymbol{\theta}}(k)$ es el vector de parámetros estimados; $\boldsymbol{\theta}$ es el vector de parámetros reales.

El algoritmo de mínimos cuadrados para el caso escalar tiene la siguiente forma:

$$\hat{\theta}(k) = \hat{\theta}(k-1) + \frac{P(k-1) \Psi(k) \mathbf{e}(k)}{P(k-1) \Psi(k) \Psi(k)^T P(k-1) + \Psi(k-1)^T P(k-1) \Psi(k)} \quad (7.6)$$

$$\mathbf{e}(k) = \mathbf{y}(k) - \Psi(k)^T \hat{\theta}(k-1) \quad (7.7)$$

Propiedades: El algoritmo de mínimos cuadrados puede identificar los parámetros de cualquier modelo matemático lineal, no lineal, dinámico, estático, continuo o discreto (no depende del periodo de muestreo, inclusive puede ser aperiódico). La estructura matemática del modelo debe cumplir con la condición de linealidad en los parámetros, es decir que pueda ser expresado como un regresor lineal manteniendo la

estructura de una matriz de observaciones o mediciones y un vector de parámetros.



7.3 Librería de mínimos cuadrados

La sintaxis de la función de mínimos cuadrados varía dependiendo de que el modelo sea expresado en forma escalar o multivariable (vectorial) de la siguiente forma:



Caso escalar

Para el caso de modelos matemáticos con estructura escalar

$$\mathbf{y}(k) = \Psi(k)^T \hat{\boldsymbol{\theta}}(k-1)$$

la sintaxis de la función de mínimos cuadrados tiene la siguiente forma:



```
function [r,  $\hat{\boldsymbol{\theta}}$ ] = mincuad(y,fi)
```

donde $\mathbf{y}(k) \in \mathbb{R}$ es un escalar definido como arreglo con n renglones con el registro de las correspondientes n mediciones del sistema; indexado por el pivote k para $k = 1, 2, \dots, n$; $\mathbf{f}_i \in \mathbb{R}^{n \times m}$ es la matriz de regresión compuesta por n renglones de observaciones de funciones conocidas y m columnas (m indica el número de parámetros). Esta función retorna el vector de parámetros estimados $\hat{\boldsymbol{\theta}} \in \mathbb{R}^m$ y \mathbf{r} es una matriz de dimensión $n \times m$ que contiene el registro temporal de las componentes $\hat{\theta}_i$ del vector de parámetros estimados $\hat{\boldsymbol{\theta}}$ que tuvieron durante el proceso de identificación.

En el cuadro 7.1 se presenta el código fuente del algoritmo de mínimos cuadrados en su versión escalar. En la línea 2 se obtiene el número de observaciones o mediciones (n = número de renglones) que contiene cada columna de la matriz de regresión \mathbf{f}_i (m = número de columnas). La línea 3 genera el vector de parámetros estimados $\hat{\boldsymbol{\theta}}$, con condición inicial cero $\hat{\boldsymbol{\theta}}(0)$ (línea 4). En realidad, la condición inicial puede ser puesta en cualquier valor. La línea 5 contiene la formación del vector columna $\boldsymbol{\Psi}$ con

las observaciones o mediciones. La matriz de covarianza $p \in \mathbb{R}^{m \times m}$ se genera en la línea 6; observe que la condición inicial $p(0)$ es una matriz diagonal con valores $p_{ii} = 10^{20}$, $i = 1, 2, \dots, m$.

De las líneas 8 -14 se realiza el algoritmo recursivo de identificación paramétrica de mínimos cuadrados de acuerdo a las ecuaciones (7.5)-(7.7). El error de predicción $e(k)$ se calcula en la línea 12, el vector de parámetros $\hat{\theta}$ en la línea 13, mientras que la matriz de covarianza p en la línea 14. La forma como varían las componentes $\hat{\theta}_i$ del vector de parámetros estimados $\hat{\theta}$ se registra en la línea 16. Esta información es muy útil para analizar a través de una gráfica la convergencia paramétrica de cada componente $\hat{\theta}_i$ en función del tiempo t .



Código Fuente 7.1 mincuad.m

%MATLAB Aplicado a Robótica y Mecatrónica.

%Editorial Alfaomega, Fernando Reyes Cortés.

%Capítulo 7 Identificación paramétrica.

mincuad.m

```

1 function [r, theta] =mincuad(y,fi)
2     [n,m]=size(fi); %n=número de renglones, m=número de columnas
3     theta=[1:m]'; %vector columna de parámetros
4     theta(1)=0;%Condición inicial del vector de parámetros
5     psi=[1:m]'; %vector columna de observaciones
6     P=eye(m,m)*10e20; %matriz de covarianza P
7     r=eye(n,m);%registro para los parámetros estimados
8     for k=1:n % algoritmo recursivo de mínimos cuadrados
9         for i=1:m %se forma el regresor
10            |   psi(i,1)=fi(k,i);
11            |   end
12            |   e=y(k)-theta'*psi;%error de regresión
13            |   theta= theta+(P*psi*e)/(1+psi'*P*psi); %vector estimado
14            |   P=P-(P*psi*(psi'*P))/(1+psi'*P*psi); %matriz de covariancia
15            |   for i=1:m
16            |   |   r(k,i)=theta(i,1);%registro por cada iteración de parámetros estimados
17            |   |   end
18            |   end
19 end

```



Caso multivariable

Cuando el sistema está expresado como multivariable, es decir tiene n entradas o salidas y_1, y_2, \dots, y_n bajo la siguiente estructura matemática:

$$\begin{bmatrix} y_1(k) \\ y_2(k) \\ \vdots \\ y_n(k) \end{bmatrix} = \Psi(k)^T \hat{\theta}(k-1)$$

entonces la librería del algoritmo de mínimos cuadrados recursivo correspondiente se denomina `mincuadm` teniendo la sintaxis que a continuación se describe:

```
function  $\hat{\theta}$  =mincuadm(y,fi,Nob,p,n)
```

donde y es un vector de dimensión $n \times \text{Nob}$ con las mediciones u observaciones de las entradas (salidas) del sistema a identificar; n indica el número de variables y_1, y_2, \dots, y_n ; Nob representa el número total de observaciones. Cada variable y_i tiene un conjunto de Nob observaciones o renglones, para $i = 1, \dots, n$; f_i es el regresor de observaciones compuesto por p columnas ($p =$ número de parámetros). Cada columna del regresor f_i tiene un número Nob de observaciones; cada observación evidentemente está registrada en su respectivo renglón.

En la línea 2 se genera el vector de parámetros estimados $\hat{\theta}$. La condición inicial de este vector es cero. Sin embargo, puede ser inicializado con cualquier valor (línea 3). La matriz de covarianza $P \in \mathbb{R}^{p \times p}$ se define en la línea 21. Note que el valor inicial de esta matriz $P(0)$ corresponde a una matriz diagonal con valores 10^{20} (ver línea 5). La matriz identidad con las dimensiones adecuadas se define en la línea 6. El vector de observaciones $y \in \mathbb{R}^n$ para entradas (salidas) del sistema se define en la línea 7.

El algoritmo de mínimos cuadrados recursivo multivariable de las ecuaciones (7.2)-(7.4) se implementa de las líneas 8 a la 21. Observe que en la línea 14 se forma el vector $y \in \mathbb{R}^n$, de manera recursiva a cada renglón se le asigna la correspondiente medición u observación.

En la línea 17 se calcula el vector de error de predicción $\mathbf{e}(k)$, en la línea 18 el vector de parámetros estimados $\hat{\boldsymbol{\theta}}$ y en la línea 19 la matriz de covarianza \mathbf{P} .

La función `mincuadm` retorna el vector de parámetros estimados $\hat{\boldsymbol{\theta}} \in \mathbb{R}^p$. En el cuadro 7.2 se presenta el código fuente de la función `mincuadm.m` (caso multivariable).



Código Fuente 7.2 `mincuadm.m`

%MATLAB Aplicado a Robótica y Mecatrónica.
 %Editorial Alfaomega, Fernando Reyes Cortés.
 %Capítulo 7 Identificación paramétrica.

`mincuadm.m`

```

1 function theta =mincuadm(y,fi,Nob,p,n)
2     theta=[1:p]'; %vector columna de parámetros
3     theta(1)=0; %condición inicial del vector de parámetros
4     psi=zeros(p,n); %vector columna de observaciones
5     P=eye(p,p)*10e20; %matriz de covarianza P
6     I=eye(n,n); %matriz identidad
7     ys=zeros(n,1);
8     for k=1:Nob
9         for j=1:n
10            for i=1:p %se forma el regresor
11                psi(i,j)=fi(k+Nob*(j-1),i);
12            end
13            for i=1:n
14                ys(i,1)=y(k+Nob*(i-1));
15            end
16        end
17        e=ys-psi'*theta; %error de regresión
18        theta= theta+P*psi*(I+psi'*P*psi)^(-1)*e; %vector estimado
19        P=P-(P*psi*(I+psi'*P*psi)^(-1)*(psi')*P); %Matriz de covarianza
20    end
21 end

```



7.4 Ejemplos

En esta sección se presentan ejemplos sencillos que ilustran la forma de utilizar las librerías de mínimos cuadrados recursivo para el caso escalar mincuad y multivariable mincuadm.

♣ Ejemplo 7.1

Identificar el parámetro a_1 del siguiente modelo:

$$y = a_1 t^3$$

donde el valor teórico de $a_1=8.034$.

Solución

El sistema $y = a_1 t^3$ corresponde al caso escalar. Para propósitos de simulación la variable t estaría definida en el intervalo de 0 a 10 segundos, con incrementos de un milisegundo.

En este caso el regresor está formado por

$$y(k) = \Psi(k)^T \theta$$

donde $y = y(k)$, $\Psi(k) = t^3$, $\theta = a_1$.

Por lo tanto, el error de predicción $e(k)$ está dado por:

$$e(k) = t^3 \hat{\theta} - y(k)$$

En el cuadro 7.3 se muestra el código del programa `cap7 ejemplo1.m`; en la línea 7 se forma la ecuación del sistema a identificar, el vector de mediciones o regresor está definido en la línea 8. El algoritmo de mínimos cuadrados se emplea en la línea 10; el resultado se presenta en la línea 11.

El resultado del programa 7.3 es:

theta=

8.034



Código Fuente 7.3 cap7_ejemplo1.m

%MATLAB Aplicado a Robótica y Mecatrónica.
 %Editorial Alfaomega, Fernando Reyes Cortés.
 %Capítulo 7 Identificación paramétrica.

cap7_ejemplo1.m

```

1 clc;
2 clear all;
3 close all;
4 format short g
5 t=[0:0.001:10]';%vector columna de tiempo
6 a1=8.034;%parámetro del sistema
7 y=a1*t.*t.*t; %sistema a identificar
8 fi=[t.*t.*t ] ;
9 [m, p]=size(fi);
10 [ˆ theta] =mincuad(y,fi);
11 theta %resultado de la identificación

```

♣ Ejemplo 7.2

Identificar los parámetros del siguiente sistema:

$$y = a_1 t + a_2 \operatorname{sen}(t) + a_3 \operatorname{cos}(t) + a_4 \operatorname{tanh}(t)$$

donde los valores de los parámetros son: $[a_1, a_2, a_3, a_4]^T = [4.456, 7.456, -0.089, 12.37]^T$

Solución

El error de predicción se encuentra dado por

$$e(k) = y(k) - \underbrace{[t \quad \sin(t) \quad \cos(t) \quad \tanh(t)]}_{\Psi(k)} \hat{\theta}(k-1)$$

donde $\theta = [\hat{a}_1 \quad \hat{a}_2 \quad \hat{a}_3 \quad \hat{a}_4]^T$.

Para propósitos de simulación, la variable tiempo t estaría definida en un intervalo de 0 a 10 segundos, con incrementos de un milisegundo. El cuadro 7.4 contiene el programa `cap7_ejemplo2.m`; en la línea 5 se define el sistema a identificar. El vector de observaciones o regresor se encuentra construido en la línea 6 y en la línea 7 se emplea la función de mínimos cuadrados para obtener el vector de parámetros θ en la línea 8.

El resultado del programa `cap7_ejemplo2.m` es el siguiente:

theta=

[4.456 7.456 -0.089 12.37]^T

**Código Fuente 7.4 cap7_ejemplo2.m**

%MATLAB Aplicado a Robótica y Mecatrónica.

%Editorial Alfaomega, Fernando Reyes Cortés.

%Capítulo 7 Identificación paramétrica.

cap7_ejemplo2.m

```

1 clc; clear all; close all; format short g
2 t=[0:0.001:10]';%vector columna de tiempo
3 %parámetros del sistema
4 a1=4.456; a2=7.456; a3=-0.089; a4=12.37;%sistema a identificar
5 y=a1*t+a2*sin(t)+a3*cos(t)+a4*tanh(t);
6 fi=[t, sin(t), cos(t), tanh(t)];
7 [~, theta] =mincuad(y,fi);
8 theta %resultado de la identificación

```

♣ Ejemplo 7.3

Identificar los parámetros del siguiente sistema:

$$y(t) = a_1 \cosh(t) + a_2 \sinh(t) + a_3 \cos(t)$$

donde los valores de los parámetros son:

$$\begin{bmatrix} a_1 \\ a_2 \\ a_3 \end{bmatrix} = \begin{bmatrix} 0.001 \\ 456 \\ -345 \end{bmatrix}$$

Solución

El error de regresión está formado de la siguiente forma:

$$e(k) = y(k) - \underbrace{[\cosh(k) \quad \sinh(k) \quad \cos(k)]}_{\psi(k)} \underbrace{\begin{bmatrix} \hat{a}_1 \\ \hat{a}_2 \\ \hat{a}_3 \end{bmatrix}}_{\hat{\theta}(k-1)} \quad (7.8)$$

El cuadro 7.5 contiene el programa cap7 ejemplo3.m con el código fuente en **MATLAB** para llevar a cabo el proceso de identificación paramétrica del sistema.

Se emplea un vector tiempo definido de 0 a 10 segundos con intervalos de un milisegundo. El sistema a identificar se encuentra definido en la línea 8; el regresor **fi** se forma en la línea 9. La función de mínimos cuadrados recursivo mincuad se emplea en la línea 10 para obtener el vector de parámetros estimados $\hat{\theta}$, cuyo resultado se presenta en la línea 11:

theta=

```
0.001
456
-345
```